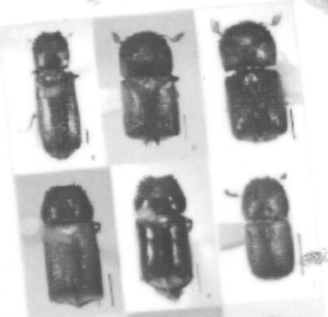




รายงานวิจัยฉบับสมบูรณ์

การสำรวจ และศึกษาผลของพันธุ์ยางพาราต่อชีวิทยาการสืบพันธุ์
ของมดทำลายไม้ยางพาราในภาคใต้

Survey and study on effect of rubber clones on breeding-biology of
an important rubber wood borer in southern Thailand



ผู้วิจัย
นายวิสุทธิ์ สิทธิชาaya

Wisut Sittichaya

รศ.ดร. อรัญ งามผ่องใส

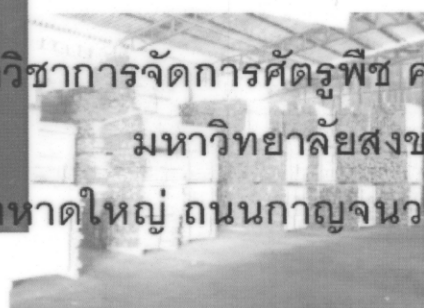
Assoc. Prof. Aran Ngampongsai



ภาควิชาการจัดการศัต辱พีช คณะทรัพยากรธรรมชาติ

มหาวิทยาลัยสงขลานครินทร์

วิทยาเขตหาดใหญ่ ถนนกาญจนวนิชย์ อ. หาดใหญ่ จ. สงขลา



กิตติกรรมประกาศ

โครงการวิจัยสามารถสำเร็จลุล่วงไปด้วยดี ทั้งนี้ด้วยการสนับสนุนจากกองทุนวิจัย มหาวิทยาลัยสงขลานครินทร์ ที่สนับสนุนทุนดำเนินการในโครงการวิจัย คณะผู้วิจัยขอขอบคุณโรงเลือยแปร-รูปไม้ยางพาราทุกโรงที่ให้ความอนุเคราะห์ให้เข้าสำรวจและเก็บตัวอย่างแมลงเป็นอย่างดี คณะผู้วิจัยขอขอบคุณ Dr. Roger A. Beaver เป็นอย่างสูงที่ช่วยยืนยันการจำแนกชนิดของมอดในวงศ์ Bostrichidae, Platypodidae และ Scolytidae ขอขอบคุณ Dr. Liu Lan- Yu, Department of Entomology, Chung Hsing University, Taiwan และ Dr. Hab. Jerzy Borowski, Department of Forest Protection and Ecology, Faculty of Forestry, Warsaw Agricultural University, Poland ที่ช่วยยืนยันการจำแนกชนิดของมอด วงศ์ Bostrichidae บางชนิดโดยไม่คิดค่าใช้จ่ายแต่อย่างใด และ รศ.ดร. สุรักรา เพิ่มคำ ภาควิชาการจัดการศัตรูพืช คณะทรัพยากรธรรมชาติ มหาวิทยาลัยสงขลานครินทร์ ที่ให้คำแนะนำที่เป็นประโยชน์อย่างยิ่งต่อ งานวิจัย คณะผู้วิจัยขอขอบคุณสถานีอุตุนิยมวิทยาเกษตรศาสตร์ ศ. ดร. คงแหงศ์ อ. หาดใหญ่ จ. สงขลา และ สถานีอุตุนิยมวิทยาจังหวัด สุราษฎร์ธานี นครศรีธรรมราช พัทลุง พังงา กระนี่ ตรัง และสตูล เป็นอย่างยิ่งที่ เอื้อเพื่อข้อมูลอุดมทรัพย์และปริมาณน้ำฝนที่ใช้ในรายงานวิจัย

บทคัดย่อ

สำรวจชนิดและปริมาณของมดที่เข้าทำลายไม้ยางพาราแบบรูปใบพื้นที่ภาคใต้ฝั่งตะวันออก และฝั่งตะวันตก ฝั่งละ 4 จังหวัด โดยสุ่มเก็บตัวอย่างไม้ยางพาราแบบรูปใบพื้นที่ในโรงเลือยฝั่งละ 10 โรง จำนวน 3 ครั้ง ระหว่างเดือนกรกฎาคม พ.ศ. 2550 ถึงเดือนมีนาคม พ.ศ. 2551 เพื่อนำมาจำแนกชนิดและนับปริมาณของมดที่ออกมากจากไม้ยางพาราแบบรูปใบพื้นที่ เนื่องจากไม้ยางพาราแบบรูปหัวนมจำนวน 22 ชนิด โดยจำนวน 9 ชนิดจัดอยู่ในวงศ์ Bostrichidae และจำนวน 13 ชนิดจัดอยู่ใน 2 วงศ์ย่อย Scolytinae และ Platypodinae ซึ่งอยู่ในวงศ์ Curculionidae ในจำนวนดังกล่าวเป็นมดที่รายงานในประเทศไทยเป็นครั้งแรกจำนวน 4 ชนิด ได้แก่ *Cephalotoma tonkinea* Lesne *Lyctoxylon dentatum* (Pascoe) *Minthea reticulata* Lesne (Bostrichidae) และ *Euwallacea interjectus* (Blandford) (Curculionidae) ชนิดที่สำคัญและพบในปริมาณมากที่สุดอยู่ในกลุ่มมดชี้ชี้อยู่ในวงศ์ Bostrichidae มี 4 ชนิด ได้แก่ *Sinoxylon analis* Lesne *S. unidentatum* (Fabricious) *Heterobostrychus aequalis* (Waterhouse) และ *Lyctoxylon dentatum* (Pascoe) ซึ่งพบจำนวนต่ำ เดิมวัยคิดเป็น 39.56% 18.09% 9.86% และ 8.79% ของมดหัวนม ตามลำดับ ในพื้นที่ภาคใต้ฝั่งตะวันออกมีค่าชี้วัดความหลากหลายของมดโดยวิธีของ Shannon มากกว่าฝั่งตะวันตกอย่างมีนัยสำคัญทางสถิติ ($p < 0.01$) แต่ความหนาแน่นของมดในการเข้าทำลายไม้ยางพาราไม่มีความแตกต่างทางสถิติระหว่างภาคใต้ทั้งสองฝั่ง ($p > 0.05$) ปัจจัยสำคัญที่ส่งผลต่อชนิดและปริมาณของมดที่เข้าทำลายไม้ยางพาราแบบรูปใบพื้นที่คือการได้แก่ ปริมาณน้ำฝน ปริมาณและความต่อเนื่องของไม้ที่มอดสามารถเข้าทำลายได้ภายในโรงเลือยและระดับความชื้นในไม้ยางพารา

นอกจากนี้ได้ศึกษาอิทธิพลของสายพันธุ์ไม้ยางพารา 3 สายพันธุ์ ได้แก่ RRIM600 PB234 และยางพาราปลูกดังเดิมไม่ระบุสายพันธุ์ (Para) ต่อการเจริญเติบโตและการสืบพันธุ์ของมด *S. analis* ซึ่งเป็นแมลงศัตรูหลักของไม้ยางพาราแบบรูปใบพื้นที่ภาคใต้ และทดสอบความชอบในการเข้าทำลายแบบไม่มีทางเลือก และแบบหอยทางเลือกของมดชนิดนี้กับไม้ยางพาราหัว 3 สายพันธุ์ดังกล่าวในห้องปฏิบัติการและในสภาพโรงเรือน ผลการทดลองพบว่า มดได้รับระยะเวลาในการเจริญเติบโตตั้งแต่ปล่อยแมลงรุ่นพ่อแม่ให้ผสมพันธุ์จนกว่าจะมดครุ่นลูกตัวแรกบินออกจากรังเฉลี่ยเท่ากับ 86.31 ± 12.56 , 88.13 ± 11.38 และ 77 ± 0.00 วัน เมื่อเลี้ยงมดในไม้ยางพาราสายพันธุ์ PB235, RRIM600 และ PARA ตามลำดับ มดตัวเดิมวัยเพศเมียและเพศผู้มีอายุขัยเฉลี่ย 50.70 ± 22.68 วัน และ 45.80 ± 23.61 วัน ตามลำดับ อัตราส่วนระหว่างเพศผู้และเพศเมียประมาณ 1:1 เพศเมียที่เลี้ยงด้วยไม้ยางพาราสายพันธุ์ PB235 ผลิตลูกสูงสุดเฉลี่ยเท่ากับ 39.07 ± 17.30 ตัวซึ่งสูงกว่า 25.73 ± 8.41 ตัว และ

22.47 ± 7.23 ตัว อย่างมีนัยสำคัญทางสถิติ ($P<0.05$ และ $P<0.01$) ที่เลี้ยงด้วยไม้ยางพาราสายพันธุ์ RRIM600 และ PARA ตามลำดับ

ผลการทดสอบความชอบในการเข้าทำลายพบว่า modulus S. analis ชอบเข้าทำลายไม้ยางพาราสายพันธุ์ PB235 มากที่สุด เมื่อทดสอบแบบไม่มีตัวเลือก modulus มีอัตราการกินไม้สายพันธุ์ PB235 สูงกว่าสายพันธุ์ RRIM600 อย่างมีนัยสำคัญทางสถิติ ($P<0.05$) และสูงกว่าทั้ง 2 สายพันธุ์คือ RRIM600 และ PARA อย่างมีนัยสำคัญทางสถิติ ($P<0.05$) เมื่อทดสอบแบบหลายทางเลือก ซึ่งให้ผลสอดคล้องกับการทดสอบความชอบในการเข้าทำลายในสภาพแวดล้อมธรรมชาติในโรงเรือนที่มีศักยภาพนี้ชอบเข้าทำลายไม้ยางพาราสายพันธุ์ PB235 มากกว่าสายพันธุ์ RRIM 600 อย่างมีนัยสำคัญทางสถิติ ($p<0.01$)

Abstract

A survey of species diversity and abundance of beetles destroying rubberwood sawn timbers was done in four provinces of each area including east coast and west coast of southern Thailand. The rubberwood sawn timbers were sampled three times from ten representative rubberwood-sawmills of each region during July 2007 to March 2008. The beetles emerged from the sampled sawn timbers were further identified and quantified. The results showed that twenty two species of wood borers were found in the rubberwood sawn timbers. Nine species were classified in the family Bostrichidae and thirteen species were grouped in two subfamilies, Scolytinae and Platypodinae belonging to family Curculionidae. Four species, *Cephalotoma tonkinea* Lesne, *Lyctoxylon dentatum* (Pascoe), *Minthea reticulata* Lesne (Bostrichidae; Lyctidae) and *Euwallacea interjectus* (Blandford) (Curculionidae, Scolytinae), were new recorded species of Thailand. Four key species which were abundantly present and the member of powder post beetles, family Bostrichidae included *Sinoxylon anale* Lesne, *S. unidentatum* (Fabricious) *Heterobostrychus aequalis* (Waterhouse), and *Lyctoxylon dentatum* (Pascoe). Their adult numbers were 39.56% 18.09% 9.86% and 8.79%, respectively, of a total adults captured. The Shannon diversity index of wood boring beetles on the east coast was significantly ($p<0.01$) higher than that of the western one, but there was no difference in infestation density between both regions. Three main factors influencing diversity and abundance of insect infestation in rubberwood sawn timbers were rainfall, number and consecutive availability of timbers and wood moisture content.

Besides, effects of three rubber wood clones, RRIM600, PB235 and unidentified old growing rubber varieties (Para), on growth and reproduction of *S. anale* which was the key insect pest of the rubber wood timber were investigated. Host preferences of this insect were also done by using no choice test and multiple choice tests under laboratory and field conditions. The results revealed that times required for development from releasing male and female adults for mating until an emergence of the first offspring adult were 86.31 ± 12.56 , 88.13 ± 11.38 and 77 ± 0.00 days, when *S. anale* were fed on PB235, RRIM600 and PARA, respectively. The longevity of female and male adults averaged 50.70 ± 22.68 and 45.80 ± 23.61 days, respectively. The sex ratio was approximately 1:1. The female adult fed on PB235 gave

the largest number of progeny, averaging 39.07 ± 17.30 progeny per one female which were significantly ($P < 0.05$ and $P < 0.01$) higher than 25.73 ± 8.41 and 22.47 ± 7.23 progeny per one female of female fed on RRIM600 and PARA, respectively.

The results of preference tests showed that *S. analis* mostly preferred to feed on PB235. Based on no choice test, the feeding rate on the PB235 was significantly ($P < 0.05$) higher than on the RRIM600. It was also significantly ($P < 0.05$) higher than on the RRIM600 and the PARA, when the multiple choice test was performed. The results were similar to those obtained from the field trials which this insect significantly ($P < 0.01$) preferred to feed on the PB235 rather than on the RRIM600.

สารบัญ

	หน้า
กิตติกรรมประกาศ	iii
บทคัดย่อ	iv
Abstract	vi
1. ความสำคัญและที่มาของหัวข้อการวิจัย	1
2. วัตถุประสงค์ของงานวิจัย	8
3. ประโยชน์ที่คาดว่าจะได้รับ	8
4. วิธีการวิจัย	9
5. ผลการทดลอง	20
 5.1 ความหลากหลายทางชีวินิดของมอดไม้ที่เข้าทำลายไม้ย่างพาราแปรรูป ในภาคใต้	20
5.1.1 ลักษณะภูมิประเทศของพื้นที่ศึกษา	20
5.1.2 ลักษณะภูมิอากาศของพื้นที่ศึกษา	21
5.1.3 ชนิดของมอดที่เข้าทำลายไม้ย่างพาราแปรรูป	23
5.1.4 ความเด่นของมอดชนิดที่เข้าทำลายไม้ย่างพาราแปรรูปในพื้นที่ภาคใต้	25
5.1.5 กลุ่มของมอดที่เข้าทำลายไม้ย่างพาราแปรรูป	32
5.1.6 ชนิดของไม้ย่างพาราที่พบในโรงเลื่อยและการเข้าทำลายของมอด	33
5.1.7 ความหลากหลายของมอดทำลายไม้ย่างพาราแปรรูป	36
5.1.8 ความนาแน่นในการเข้าทำลาย	37
5.1.9 การเปลี่ยนแปลงระดับประชากรของมอดทำลายไม้ย่างพาราแปรรูปตาม ฤดูกาล	39
5.1.10 แมลงทำลายไม้ย่างพาราบนลานชุ่ม	42
5.1.11 แมลงศัตรูธรรมชาติของมอดทำลายไม้ย่างพารา	43
 5.2 ปริมาณแป้ง (starch) ลิกนิน (lignin) และสารแทรก (wood extractive) ในไม้ ย่างพาราสายพันธุ์ RRIM600 PB235 และ ย่างพารา (PARA) ที่ใช้ในการทดลอง	46
 5.3 ศึกษาเชิงวิทยาการสืบพันธุ์ของมอด <i>Sinoxylon anale</i> Lesne (Coleoptera; Bostrichidae)	48
5.3.1 ลักษณะที่ใช้ปั่นซีเพสในมอด <i>Sinoxylon anale</i> Lesne	48

สารบัญ (ต่อ)

	หน้า
5.3.2 พฤติกรรมการการเกี้ยวพาราสี (course ship behavior) ของมด <i>Sinoxylon anale</i> Lesne	49
5.3.3 พฤติกรรมการป้องกันดินแดน (Territorial defense behavior)	50
5.3.4 พฤติกรรมการสร้างรังวางไข่ (nesting behavior)	51
5.3.5 ความพร้อมในการผสมพันธุ์วางแผนวางไข่ของตัวเต็มวัยหลังจากบินออกจากรัง	53
5.3.6 อุณหภูมิและความชื้นสัมพัทธ์ระหว่างการศึกษาชีววิทยาการสืบพันธุ์	54
5.3.7 ความสำเร็จในการสร้างรังวางไข่	55
5.3.8 พัฒนาการของรัง	55
5.3.9 ระยะเวลาการพัฒนาจากการปล่อยแมลงรุ่นพ่อแม่จนถึงตัวเต็มวัยบินออกจากรัง	60
5.3.10 อัตราส่วนระหว่างเพศผู้และเพศเมีย	61
5.3.11 ความยืนยาวของอายุขัย (adult longevity)	61
5.3.12 ชิทิชิพลของสายพันธุ์ไม้ย่างพาราต่ออัตราการสืบพันธุ์ของมด <i>Sinoxylon anale</i> Lesne	62
5.4 ศึกษาอิทธิพลของสายพันธุ์ไม้ย่างพาราต่อความชอบในการเข้าทำลายของมด <i>Sinoxylon anale</i> Lesne	64
5.4.1 ทดสอบอิทธิพลของสายพันธุ์ต่อการเลือกเข้าทำลายของมดไม้ใน Olfactometer (Wind tunnel)	64
5.4.2 การทดสอบอิทธิพลของพื้นผิวของไม้ย่างพาราต่อความชอบในการเข้าทำลาย โดยวิธีทดลองแบบสองตัวเลือก (Dual choices test)	65
5.4.3 การทดสอบอิทธิพลของสายพันธุ์ไม้ย่างพาราต่อความชอบในการเข้าทำลาย	66
5.4.3.1 การทดลองแบบไม่มีตัวเลือก (No choice test)	66
5.4.3.2 การทดลองแบบหลายตัวเลือก (Multiple choices test)	67

สารบัญ (ต่อ)

	หน้า
5.4.4 การทดสอบอิทธิพลของสายพันธุ์ไม้ย่างพาราต่อความชอบในการเข้า ทำลายของมดขี้ขุย(Coleoptera: Bostrichidae) ในสภาพแวดล้อม ธรรมชาติ	69
6. สรุปผลการทดลอง	72
7. เอกสารอ้างอิง	73
8. ภาคผนวก	78
9. แนวทางในการจำแนกชนิดมดขี้ขุยทำลายไม้ย่างพาราที่พบในประเทศไทย	83

สารบัญตาราง

	หน้า
ตารางที่ 1 มูลค่าการส่งออกไม้ย่างพาราและผลิตภัณฑ์จากไม้ย่างพาระหว่างปี พ.ศ. 2546-2551	2
ตารางที่ 2 แมลงทำลายไม้ย่างพาราและผลิตภัณฑ์จากไม้ย่างพาราในประเทศไทย	4
ตารางที่ 3 สายพันธุ์ของไม้ย่างพาราที่ใช้ในการศึกษาชีวิทยาการสืบพันธุ์และความชอบ ในการเข้าทำลาย ของมอดชี้ชุย (<i>Sinoxylon anale</i> Lesne)	11
ตารางที่ 4 แผนกราฟทดลองที่ใช้ในการศึกษาชีวิทยาและอิทธิพลของสายพันธุ์ไม้ ย่างพาราต่ออัตราการสืบต่อพันธุ์ของมอด <i>S. analis</i>	12
ตารางที่ 5 ปริมาณน้ำฝนเฉลี่ยและการกระจายของน้ำฝนในแต่ละฤดูในพื้นที่ภาคใต้	22
ตารางที่ 6 ชนิดของมอดที่เข้าทำลายไม้ย่างพาราแบบรูปจากการสำรวจในพื้นที่ 8 จังหวัด ภาคใต้ ระหว่างเดือนกรกฎาคม พ.ศ. 2550 – มีนาคม พ.ศ. 2551	25
ตารางที่ 7 จำนวนและเปอร์เซ็นต์ของแมลงที่พบเข้าทำลายไม้ย่างพาราแบบรูปในพื้นที่ ภาคใต้ แยกตามพื้นที่ศึกษาและรวมพื้นที่ภาคใต้ สำรวจระหว่างเดือน กรกฎาคม 2550 – มีนาคม 2551	27
ตารางที่ 8 ค่าตัวนิความหลากหลายและตัวนิความเท่าเทียมของมอดทำลายไม้ย่างพารา แบบรูป	36
ตารางที่ 9 ความหนาแน่นของมอดเฉลี่ย (ตัว/ชิน) ที่เข้าทำลายไม้ย่างพาราแบบรูปในพื้นที่ ภาคใต้	37
ตารางที่ 10 อุณหภูมิและความชื้นสัมพัทธ์ระหว่างการศึกษาชีวิทยาการสืบพันธุ์ของมอด <i>S. analis</i> *	54
ตารางที่ 11 พัฒนาการของประชากรรุ่นลูกภายในรังของมอด <i>S. analis</i> ที่เลี้ยงด้วยไม้ ย่างพารา	57
ตารางที่ 12 ระยะเวลาเฉลี่ยในการเจริญเติบโตของมอด <i>S. analis</i> ตั้งแต่ปล่อยแมลงรุ่นพ่อ แม่ให้เข้าทำรังในไม้ที่ใช้เลี้ยงทดสอบถึงรุ่นลูกบินออกจากรัง	61
ตารางที่ 13 จำนวนประชากรรุ่นลูกของมอด <i>S. analis</i> ที่เลี้ยงทดสอบในไม้ย่างพาราสาย พันธุ์ต่างๆ	63
ตารางที่ 14 น้ำหนักแห้งเฉลี่ยและเปอร์เซ็นต์ของชิ้นที่เกิดจากการกัดกินของมอดชนิด <i>S.</i> <i>anale</i> ในไม้ย่างพารา 3 สายพันธุ์ (5 sample 25 sub-samples ในแต่ละสาย พันธุ์)	67

สารบัญตาราง (ต่อ)

	หน้า
ตารางที่ 15 จำนวนมอดชนิด <i>S. analis</i> ที่เลือกเข้าทำลายไม้ย่างพาราสายพันธุ์ต่างๆ เป็นสายพันธุ์แรก ในการทดสอบความชอบในการเข้าทำลายโดยวิธีทดลองแบบนลายตัวเลือก	68
ตารางที่ 16 จำนวนมอดที่เลือกเข้าทำลายไม้ย่างพาราสายพันธุ์ต่างๆ ใน การทดสอบความชอบในการเข้าทำลายโดยวิธีทดลองแบบนลายตัวเลือก	69
ตารางที่ 17 ร่องรอยการทำลายเฉลี่ยในไม้ย่างพาราสายพันธุ์ RRIM600 และ PB235 ที่ใช้ทดสอบความชอบในการเข้าทำลายไม้ย่างพาราของมอดชี้ชูย์ในสภาพแวดล้อมในโรงเรือนแบบปรูปไม้ย่างพารา	70

สารบัญภาพ

	หน้า
ภาพที่ 1 ภาพลักษณะกล่องที่ใช้ดักจับแมลง	10
ภาพที่ 2 อุปกรณ์และการประกอบตู้ทดลองที่ใช้ศึกษาการสร้างรังของแมลง	14
ภาพที่ 3 Olfactometer (Wind tunnel) ที่ใช้ทดสอบความชอบในการเข้าทำลายไม้ ยางพาราของมด	16
ภาพที่ 4 กล่องที่ใช้ในการทดสอบความชอบ แบบไม่มีตัวเลือก (No choice test) และ Multiple choices test	18
ภาพที่ 5 แสดงลักษณะภูมิประเทศของพื้นที่ศึกษา 8 จังหวัดภาคใต้ และตำแหน่งโรงเรือน ที่ใช้ในการสุมตัวอย่าง	20
ภาพที่ 6 การแบ่งภาคทางอุตุนิยมวิทยาในพื้นที่ภาคใต้ของไทย	21
ภาพที่ 7 ปริมาณน้ำฝนเฉลี่ยรายเดือนปี 2550-2551 ในพื้นที่ศึกษา	23
ภาพที่ 8 เปอร์เซ็นต์ของมดในวงศ์ย่อยต่างๆ ที่เข้าทำลายไม้ยางพาราแปรรูปในพื้นที่ 8 จังหวัดภาคใต้	24
ภาพที่ 9 เปรียบเทียบจำนวนมดแต่ละชนิดที่เข้าทำลายไม้ยางพาราแปรรูประหว่างพื้นที่ ภาคใต้ผึ่งตะวันออกและภาคใต้ผึ่งตะวันตก	28
ภาพที่ 10 มดทำลายไม้ยางพาราแปรรูป: มดชี้ชี้วยวงศ์ Bostrichidae	30
ภาพที่ 11 มดทำลายไม้ยางพาราแปรรูป: wood boring bark beetles และมดเอมใบรา เตี้ย วงศ์ Curculionidae	31
ภาพที่ 12 สภาพทั่วไปในโรงเรือนเฉลี่ยและลักษณะการทำลายไม้ยางพาราของมดแต่ละกลุ่ม	35
ภาพที่ 13 จำนวนและอัตราส่วนของมดแต่ละกลุ่มที่พบเข้าทำลายไม้ยางพาราแปรรูปใน พื้นที่ภาคใต้จากการสำรวจทั้ง 3 ครั้ง	40
ภาพที่ 14 กราฟความสัมพันธ์ระหว่างจำนวนมดที่พบในการสำรวจในแต่ละครั้งกับ ปริมาณน้ำฝนเฉลี่ยรายเดือนแยกตามพื้นที่ศึกษา	41
ภาพที่ 15 ลักษณะการเข้าทำลายไม้ท่อนบนลานไม้ของมดในกลุ่ม Ambrosia beetles	43
ภาพที่ 16 แมลงศัตรูธรรมชาติของมดชี้ชี้วย	44
ภาพที่ 17 แมลงศัตรูธรรมชาติของมดชี้ชี้วย	45
ภาพที่ 18 ปริมาณแป้งเฉลี่ย (%) ในไม้ยางพาราสายพันธุ์ RRIM600 PB235 และ PARA	46
ภาพที่ 19 ปริมาณลิกนินเฉลี่ย (%) ในไม้ยางพาราสายพันธุ์ RRIM600 PB235 และ PARA	47

สารบัญภาพ (ต่อ)

	หน้า
ภาพที่ 20 ปริมาณสารแทรกเจลีบ (%) ในไม้ยางพาราสายพันธุ์ RRIM600 PB235 และ PARA	48
ภาพที่ 21 ลักษณะภายนอกที่ใช้ระบุเพศในมอด <i>Sinoxylon anale</i> Lesne	49
ภาพที่ 22 พฤติกรรมการเกี้ยวพาราศีข่องมอด <i>S. anale</i>	50
ภาพที่ 23 ลักษณะรังและการวางไข่ของมอด <i>S. anale</i>	52
ภาพที่ 24 รังไข่ของมอด <i>S. anale</i> ตัวเต็มวัย	54
ภาพที่ 25 ลักษณะของมอด <i>S. anale</i> รุ่นลูกวัยต่างๆ	55
ภาพที่ 26 ลักษณะภายในและพัฒนาการของรังของมอด <i>S. anale</i>	59
ภาพที่ 27 แสดงจำนวนมอด <i>Sinoxylon anale</i> ที่เข้าทำลายไม้ยางพาราแต่ละสายพันธุ์ใน การทดสอบความชอบใน Wind tunnel	64

1. ความสำคัญและที่มาของหัวข้อการวิจัย

1.1 ความสำคัญของยางพาราและอุตสาหกรรมไม้ยางพาราในประเทศไทย

ในปัจจุบันความต้องการไม้เพื่อใช้ประโยชน์ในด้านต่างๆ เพิ่มมากขึ้นเรื่อยๆ ในทางตรงกันข้ามพื้นที่ป่าที่มีการใช้ประโยชน์มีแนวโน้มลดลงอย่างต่อเนื่อง ทั้งข้อจำกัดของพื้นที่ป่าธรรมชาติ และภาระแสตด์ต่อด้านการใช้ไม้จากป่าธรรมชาติ การปลูกสร้างสวนปาเพื่อประโยชน์จากไม้ซึ่งมีความสำคัญมากขึ้น ในพื้นที่ภาคใต้และภาคอื่นๆ มีพื้นที่ปลูกยางพาราประมาณ 15 ล้านไร่ เมื่อยางพาราเหล่านี้หมดอายุการเก็บ เนื้อไม้สามารถนำมาใช้ทดแทนไม้จากป่าธรรมชาติได้เป็นอย่างดี ปัจจุบันการใช้ไม้ยางพาราในอุตสาหกรรมไม้แปรรูปเพื่อการส่งออก และใช้เป็นวัสดุคงทนในอุตสาหกรรมอื่นๆ มีความสำคัญไม่ยิ่งหย่อนไปกว่าการปลูกเพื่อผลิตน้ำยาง อุตสาหกรรมไม้ยางพารามีศักยภาพที่สามารถพัฒนาต่อไปได้มากในอนาคต เมื่อจากไม้ยางพารามีคุณสมบัติหลายประการเหมาะสมที่จะเป็นวัสดุคงทนในอุตสาหกรรมเครื่องเรือนและอุตสาหกรรมอื่นๆ คุณสมบัติเหล่านี้ เช่น เนื้อไม้แข็งแรงปานกลาง ง่ายต่อการแปรรูป ย้อมติดสีได้ดี ตกแต่งง่าย เนื้อไม้มีสีขาวอมเหลือง มีลวดลายและคุณสมบัติอื่นๆ ใกล้เคียงกับไม้สัก และได้รับการยอมรับว่าเป็นไม้สักขาว (white teak) นอกจากนี้ ไม้ยางพารายังมีคุณสมบัติใกล้เคียงกับไม้ที่นิยมใช้ในอุตสาหกรรมเฟอร์นิเจอร์อื่นๆ เช่น beech, oak และ meranti อีกด้วย (Ratnasingam et al., 2002)

ประเทศไทยมีเนื้อที่ปลูกยางพาราประมาณ 14.7 ล้านไร่ แบ่งเป็นพันธุ์ต่างๆ หลากหลายพันธุ์ โดยพันธุ์เหล่านี้สามารถแบ่งออกเป็น 3 กลุ่มด้วยกันได้แก่ 1) พันธุ์ที่ให้น้ำยางสูง 2) พันธุ์ที่ให้น้ำยางสูงและให้เนื้อไม้สูง และ 3) พันธุ์ที่ให้เนื้อไม้สูง โดยพันธุ์ที่ปลูกเป็นพื้นที่มากที่สุดในประเทศไทยได้แก่พันธุ์ RRIM 600 คิดเป็นร้อยละ 68 ของพื้นที่ปลูกทั้งหมด (สำนักวิจัยการจัดการปาไม้และผลิตผลปาไม้, 2548) ในแต่ละปีมีการตัดโคนยางแก่นบนด้วยการกรีด (อายุเฉลี่ย 20-25 ปี) เพื่อการปลูกทดแทนประมาณ 3 แสนไร่ คิดเป็นเนื้อไม้ (ไม้แปรรูป) 8 ล้านลูกน้ำเมตร (กรมอุทยานแห่งชาติ สัตว์ป่า และพันธุ์พืช, 2547) ไม้ดังกล่าวถูกนำไปใช้ในอุตสาหกรรมไม้แปรรูป และอุตสาหกรรมต่อเนื่องได้แก่ เครื่องเรือน ของใช้ในบ้าน ของเล่นไม้ ไม้ลัง แท่นรองสินค้า แผ่นชั้นไม้อัด (particle board) และแผ่นไวนิลความหนาแน่นปานกลางทั้งเพื่อการบริโภคภายในประเทศ และการส่งออก

ในปี พ.ศ. 2546 ประเทศไทยส่งออกไม้ยางพาราแปรรูปและผลิตภัณฑ์มูลค่ารวม 47,393 ล้านบาท มีอัตราการขยายตัวเฉลี่ยร้อยละ 15 ต่อปี แบ่งเป็นมูลค่าของตลาดภายในประเทศรวม 16,778 ล้านบาท (สำนักวิจัยการจัดการปาไม้ และผลิตผลปาไม้, 2548) สมาคมพ่อค้าไม้ยางพาราแห่งประเทศไทย ประมาณการมูลค่าการส่งออกไม้ยางพาราและผลิตภัณฑ์ตั้งแต่ปี พ.ศ. 2546-2551 ตั้งแสดงในตารางที่ 1 ในปี พ.ศ. 2547 มีการส่งออกไม้ยางพาราแปรรูปจำนวน 1.174 ล้านลบ.ม. คิดเป็นมูลค่าการส่งออก 9,360.59 ล้านบาท (สำนักวิจัยการจัดการปาไม้ และผลิตผลปาไม้, 2548) มูลค่าการส่งออกเฟอร์นิเจอร์และชิ้นสวน

จากไม้ยางพาราประมาณ 34,058.78 ล้านบาท คิดเป็นอัตราส่วนร้อยละ 70 ของมูลค่าการส่งออกเพอร์นิเจอร์ไม้ทั้งหมด (Ratnasingam et al., 2002) ตลาดส่งออกหลักได้แก่ ญี่ปุ่น สหรัฐอเมริกา และสหภาพยุโรป

ตารางที่ 1 มูลค่าการส่งออกไม้ยางพาราและผลิตภัณฑ์จากไม้ยางพาราระหว่างปี พ.ศ. 2546-2551

รายการ	2546	2547	2548	2549	2550	2551
มูลค่าส่งออก (ล้านบาท)	47,393	55,431	64,448	73,141	83,137	94,612

แหล่งที่มา: สำนักวิจัยการจัดการป่าไม้ และผลิตผลป่าไม้ (2548)

จะเห็นได้ว่าอุดสาหกรรมไม้ยางพาราปรับรูปและอุดสาหกรรมต่อเนื่องมีมูลค่าการส่งออกสูง และมีการขยายตัวอย่างต่อเนื่อง ประกอบกับประเทศไทยมีความได้เปรียบในเรื่องแหล่งวัสดุดินมากกว่าประเทศคู่แข่ง เช่น จีน ย่องกง และเวียดนาม เนื่องจากมีวัสดุดินเพียงพอภายใต้ประเทศทำให้ไม่ต้องกังวลในเรื่องตังกล้า อย่างไรก็ตาม ประเทศไทยล่ามีความได้เปรียบในเรื่องค่าจ้างแรงงานที่ต่ำ ประเทศไทยจึงจำเป็นอย่างยิ่งที่ต้องพัฒนาขีดความสามารถในการอุดสาหกรรมนี้

1.2 ปัญหาอุปสรรคในการใช้ไม้ยางพารา

ถึงแม้ว่าไม้ยางพาราจะเป็นวัสดุที่มีคุณสมบัตินิลายประการเหมาะสมต่อการใช้ประโยชน์ในอุดสาหกรรมไม้ แต่ไม้ยางพาราก็มีข้อจำกัดในการใช้เป็นวัสดุคงทนประการที่สำคัญได้แก่ ไม้ยางพารามีความทนทานต่อเชื้อรา และมอดทำลายไม้ค่อนข้างต่ำ มีความทนทานตามธรรมชาติต่ำกว่าสองปี (ธีระ, 2549; Wong et al., 2005) หลังการตัดฟันต้องนำไปท่อนเข้าโรงงานภายในระยะเวลาไม่เกิน 7 วัน และต้องอบไม้ทันทีหลังการปรับรูป ที่ระดับความชื้นต่ำกว่า 12% ถ้าไม่ดำเนินการตามมาตรการดังกล่าว ไม้ยางพาราจะถูกทำลายโดยมอดทำลายไม้ยางพารา (wood borers) และรา หั้งรากลุ่มที่ย้อมสีเนื้อไม้ (wood stain fungi) และราผิวไม้ (mold fungi) (Wong et al., 1998)

สาเหตุที่ทำให้ไม้ยางพารามีความทนทานตามธรรมชาติต่ำมาจากการลักษณะเด่น ที่สำคัญได้แก่ ไม้ยางพารามีปริมาณแป้งและน้ำตาลอิสระสูง มีอัตราการดูดความชื้นกลับหลังการอบแห้งสูง มีปริมาณลิกนิน และสารแทรกต่ำ มีความหนาแน่นต่ำ (560-640 กิโลกรัมต่อลูกบาศก์เมตร) ไฟวรอน (2524) และ Akhter (2005) รายงานว่า ไม้ยางพารามีปริมาณแป้งสูงเหมาะสมต่อการเจริญเติบโตและการเข้าทำลายของมอด นอกจากนี้ Okahisa และคณะ (2006) ยังรายงานความสัมพันธ์ระหว่างปริมาณน้ำตาลอิสระในเนื้อไม้ และการเข้าทำลายของมอด ไม้ที่มีแป้งและน้ำตาลอิสระสูงเหมาะสมต่อการเจริญเติบโตของมอดไม้ (Cressfield, 1991) ประกอบกับไม้ยางพาราที่ผ่านการอบเรียนร้อยแล้ว เมื่อปล่อยทิ้งไว้จะมีอัตราการดู

ความชื้นกลับสูง ทำให้เหมาะสมต่อการเจริญเติบโตของรา Takahashi และ Kishima (1973) พนว่าความทันทานตามธรรมชาติของไม้มีความสัมพันธ์โดยตรงกับความหนาแน่นของเนื้อไม้

ปัจจัยทางเคมีของเนื้อไม้ที่มีผลต่อการเข้าทำลายของราและมอดอีกปัจจัยหนึ่งคือ ปริมาณลิกนินและสารแทรกในเนื้อไม้ (Harmatha and Nawrot, 2002; Nerg et al., 2003) ไม่มีลิกนิน และสารแทรกในปริมาณสูงกว่าจะมีความทันทานต่อเชื้อรา และมอดไม่นักกว่า Nerg และคณะ (2003) รายงานว่า อัตราการเจริญเติบโตเฉลี่ยในระบะตัวหนอนของด้วงหนวดยาวยา Old House Borer (*Hylotrupes bajulus*, Cerambycidae) มีความสัมพันธ์โดยตรงกับปริมาณ monoterpenes ในเนื้อไม้ และยังรายงานต่อว่าปริมาณของ levopimaric-C palustric acid ในไม้แพรผ่านตรงกับปริมาณไม้ที่มีระบะตัวอ่อนกัดกิน ในทางตรงกันข้าม ปริมาณ β -pinene และ monoterpenes ที่เพิ่มขึ้นทำให้อัตราการวางไข่ของด้วงเดิมวัยน้อยลง คุณสมบัติอื่นๆ ที่มีผลต่อการเข้าทำลายของมอดไม้ เช่น ขนาดของห้องลำเลียง (vessel) ของไม้แปรรูป Cookson (2004) รายงานความชอบของการเข้าทำลายไม้แปรรูปของมอดไม้ร่วงศรีอย Lyctinae (Bostrichidae) มีความสัมพันธ์กับขนาดของห้องลำเลียง โดยไม่ที่มีห้องลำเลียงขนาดใหญ่มีโอกาสเสี่ยงที่จะถูกทำลายจากมอดมากกว่า Cummins และ Wilson (1934) รายงานขนาดเส้นผ่าศูนย์กลางของห้องลำเลียงที่เล็กที่สุดที่มีห้องซึ่งแยกตัว (true powder post beetle) เข้าทำลาย (วงไซ) มีขนาด 90 ไมครอน

1.3 คุณสมบัติทางเคมีและพิสิกส์ของไม้ย่างพาราที่มีผลต่อการเข้าทำลายของมอด

คุณสมบัติทางเคมีของไม้ย่างพาราสดโดยคิดเป็นร้อยละของน้ำหนักองแห้งประกอบด้วย ส่วนประกอบดังนี้คือ holocellulose ร้อยละ 8.2 และ alpha cellulose ร้อยละ 49.41 เพนโตซาน (pentosan) ร้อยละ 17.17 ลิกนิน (lignin) ร้อยละ 18.06 เถ้า (ash) ร้อยละ 0.86 และสารแทรก (extractives) ร้อยละ 13.28 (รัชนีวรรณ และพันธุ์, 2538) บางรายงาน พนว่าคุณสมบัติทางเคมีของไม้ย่างพาราแตกต่างไปจากนี้ เช่น Hong และคณะ (1982) รายงานว่ามีปริมาณ holocellulose ในไม้ย่างพารา ร้อยละ 70.0 และ Anonymous (2005) รายงานสัดส่วนของสารแทรกที่ร้อยละ 5.59 ของน้ำหนักแห้ง ซึ่งอาจ เป็นไปได้ว่าเกิดจากการใช้ไม้ย่างพาราต่างพันธุ์ในการทดสอบและวิธีการวิเคราะห์องค์ประกอบทางเคมี คุณสมบัติทางเคมีเหล่านี้มีผลอย่างยิ่งต่อการเข้าทำลายไม้ย่างพาราแปรรูปของมอด และแมลงอื่นๆ ปริมาณสารแทรกมีผลต่อความทันทานต่อการทำลายของแมลงและราแตกต่างกันด้วย (Anonymous, 2005)

1.4 แมลงทำลายไม้ย่างพาราแปรรูปในประเทศไทย

ในประเทศไทยมีรายงานแมลงที่เข้าทำลายไม้ย่างพาราแปรรูปจำนวน 13 ชนิด ใน 4 วงศ์ (Hutacharern and Tubtim, 1995) ดังแสดงในตารางที่ 2 โดยแมลงกลุ่มที่สร้างความเสียหายรุนแรงได้แก่แมลงชี้ชุยสมาชิก ของวงศ์ Bostrichidae 2 ชนิดได้แก่ สกุล *Heleroobostrychus* และสกุล *Sinoxylon* (จากรูป และภาพรวม,

2524) ในมาเลเซีย Hussein (1981) รายงานแมลงที่เข้าทำลายไม้ย่างพาราที่ตัดฟันใหม่ๆ และไม้แปรรูปจำนวน 25 ชนิด ใน 3 วงศ์ (ดูตารางภาคผนวกที่ 2 และ 3 หน้า 79 และ 80 ประกอบ) ชนิดที่ทำลายไม้แปรรูปที่ไม่มีรายงานในประเทศไทยแต่มีความเป็นไปได้ที่จะพบแมลงดังกล่าวในภาคใต้ของไทยเนื่องจากประเทศไทยอยู่ในเขตสัตว์ภูมิศาสตร์เดียวกับมาเลเซียได้แก่ *Dinoderus bifoveolatus* Wollaston, *Xylopsocus ensifer*, *Xylopsocus capucinus* Fabr. ในวงศ์ Bostrichidae และ *Hypothenemus setosus* Eichhoff ในวงศ์ Scolytidae

แมลงในแต่ละวงศ์มีลักษณะหรือความชอบในการเข้าทำลายไม้ย่างพาราที่แตกต่างกันโดยมีปัจจัยที่ส่งผลต่อการเข้าทำลายของแมลงแต่ละกลุ่มได้แก่ ความชื้นของไม้ ปริมาณแป้งในเนื้อไม้ ลักษณะโครงสร้างของพื้นผิวของไม้แปรรูปและผลิตภัณฑ์ โดยแมลงชอบเข้าทำลายไม้ที่มีผิวขรุขระมากกว่าไม้ที่มีผิวเรียบ และการมีหรือไม่มีเปลือกของไม้ เป็นต้น มอดชี้ชุยแท้ในวงศ์ย่อย Lyctinae ชอบเข้าทำลายไม้ที่มีความชื้นร้อยละ 8-30 แต่ความชื้นที่พบเข้าทำลายเศษออยู่ที่ร้อยละ 12-15 ในขณะที่มอดในวงศ์ Bostrichidae ชอบเข้าทำลายไม้ที่มีความชื้นสูงประมาณร้อยละ 30 แต่ก็สามารถเข้าทำลายไม้ที่มีความชื้นร้อยละ 12-30 ได้ (ไฟวรณ์, 2524)

ตารางที่ 2 แมลงทำลายไม้ย่างพาราและผลิตภัณฑ์จากไม้ย่างพาราในประเทศไทย

วงศ์	ชนิด
Bostrichidae หรือ Bostrychidae (มอดชี้ชุยเทียม)	1. <i>Apoleon edax</i> Gorth. 2. <i>Dinoderus</i> sp. 3. <i>Heterobostrychus aequalis</i> Waterhouse 4. <i>Heterobostrychus pilates</i> 5. <i>Heterobostrychus unicornis</i> Waterhouse 6. <i>Sinoxylon anale</i> Lene 7. <i>Xylotriphs flavipes</i> Illigen 8. <i>Sinaxylon ruficorne</i> Fahr. 9. <i>Lyctus africanus</i> Lesne 10. <i>Lyctus</i> sp. 11. <i>Minthea rugicallis</i> Walker
Curculionidae (Platypodinae)	12. <i>Platypus piniperda</i> Schedl
Cerambycidae	13. <i>Gnatholea eburifera</i> Thomson

แหล่งที่มา: Hutacharern และ Tubtim (1995) และ Hussein (1981)

1.5 การป้องกันไม้ย่างพาราจากการเข้าทำลายของมอด

การป้องกันการเข้าทำลายไม้ย่างพาราแปรรูป และผลิตภัณฑ์จากไม้ย่างพาราทำได้โดยนำไม้ย่างพาราที่แปรรูปใหม่ๆ ไปอบที่ระดับความชื้นต่ำกว่า 15 เปอร์เซ็นต์ ความร้อนจากการอบสามารถฆ่าตัวก่อนของแมลง

ได้ทุกรายะ และการใช้สารเคมีรักษาเนื้อไม้ ซึ่งมีคล้ายวิธีได้แก่ การอบน้ำยาพื้นผิวไม้ และอัดน้ำยารักษาไม้ เข้าไปในเนื้อไม้ โดยการเลือกวิธีการอบน้ำยาและชนิดของสารเคมีที่ใช้ขึ้นอยู่กับชนิดของไม้และประเภทการใช้งานของไม้ ไม่ที่ผ่านการอบน้ำยาจะมีความทนทานต่อร้าและแมลงสูงขึ้น 3-5 เท่าของความทนทานตามธรรมชาติ เช่น ไม้ยางพาราที่ผ่านการใช้สาร Celcure® อบน้ำยาสามารถยืดอายุการใช้งานได้ถึง 5-8 ปี ยาวนานกว่าความทนทานตามธรรมชาติ (1.9 ปี) 3 เท่า (ธีระ, 2549)

อย่างไรก็ตาม การอบไม้และการใช้สารเคมีป้องกันรักษาเนื้อไม้มีข้อจำกัด และข้อเสียบางประการ ประการแรกการอบไม้ที่ระดับความชื้น 15 เปอร์เซ็นต์ ไม่สามารถป้องกันมอดเข้าทำลายไม้ได้ทุกชนิด มอดในวงศ์ย่อย Lyctinae (และบางชนิดในวงศ์ Anobiidae) สามารถเข้าทำลายไม้ที่มีระดับความชื้นต่ำถึง 8 เปอร์เซ็นต์ (จากรูนี และไฟวรอน, 2524; ไฟวรอน, 2524; Cookson, 2004) ประการที่สองสารเคมีรักษาเนื้อไม้ส่วนใหญ่ยกเว้นกรดบอริก และอนุภัณฑ์ของสารบอริก (boric acid and borax equivalent) มีผลกระแทบต่อสิ่งแวดล้อมและเป็นพิษต่อมนุษย์ (Hugh, 2006) และสารเคมีบางชนิด เช่น potassium dichromate, sodium dichromate, arsenic pentoxide ยังเป็นสารก่อมะเร็งอีกด้วย (Hugh, 2006)

ในปัจจุบันการวิจัยทางด้านการป้องกันเนื้อไม้ได้เน้นหนักไปในสองแนวทางคือ การแสวงหาสารเคมีรักษาเนื้อไม้ใหม่ๆ ที่มีประสิทธิภาพดี และมีพิษต่อผู้ปฏิบัติงาน และผู้บริโภคน้อย โดยเน้นความสนใจไปที่สารประกอบ硼ในร่อง (boron compounds) (ธีระ, 2549) และในแนวทางที่สองคือ การรักษาคุณภาพเนื้อไม้ด้วยวิธีธรรมชาติ มุ่งเน้นการปรับเปลี่ยนเคมีของไม้ไม่ให้เหมาะสมต่อการเข้าทำลายของแมลง (Simpson and Barton, 1991; Peters et al., 2002) หรือนำสารสกัดจากเนื้อไม้ (hardwood extractives) มาใช้ในกระบวนการรักษาเนื้อไม้แทนการใช้สารสังเคราะห์ โดยใช้สารสกัดมาจากไม้ชนิดที่มีความทนทานตามธรรมชาติสูง เช่น ลักษ (Tectona grandis), Belian (*Eusideroxylon zwageri*), Cengal (*Neobalanocarpus heimii*) และ Padauk (*Pterocarpus soyauxii*) (Wong et al., 2005) ซึ่งเป็นวิธีที่ไม่มีผลกระแทบท่อสุขภาพของผู้บริโภค และเป็นที่ยอมรับจากผู้บริโภคมากกว่า โดยเฉพาะอย่างยิ่งในอุตสาหกรรมเครื่องใช้ในครัวเรือน ไม้พื้น และของเล่นเด็ก

การป้องกันการทำลายเนื้อไม้โดยไม่ใช้สารเคมีตามวิธีที่กล่าวแล้วข้างต้น นอกจากมีความปลอดภัยต่อผู้บริโภคแล้ว ยังสามารถเพิ่มมูลค่าผลิตภัณฑ์ และสร้างจุดแข็งแก่อุตสาหกรรมไม้ยางพาราอีกด้วย อย่างไรก็ตามการป้องกันการทำลายจากมอดไม้ด้วยวิธีนี้จำเป็นอย่างยิ่งที่จะต้องรู้เชิงวิทยาของมอดการทำลายไม้เป็นอย่างดี รวมถึงเข้าใจปัจจัยต่างๆ ที่มีอิทธิพลต่อการเข้าทำลายไม้ยางพาราของมอดไม้ ปัจจัยเหล่านี้ ยกตัวอย่างเช่น การเปลี่ยนแปลงทางเคมีของเนื้อไม้หลังการตัดฟัน ปัจจัยของปริมาณแป้ง น้ำตาล-อิสระปริมาณลิกนิน สารแทรก และสารกลุ่ม Secondary metabolites อื่นๆ อีกด้วย

1.6 องค์ประกอบทางเคมีของเนื้อไม้ที่ส่งผลต่อการเข้าทำลายของแมลง

องค์ประกอบทางเคมีของเนื้อไม้มีอิทธิพลต่อการเข้าทำลายของแมลงมีสองกลุ่มด้วยกันกลุ่มแรกสารอาหารต่างๆ ที่จำเป็นต่อการเจริญเติบโตของแมลงที่จะสนใจเนื้อไม้ที่สำคัญได้แก่ สารใบไอกเรต (แป้งและน้ำตาล) โปรตีน กลุ่มที่สองสารที่ไม่ได้จำเป็นต่อการเจริญเติบโตของแมลงได้แก่สารในกลุ่ม Secondary metabolites หรือที่เรียกว่าสารแทรก สารในกลุ่มนี้บางชนิดเป็นสารที่มีพิษหรือสร้างผลกระทบต่อแมลงเมื่อแมลงได้รับเข้าไปโดยตรง เช่น สารในกลุ่มลิกินน์ และอนุพันธุ์ของลิกินน์ หรือสาร secondary metabolites อื่นๆ และบางชนิดที่มีอิทธิพลต่อการหาแหล่งอาหาร และแหล่งสร้างรังวางไข่หรือความชอบต่อพืชอาหารของแมลง เช่น สารในกลุ่ม Terpenoids และสารที่มีฤทธิ์ยับยั้งการกิน (antifeedants) ชนิดต่างๆ

ปริมาณลิกินน์และสาร secondary metabolites ในเนื้อไม้แต่ละชนิดและแต่ละพันธุ์มีปริมาณมากน้อยแตกต่างกัน (Anonymous, 2005) Faccoli และคณะ (2004) รายงานว่าสารน้ำลายชนิดในเปลือกและเนื้อไม้มีอิทธิพลต่อการเลือกและความชอบอาหารของ *Ips typographus* L. (Scolytidae) สารดังกล่าวได้แก่ 3-Octanol, 1-hexanol และ Green Leaf Volatile (GLV)-blend ซึ่งมีฤทธิ์เป็นสารยับยั้งการกิน ในขณะที่ monoterpenes, limonene และ α -pinene มีพิษและมีฤทธิ์ยับยั้งการกินต่อแมลงดังกล่าวสูง และยังพบว่าสารต่างๆ เหล่านี้มีอิทธิพลต่อแมลงในแต่ละเพศมากน้อยแตกต่างกัน Harmatha และ Nawrot (2002) พบว่าสารกลุ่ม lignans และ อนุพันธุ์ของ phenylpropanoids น้ำลายชนิดมีฤทธิ์ยับยั้งการกินในแมลงด้วยเช่นเดียวกัน

1.7 ชนิดและพันธุ์ของพืชอาหารต่อความชอบในการเข้าทำลายของแมลง

Hank และคณะ (1993) ศึกษาความชอบต่อพืชอาหารของด้วงหนวดยา *Phoracantha semipunctata* (Fabricius) (Cerambycidae) ในไม้ยุคอลิปตัส 5 ชนิดพบว่า แมลงดังกล่าวมีความชอบต่อพืชอาหารแต่ละชนิดแตกต่างกัน พืชอาหารที่แมลงชอบเข้าทำลายมากกว่า มีอัตราการเข้าทำลายของแมลงสูงกว่าพืชอาหารที่แมลงชอบน้อยกว่า นอกจากนี้ชนิดของพืชอาหารยังมีอิทธิพลต่ออัตราการเจริญเติบโตและอัตราการตายในระยะตัวอ่อนของแมลง ในพืชอาหารที่แมลงชอบอาศัยมากกว่า มีอัตราการเจริญเติบโตและอัตราการตายในระยะตัวอ่อนของแมลง น้อยกว่า ในทางตรงกันข้ามมีอัตราการตายในระยะตัวอ่อนที่ต่ำกว่าพืชอาหารที่แมลงชอบน้อยกว่า ปัจจัยที่มีอิทธิพลต่อความชอบในการเข้าทำลายของแมลงต่อพืชอาหารดังกล่าวได้แก่ ปริมาณของสารอาหารที่แมลงต้องการในการเจริญเติบโตในพืชอาหารแต่ละชนิด และความหนาแน่นของแมลงที่เข้าทำลาย Morewood และคณะ (2003) พบว่าด้วงหนวดยา *Anoplophora glabripennis* (Motschulsky) (Coleoptera: Cerambycidae) ซึ่งเป็นแมลงที่มีพืชอาหารกว้าง (polyphagous) มีพืชอาหารที่ชอบในระดับที่ใกล้เคียงกันได้มากกว่า 1 ชนิด และแมลงดังกล่าวมีอัตราการวางไข่ในพืชอาหารเหล่านี้ในอัตราที่ไม่แตกต่างกันมากนัก

นอกจากชนิดของพืชอาหารที่มีอิทธิพลต่อการเข้าทำลายและการเจริญเติบโตของแมลงแล้ว พันธุ์ และแหล่งที่มา (provenances) ของพืชอาหารยังมีอิทธิพลต่อความชอบพืชอาหารของแมลง และความทันทานของไม้ประรูปต่อการเข้าทำลายของแมลงอีกด้วย Nerg และคณะ (2003) พบว่า พืชอาหารในแต่ละแหล่งที่มาไม่มีอิทธิพลโดยตรงต่ออัตราการเจริญเติบโตของตัวอ่อนของ *Hylotrupes bajulus* (L.) (Coleoptera: Cerambycidae) แต่จะไปมีอิทธิพลต่ออัตราการวางไข่และความชอบในการเข้าทำลายของแมลงชนิดดังกล่าว

2. วัตถุประสงค์ของงานวิจัย

- เพื่อศึกษารูปแบบการกระจาย และความหลากหลายของชนิดของมอดทำลายไม้ย่างพาราในภาคใต้
- เพื่อศึกษาชีวิทยาของมอดไม้ชนิดที่มีความหลากหลายและมีผลกระบวนการต่ออุตสาหกรรมไม้ย่างพารามากที่สุดหนึ่งชนิด
- ศึกษาอิทธิพลของพันธุ์ของไม้ย่างพาราต่อชีวิทยาการสืบพันธุ์ และความชอบในการเข้าทำลาย (host preference) ของมอดไม้ย่างพาราชนิดหลักที่สำคัญ 1 ชนิด¹

3. ประโยชน์ที่คาดว่าจะได้รับ

- เมื่อทราบชนิดของมอดที่ทำลายไม้ย่างพารานิดที่มีความสำคัญทางเศรษฐกิจ ทำให้สามารถจัดการแมลงศัตรูไม้ย่างพาราได้อย่างมีประสิทธิภาพ
- การทราบชีวิทยาของมอดไม้ เป็นพื้นฐานความรู้ที่สำคัญในการจัดการแมลงศัตรูอย่างถูกต้องและเหมาะสม
- ทราบอิทธิพลของปริมาณแป้ง ลิกนิน และสารแทรก และอิทธิพลของพันธุ์ของไม้ย่างพาราต่อชีวิทยาการสืบพันธุ์ รวมถึงความชอบของมอดไม้ในการเข้าทำลายไม้ย่างพาราแปรรูป สามารถนำความรู้นี้ไปใช้ในการเลือกใช้วัสดุไม้ย่างพาราแปรรูป ในอุตสาหกรรมที่ไม่ต้องการใช้สารเคมีรักษาเนื้อไม้ได้

¹ จากผลการสำรวจได้แก่ชนิด *Sinoxylon anale* Lesne (Bostrichidae)

4. วิธีการวิจัย

การวิจัยแบ่งออกเป็น 3 ส่วน

- สำรวจนิความหลากหลายทางชนิดของมอดทำลายไม้ย่างพาราแปรรูปในภาคใต้
- ศึกษาธรรมชาติและชีววิทยาการสืบพันธุ์ของมอด *Sinoxylon anale* Lesne (Bostrichidae) ซึ่งเป็นศัตรูไม้ย่างพาราแปรรูปสำคัญที่สุดในพื้นที่ภาคใต้ (จากผลการสำรวจในข้อ 1)
- ศึกษาความชอบในการเข้าทำลาย และอิทธิพลของพันธุ์ไม้ย่างพาราต่ออัตราการสืบพันธุ์ของมอด *S. anale*

4.1 สำรวจความหลากหลายทางชนิดของมอดที่เข้าทำลายไม้ย่างพาราแปรรูปในภาคใต้

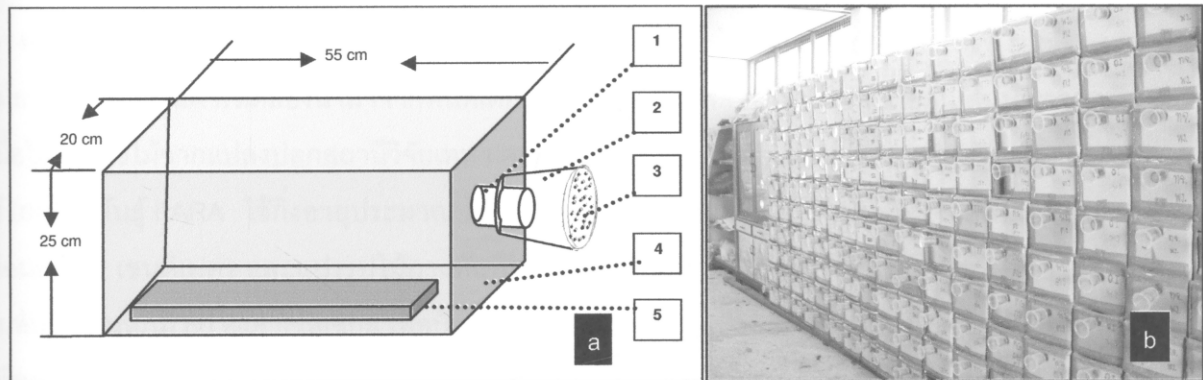
สำรวจมอดที่เข้าทำลายไม้ย่างพาราแปรรูปในพื้นที่ป่าดูกรยางพารานลักษณะภาคใต้ 8 จังหวัด ได้แก่ สุราษฎร์ธานี นครศรีธรรมราช พัทลุง สงขลา พังงา กระบี่ ตรัง และสตูล โดยการศึกษาในครั้งนี้แบ่งพื้นที่ศึกษาออกเป็น 2 พื้นที่อย่างตามลักษณะภูมิประเทศของภาคใต้ได้แก่ ภาคใต้ฝั่งตะวันออกและภาคใต้ฝั่งตะวันตก เลือกโรงเรือนที่อยู่ในพื้นที่ภาคใต้ฝั่งตะวันออก และภาคใต้ฝั่งตะวันตกฝั่งละ 10 โรง การแบ่งพื้นที่ศึกษาใช้เทือกเขาหลวงซึ่งกั้นกลางระหว่างภาคใต้ฝั่งตะวันออกและฝั่งตะวันตก จากการแบ่งตัวยังคงกล่าวทำให้ อ. ทุ่งสง และ อ. ทุ่งใหญ่ ของจังหวัดนครศรีธรรมราชถูกแบ่งอยู่ในภาคใต้ฝั่งตะวันตก หมู่เลือกโรงเรือนที่แปรรูปเฉพาะไม้ย่างพาราให้คลอบคลุมพื้นที่ศึกษาโดยฝั่งตะวันออกจังหวัดสุราษฎร์ธานี 3 โรง นครศรีธรรมราช 2 โรง พัทลุง 2 โรง และสงขลา 3 โรง และ ภาคใต้ฝั่งตะวันตก จังหวัดนครศรีธรรมราช (อ. ทุ่งสง และ อ. ทุ่งใหญ่) 2 โรง กระบี่ ตรัง และสตูล จังหวัดละ 2 โรง

หมู่เลือกไม้แปรรูปขนาด $5 \times 100 \times 3$ ลูกบาศก์เซนติเมตร หรือขนาดใกล้เคียงกัน ที่มีร่องรอยการเข้าทำลายของมอด โรงเรือนละ 10 ชิ้น นำมายังการสุมตัดครึ่งแล้วแยกเป็นชิ้นเดียวๆ ใส่ในกล่องดักจับแมลงชิ้ง ประกอบด้วยกล่องกระดาษทึบแสงขนาด $20 \times 25 \times 55$ ลูกบาศก์เซนติเมตร ที่เจาะรูทางออกทางเดียวเพื่อให้แมลงตัวเดียวที่เจาะออกจากไม้ตัวอย่างบินออก ใช้ภาชนะพลาสติกปြรองแสงสำหรับใส่น้ำหวานที่มีฝาปิดติดกับรูทางออกดังกล่าวด้วยห่ออย่างเพื่อตักจับแมลงที่บินออกจากรูทางออกดังกล่าว (ภาพที่ 1a,b) เก็บแมลงจากภาชนะตักทุกวันในเวลา 14.00 – 15.00 น. นำแมลงดังกล่าวใส่ใน microcentrifuge tube ขนาด 1.5 มิลลิลิตรที่มีเชือกหิลและกอร์悄然ล 95 เปอร์เซ็นต์บรูคอลเพื่อป้องกันแมลงเน่าเสีย เก็บแมลงที่อุณหภูมิห้องเพื่อรอการจำแนกชนิดและนับจำนวน

เก็บตัวอย่าง 3 ครั้งในเดือนกรกฎาคม และเดือนพฤษจิกายน พ.ศ. 2550 และ เดือนมีนาคม พ.ศ. 2551 นับจำนวนแมลงแต่ละชนิดในแต่ละตัวอย่างเพื่อนำมาคำนวณความหลากหลายทางชนิด (species diversity) และเปรียบเทียบความหลากหลายทางชนิดทางมอดทำลายไม้ย่างพาราระหว่างภาคใต้ฝั่ง

ตะวันออก และฝั่งตะวันตกโดยใช้ Simson's index of diversity, Shannon wiener diversity index และ Shannon's evenness index

การจำแนกชนิดของแมลงในระดับวงศ์ใช้ Borror and DeLong's Introduction to the Study of Insects 7th Edition (Charles and Norman, 2005) การจำแนกในระดับสกุล ใช้ American Beetles volume II (Ross, 2002) และการจำแนกระดับชนิด วงศ์ Bostrichidae และ Scolytidae ใช้ online Identification keys จาก Pests and Diseases Image Library (PaDIL) ของสเตอร์เลีย (Walker, 2006) และยืนยันการจำแนกชนิดโดย Dr. Roger Beaver ผู้เชี่ยวชาญการจำแนกชนิดในวงศ์ย่อย Platypodinae Scolytinae และ วงศ์ Bostrichidae



ภาพที่ 1 ภาคร่างลักษณะกล่องที่ใช้ดักจับแมลง (a) หมายเลข 1. ห่อสายยางเชื่อมระหว่างกล่องและภาชนะดักจับแมลง 2. ภาชนะดักจับแมลงทำด้วยถ้วยพลาสติกใส 3. ฝาเจาะรูขนาดเล็กไว้เพื่อให้อากาศถ่ายเท 4. กล่องกระดาษลัง 5. ไม้ยางพาราเปลือกที่เก็บตัวอย่างจากโรงเรือน (b) กล่องดักจับแมลงเก็บไว้ในโรงเรือนที่สามารถถ่ายเทได้สะดวกและให้แสงสว่าง 24 ชั่วโมง

4.2 ศึกษาชีววิทยาการสืบพันธุ์ของมด *Sinoxylon anale* Lesne (Coleoptera; Bostrichidae)

4.2.1 แมลงที่ใช้ศึกษา

แมลงที่ใช้ในการศึกษา *Sinoxylon anale* Lesne (Coleoptera; Bostrichidae) พิจารณาเลือกจากผลการสำรวจนิดและความหลากหลายของมดทำลายไม้ยางพาราจากการทดลองส่วนที่ 1 มอดชนิดนี้พบมากที่สุดในพื้นที่ศึกษา (39.56%) มีค่าดัชนีความหลากหลายสูงสุดและเป็นหนึ่งในมอดชนิดที่สร้างความเสียหายสูงสุดแก่ไม้ยางพาราเปลือกในพื้นที่ภาคใต้และภาคตะวันออกของไทย (Sittichaya and Beaver, 2009) ใช้แมลงที่บินออกจากไม้ที่ได้มาจากการสำรวจ โดยเลือกแมลงรุ่นลูกที่บินออกจากรังใหม่ๆ เพื่อป้องกันแมลงตัวเต็มวัยที่ผ่านการวางไข่มาแล้ว นำแมลงดังกล่าวมาเลี้ยงในกล่องพลาสติกทึบแสงที่มีชิ้นไม้

ยางพาราขนาดเล็กสำหรับเป็นอาหารของแมลงเพื่อให้แมลงพร้อมที่จะผสมพันธุ์ และวางแผนไว้เป็นระยะเวลากว่า 3 วัน

4.2.2 ไม้ยางพาราที่ใช้ในการทดลอง

ไม้ยางพาราที่ใช้ในการศึกษาครั้นทุกการทดลองใช้ไม้ยางพาราจากการตัดฟันครั้งเดียวกัน ใช้ไม้ยางพารา 3 พันธุ์ตัวแทนของยางพาราแต่ละกลุ่ม โดยกลุ่มพันธุ์ที่ให้ผลผลิตน้ำยางสูงได้แก่พันธุ์ RRIM 600 พันธุ์ที่ให้ผลผลิตน้ำยางสูงและเนื้อไม้สูง พันธุ์ PB 235 และกลุ่มพันธุ์ที่ให้ผลผลิตเนื้อไม้สูง ได้แก่ยางพารา ดังเดิมไม่ระบุพันธุ์ (PARA) (ตารางที่ 3) ในแต่ละพันธุ์ใช้ยางพารา 5 ตัน (5 ชิ้น) (ในบางการทดลองอาจใช้ไม้ยางพาราในแต่ละตันหรือในแต่ละชิ้นมากกว่า 1 ชิ้น ให้จัดไม้ดังกล่าวเป็นตัวอย่างย่อย หรือ sub-samples) ไม้ยางพาราที่ใช้ในการทดลองนำมาจากพื้นที่เดียวกันเพื่อลดอิทธิพลของพื้นที่ปลูกต่อคุณสมบัติทางเคมีของเนื้อไม้ โดยใช้ไม้จากแปลงปลูกสถานวิจัยเทpa คณะทรัพยากรธรรมชาติ สำราญเทpa จังหวัดสงขลา อายุ 25 ปี (ยกเว้นพันธุ์ PARA ใช้กิงอายุประมาณ 25 ปี ของต้นยางอายุ 40 ปี) โดยไม่และตัดเป็นท่อนความยาวท่อนละ 90 เซนติเมตร และประรูปไม้ยางทันทีในวันเดียวกัน นำไม้ยางพาราที่ประรูปเรียบร้อยแล้วมาอบในทันทีที่อุณหภูมิ 80 องศาเซลเซียส เพื่อป้องกันการสลายตัวของแป้ง ระยะเวลาการอบประมาณ 48 ชั่วโมง หรือจนกว่าความชื้นในไม้อยู่ในระดับ 15 เปอร์เซนต์ ก็จะไม่มีผ่านการอบเรียบร้อยแล้วในห้องทดลองเพื่อป้องกันมอดเข้าทำลายก่อนการทดลอง ยกเว้นไม้ที่ใช้เคราะห์คุณสมบัติเคมีของไม้ให้เก็บที่อุณหภูมิ -20 องศาเซลเซียส

ตารางที่ 3 พันธุ์ของไม้ยางพาราที่ใช้ในการศึกษาชีววิทยาการสืบพันธุ์และความชอบในการเข้าทำลาย ของมอคชี้ชุย (*Sinoxylon anale* Lesne)

กลุ่มของพันธุ์ยางพาราแบ่งตามผลผลิต	พันธุ์	ชั้นอายุ (ปี)	จำนวนชิ้น (ตัน)
ผลผลิตน้ำยางสูง	RRIM 600	25	5
ผลผลิตน้ำยางสูงและเนื้อไม้สูง	PB 235	25	5
ผลผลิตเนื้อไม้สูง	ยางพารา (PARA)*	25	5

* ใช้กิงยางพาราดังเดิมไม่ระบุพันธุ์อายุ 25 ปี จากต้นยางพาราที่มีอายุ 40 ปี

4.2.3 การวิเคราะห์ปริมาณแป้ง (starch) ลิกนิน (lignin) และสารแทรก (wood extractives) ในไม้ยางพาราที่ใช้ในการทดลอง

ใช้ไม้ยางพาราประรูป ขนาด 10x20x3 ลูกบาศก์เซนติเมตร จากไม้ท่อนแรกของทั้ง 3 พันธุ์ พันธุ์ละ 5 ตัน (5 ชิ้น) ตันละ 3 ชิ้น (3 subsamples) นำไม้ที่ได้จากชิ้นตอนการอบแห้งเก็บไว้ที่ อุณหภูมิ

-20°C เพื่อป้องกันการสลายตัวของแป้งจนกว่าจะนำไม้ไปวิเคราะห์ ปริมาณแป้งในเนื้อไม้ วิเคราะห์โดยวิธีของ Browning (1967) ลิกนิลให้ไว้ Acid-insoluble lignin in wood and Pulp (T222 om-02) (TAPPI, 2002) และสารแทรกให้ไว้ Solvent extractives of Wood and Pulp (T 204 cm-97) (TAPPI, 1997) ตามลำดับ ในไม้ยางพาราแต่ละชิ้นจะทำการวิเคราะห์ 3 ครั้ง (จากไม้ตัวอย่าง 3 ชิ้น) และนำค่าเฉลี่ยมาใช้หาค่าเฉลี่ยของปริมาณแป้ง ลิกนิน และสารแทรกในเนื้อไม้ วิเคราะห์ความแตกต่างทางสถิติระหว่างพันธุ์ของไม้ยางพาราด้วย One way ANOVA และวิเคราะห์สหสัมพันธ์ (Correlation coefficient) ระหว่างปริมาณแป้ง ลิกนิล และสารแทรก ด้วยวิธี Pearson's correlation

4.2.4 ศึกษาชีววิทยาการสืบพันธุ์ของมอด *Sinoxylon anale* Lesne

การศึกษาชีววิทยาการสืบพันธุ์ของมอด *S. anale* ประกอบด้วยสองการทดลองหลักได้แก่ การทดลองที่ 1 การศึกษาลักษณะและการพัฒนาการของรังในแต่ละสปีดานหงส์จากน้ำมอดเพคผู้และเพคเมียปล่อยในกล่องทดลองแล้ว และการทดลองที่ 2 ศึกษาอิทธิพลของพันธุ์ของไม้ยางพาราต่อจำนวนประชากรรุ่นลูกของมอด (อัตราการสืบพันธุ์)

4.2.4.1 ศึกษาลักษณะการสร้างรัง และพัฒนาการของรังของมอด *Sinoxylon anale* Lesne

ใช้แมลงตัวเดิมวัยที่บินออกจากรังใหม่ๆ เพคผู้และเพคเมีย 1 คู่ มาเลี้ยงทดสอบในกล่องพลาสติกสำหรับใส่อាពานขนาด 9.5x14.5x5 ลูกบาศก์เซนติเมตร ที่มีไม้ยางพาราเปรูปขนาด 10x15x0.5 ลูกบาศก์เซนติเมตร สำหรับเป็นวัสดุการสร้างรัง (ภาพที่ 2a) ใช้ไม้ยางพาราในการทดสอบ 3 พันธุ์ พันธุ์ละ 5 ชิ้น รวมจำนวนรังที่ใช้ศึกษา 240 รัง (ตารางที่ 4)

ตารางที่ 4 แผนการทดลองที่ใช้ในการศึกษาชีววิทยาและอิทธิพลของพันธุ์ไม้ยางพาราต่ออัตราการสืบต่อพันธุ์ของมอด *S. anale*

การทดลอง	ทรัพยากรที่	ไม้ที่ใช้ทดสอบ	จำนวนชิ้น
การทดลองที่ 2 ศึกษาลักษณะการสร้างรังและพัฒนาการของรังของมอดไม้ในไม้	1	พันธุ์ RRIM600 อายุ 25 ปี	5
รังและพัฒนาการของรังของมอดไม้ในไม้	2	พันธุ์ PB253 อายุ 25 ปี	5
ยางพารา	3	พันธุ์ยางพื้นบ้าน อายุ 25 ปี	5
การทดลองที่ 2 ศึกษาอิทธิพลของพันธุ์ของไม้ยางพาราต่อชีววิทยาการสืบพันธุ์ของมอดไม้	1	พันธุ์ RRIM600 อายุ 25 ปี	15
ของไม้ยางพาราต่อชีววิทยาการสืบพันธุ์ของมอดไม้	2	พันธุ์ PB253 อายุ 25 ปี	15
ของมอดไม้	3	พันธุ์ยางพื้นบ้าน อายุ 25 ปี	15

มีมอดเข้าไปสร้างรังในไม้ที่ใช้ทดสอบเรียนร้อยแล้ว นำกล่องทดลองไปเก็บที่สภาพแวดล้อมอุณหภูมิห้อง ที่กำหนดช่วงความยาวแสง 12 ชั่วโมง ทำการบันทึกอุณหภูมิ และความชื้นสัมพัทธ์ในห้องทดลองตลอดระยะเวลาการทดลอง เมื่ออายุรังครบ 7 วันแล้วโดยเริ่มนับจากวันที่เริ่มปล่อยแมลงรุ่นพ่อแม่ในกล่องทดลอง ทำการสุมตัวอย่างรังของแมลงจากไม้ย่างพาราแต่ละพันธุ์ พันธุ์ละ 5 ตัวอย่าง

นำรังมอดดึงกล่าวมาแกะออกเพื่อศึกษาการพัฒนาของรัง ทำการบันทึกขนาดเส้นผ่าศูนย์กลางของรัง ความยาวของทางเดินของรุ่นพ่อแม่ ความยาวของทางเดินของรุ่นลูก (larval tunnel) จำนวนไข่ที่วาง การพัฒนาของรุ่นลูกระยะต่างๆ ภายในรัง และคำนวณอัตราการฟักไข่ และอัตราการการตายของมอดในระยะก่อนเป็นตัวเต็มวัยเบริ่ญเทียบระหว่างพันธุ์ของไม้ย่างพารา นำอัตราการตายของไข่และระยะก่อนตัวเต็มวัยที่ได้ยังไม้ย่างพาราแต่ละพันธุ์ไปวิเคราะห์ความแปรปรวนด้วย One way ANOVA

4.2.4.2 ศึกษาอิทธิพลของพันธุ์ของไม้ย่างพาราต่อชีววิทยาการสืบพันธุ์ (Reproductive biology) ของมอด *Sinoxylon anale* Lesne

ก. ศึกษาระยะเวลาที่มอด *S. analis* ใช้ในการพัฒนาจากเริ่มปล่อยแมลงรุ่นพ่อแม่จนถึงตัวเต็มวัยรุ่นลูกบินออกจากรัง

การศึกษาระยะเวลาที่มอด *S. analis* ใช้ในการเจริญเติบโตดังแต่ปล่อยแมลงรุ่นพ่อแม่ให้วางไข่ในไม้ย่างพาราที่ใช้ทดสอบทั้งสามพันธุ์จนถึงระยะเวลาที่ประชากรรุ่นลูกเริ่มนับออกจากรังและบินออกจากรังจนหมด ทำเงินเดียว กับการศึกษาอิทธิพลของพันธุ์ไม้ย่างพาราต่ออัตราการสืบต่อพันธุ์ของมอด แตกต่างที่ขั้นตอนการเก็บแมลง แทนที่จะเก็บไม้ที่มอดเข้าทำรังวางไข่ในกล่องโปรดัง ให้นำมาดึงกล่าวไปใส่ในกล่องดักจับแมลง เช่นเดียวกับที่ใช้ในการศึกษาความหลากหลายของมอดทำลายไม้ย่างพารา และทำการบันทึกจำนวน และวันที่มอดออกจากรังตั้งแต่มอดรุ่นลูกตัวแรกบินออกจากไม้จนถึงมอดตัวสุดท้ายบินออก และเมื่อไม่มีมอดบินออกจากไม้อีกแล้ว นำมัดดงกล่าวมาผ่าออกเพื่อตรวจสอบว่านี่มีมอดหลงเหลืออีกหรือไม่นำระยะเวลาที่มอดรุ่นลูกตัวแรกและตัวสุดท้ายบินออกจากไม้ย่างพาราแต่ละพันธุ์ไปวิเคราะห์ความแปรปรวนด้วย One Way ANOVA และวิเคราะห์สัมประสิทธิ์ สหสัมพันธ์ระหว่างปริมาณแป้ง ลิกนิน และสารแทรก ในเนื้อไม้ กับจำนวนประชากรรุ่นลูกของมอดด้วยวิธี Pearson's correlation

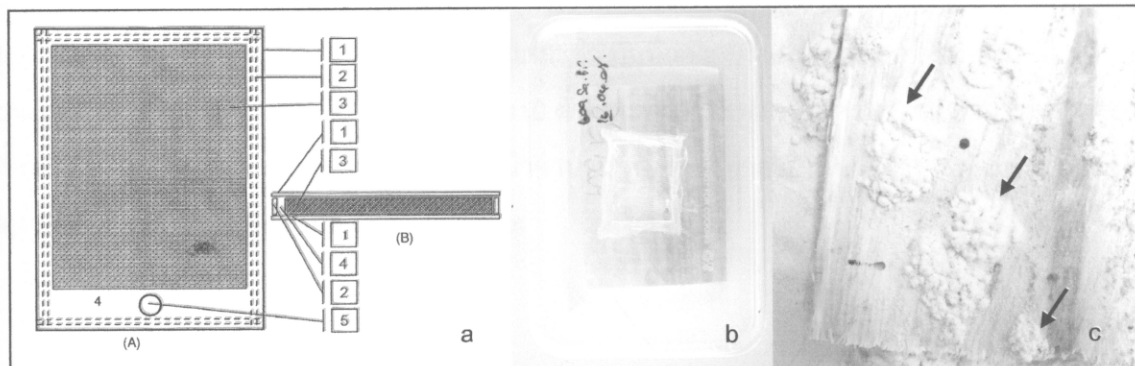
ข. การศึกษาความยืนยาวของอายุชัย (longevity) ของมอด *Sinoxylon anale* Lesne ตัวเต็มวัย

นำมอดตัวเต็มวัยที่บินออกมากจากไม้ที่มอดเข้าทำลายในม่าฯ เพศผู้และเพศเมียอย่างละ 10 ตัวมาเลี้ยงในสภาพห้องทดลองอุณหภูมิเฉลี่ย 27.54 ± 0.99 องศาเซลเซียส ความชื้นสัมพัทธ์ 81.57 ± 3.65 เปอร์เซ็นต์ ให้แสงสว่าง 12 ชั่วโมง ในถ้วยพลาสติกสีขาวซึ่นเส้นผ่าศูนย์กลางที่ฐาน 9.5 เซนติเมตร ที่มีฝา

ครอบป้องกันที่เจาะรูขนาดเล็กเพื่อให้อาการสามารถถ่ายเทได้สะดวก (ภาพที่ 4a) ใส่ชิ้นไม้ย่างพาราพันธุ์ PB235 ขนาด $3 \times 3 \times 2$ ลูกบาศก์เซนติเมตร เพื่อเป็นอาหารของมด ตรวจสอบการมีชีวิตของมอดทุกๆ วันในเวลา 15 นาที กาน้ำค่าเฉลี่ยช่วงอายุของมอดเพศผู้และเพศเมียมาหาค่าความแตกต่างทางสถิติด้วยวิธี independent sample t-test

ค. การศึกษาอิทธิพลของพันธุ์ไม้ย่างพารา 3 พันธุ์ต่ออัตราการสืบพันธุ์ (reproductivity) ของมอด *Sinoxylon anale* Lesne

การทดลองทำเขี้นเดียวกับการทดลองที่ 1 แต่เพิ่มจำนวนช้ำในแต่ละการทดลองเป็น 25 ช้ำ และเมื่อ เมลงเจาะเข้าทำลายไม้ย่างพาราเรียบร้อยแล้ว นำกล่องทดลองไปเก็บที่สภาพอุณหภูมิห้องระยะเวลา 60 วัน เมื่อครบกำหนดตรวจว่า เมลงประสบความสำเร็จในการสร้างรังวางไข่หรือไม่ โดยสังเกตขีดุยที่มอดตัวเดิมวัยรุ่นลูกขึ้นออกมานา (ภาพที่ 2c) นำไปย่างพาราที่มอดประสบความสำเร็จในการสร้างรังไปใส่ในภาชนะปิดปอร์ตแบ่งเพื่อดักจับเมลงทั้งหมดที่บินออกมานับจำนวนของเมลงทั้งหมดในรุ่นลูก เพื่อคำนวณความสามารถในการสืบพันธุ์เฉลี่ยของมอดไม้ชนิดดังกล่าวในไม้ย่างแต่ละพันธุ์ และนำค่าเฉลี่ยจำนวนประชากรรุ่นลูกที่เลี้ยงด้วยไม้ย่างพาราแต่ละพันธุ์ไปเคราะห์ความแตกต่างทางสถิติด้วย One way ANOVA และวิเคราะห์ความสัมพันธ์ระหว่างปริมาณแป้ง ลิกนิน และสารแทรกในเนื้อไม้ กับจำนวนประชากรรุ่นลูกของมอดด้วย Pearson's correlation



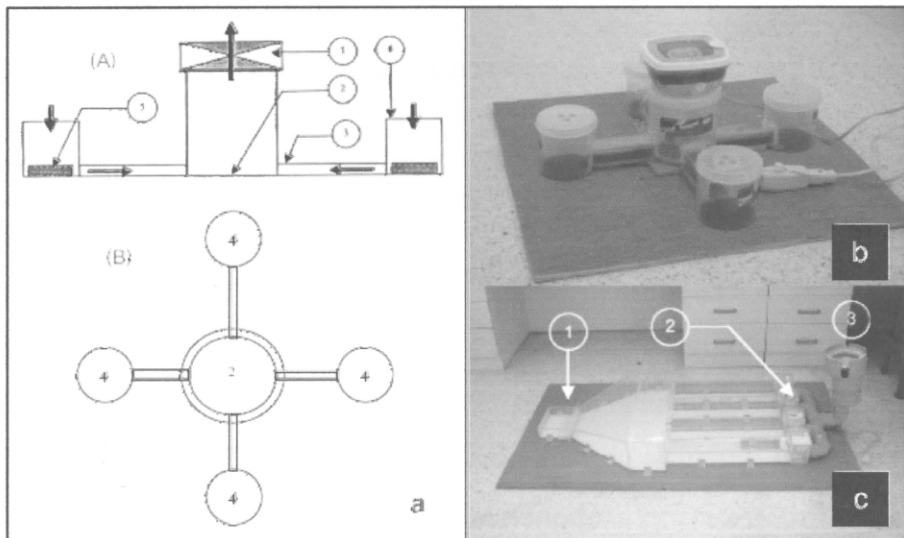
ภาพที่ 2 อุปกรณ์และการประกอบชุดการทดลองที่ใช้ทดลองการสร้างรังของเมลงแบบเดิม (a.) (A) แสดงภาพด้านบน (B) แสดงภาพดัดขวาง หมายเลข 1 แผ่นอคริลิกด้านบนและด้านล่าง, 2 ชิ้นส่วนอคริลิกก้นด้านข้าง, 3 แผ่นไม้ย่างพาราที่ใช้ในการทดลอง, 4 ช่องว่างสำหรับปล่อยเมลงในการทดลอง, 5 รูเปิด-ปิดสำหรับปล่อยเมลงเข้าการทดลอง (b.) ชุดการทดลองที่ปรับปรุงข้อเสียของการทดลองวิธีแรกโดยใช้กล่องใสอาหารขนาด $10 \times 15 \times 0.5$ ลูกบาศก์เซนติเมตร แทนแผ่นอคริลิก (c.) ลักษณะรังที่มอดรุ่นพ่อแม่ประสบความสำเร็จในการสร้างรังเมื่ออายุครบ 60 วันจะมีขีดุยละเอียดสีขาวที่ตัวเติมรุ่นลูกขึ้นออกมานา (ลูกศรชี้)

4.3. ทดสอบอิทธิพลของพันธุ์ไม้ยางพาราและลักษณะพื้นผิวของไม้ยางพาราประปต่อความชอบในการทำลายของมด *S. analis*

4.3.1 ทดสอบอิทธิพลของพันธุ์ไม้ยางพาราต่อการเลือกเข้าทำลายของมดใน Olfactometer (wind tunnel)

อุปกรณ์ที่ใช้ทดลอง Olfactometer แบบสี่ทาง ส่องแบบ แบบที่ 1 (ภาพที่ 3a, b) ประกอบด้วย central chamber รูปทรงกลมสำหรับปล่อยแมลงที่ใช้ทดสอบ และห้องเดินยาว 10 เซนติเมตร ซึ่งนำไปสู่ choice chambers จำนวนสำหรับใส่วัสดุทดสอบ 4 กล่อง (ในแต่ละกล่องใส่ไม้ยางพาราแต่ละพันธุ์บวกกับกล่องควบคุมที่ปล่อยว่าง) ด้านบนของ central chamber มีฝาปิดที่ประกอบเข้ากับชุดดูดอากาศเพื่อดูดอากาศออกจาก central chambers ขณะเดียวกันก็ดึงอากาศจาก choice chambers ที่ใส่ไม้ยางพาราที่ใช้ทดสอบໄว้เข้าสู่ central chamber ที่มีแมลงสำหรับทดสอบ และ Olfactometer แบบที่สองมีขนาดใหญ่กว่าแบบแรกโดยระยะทางสำหรับเคลื่อนที่มีความยาว 1 เมตรประกอบด้วย จุดปล่อยแมลง ต่อเข้ากับทางเดินกลาง (central chamber) (หมายเลข 1) ที่นำไปสู่ทางเดินสำหรับเลือกไปสู่ choice chambers สี่ช่อง (หมายเลข 2) และ อุปกรณ์เป่าลมเข้าสู่ Olfactometer ผ่าน choice chambers (หมายเลข 3)

การทำทดลองประกอบด้วย 4 ทรีทเม้นท์ ได้แก่ไม้ยางพารา 3 พันธุ์และชุดควบคุม (ปล่อยว่าง ไม่มีรืนไม้) ทำการทดลอง 5 ชั้้า โดยใช้รืนไม้ขนาด $3 \times 3 \times 3$ ลูกบาศก์เซนติเมตร จากต้นยางพาราต่างต้นจำนวน 5 ต้นในแต่ละพันธุ์ ใส่รืนไม้ยางพาราที่ตัดใหม่ๆ ใน choice chambers และปล่อยแมลงที่ใช้ทดสอบบริเวณกึ่งกลาง central chamber ครั้งละ 1 ตัว จนครบ 10 ตัวในแต่ละชั้้า บันทึกความถี่และระยะเวลาที่แมลงเคลื่อนที่เข้าหา choice chamber เป็นสิบไม้เมื่อปีก่อน 10 ตัว และทำการทดลองจนครบ 5 ชั้้า ทำการทดลองชั้้าอีกครั้งโดยใช้ Olfactometer แบบที่ 2 (ภาพที่ 3) นำจำนวนมดที่เข้าทำลายไม้ยางพาราแต่ละพันธุ์และชุดควบคุมมาทดสอบความแปรปรวนด้วยวิธี LSD tests



ภาพที่ 3 Olfactometer (Wind tunnel) ที่ใช้ทดสอบความชอบในการเข้าทำลายไม้ย่างพาราของมอด

(a.) และ (b.) Olfactometer แบบที่ 1 (A) ภาพตัดขวาง (B) ภาพด้านบน หมายเลขอ 1 พัดลมดูดอากาศออก 2 จุดปล่อยแมลงที่ใช้ทดสอบใน central chamber 3 ช่องทางเดินสู่ choice chamber 4 choice chamber 5 ไม่มีที่ใช้ทดสอบ (c.) Olfactometer แบบที่ 2 ภาพด้านบน 1 จุดปล่อยแมลงที่ใช้ทดสอบ 2 choice chamber 3 พัดลมเป่าอากาศเข้า

4.3.2 ทดสอบอิทธิพลของพื้นผิวของไม้ย่างพาราต่อความชอบในการเข้าทำลายของมอด *Sinoxylon anale* Lesne โดยวิธีทดลองแบบสองตัวเลือก (Dual choices test)

ทำการทดลองโดยใช้ไม้ย่างพาราพันธุ์ RRIM600 เป็นตัวแทนในการทดสอบ ใช้ไม้ประปัดด้านขนาด $2.5 \times 5 \times 2$ ลูกบาศก์เซนติเมตร จำนวน 10 ชิ้นจากไม้ย่างพารา 5 ตัน โดย 5 ชิ้นแรกใช้ไม้ประปูที่ไม่ผ่านการขัดผิว มีผิวขรุขระ และ อีก 5 ชิ้นขัดผิวด้วยกระดาษทรายให้เรียบ วางแผนไม้มีผิวเรียบและผิวขรุขระที่มาจากการตัด ยางพาราตันเดียวกันอย่างละ 1 ชิ้น ทางปลายด้านหนึ่งของกล่องในกล่องพลาสติกใส (paxi-grass) มีฝาปิด ขนาด $12 \times 17 \times 6$ ลูกบาศก์เซนติเมตร ที่จะซ่อนระหว่างห้องทดลองเพื่อให้อากาศถ่ายเทได้สะดวก ปล่อยมอดที่ใช้ทดสอบ 5 ตัวในแต่ละห้องทดลองบริเวณปลายอีกด้านหนึ่งของกล่องห่างจากไม้ที่ใช้ทดสอบ 10 เซนติเมตร ปล่อยแมลงให้เคลื่อนที่เข้าหาไม้และนับจำนวนแมลงที่จะเข้าทำลายไม้ในแต่ละพื้นผิว ทำการทดลองทั้งหมด 5 ครั้ง นำจำนวนมอดที่เข้าทำลายไม้ย่างพาราแต่ละพื้นผิวนานาค่าความแปรปรวนด้วย independent sample t-test

4.3.3 การทดสอบอิทธิพลของพันธุ์ไม้ยังพาราต่อความชอบในการเข้าทำลายของมอด *S. analis*

4.3.3.1 การทดลองแบบไม่มีตัวเลือก (No choice test)

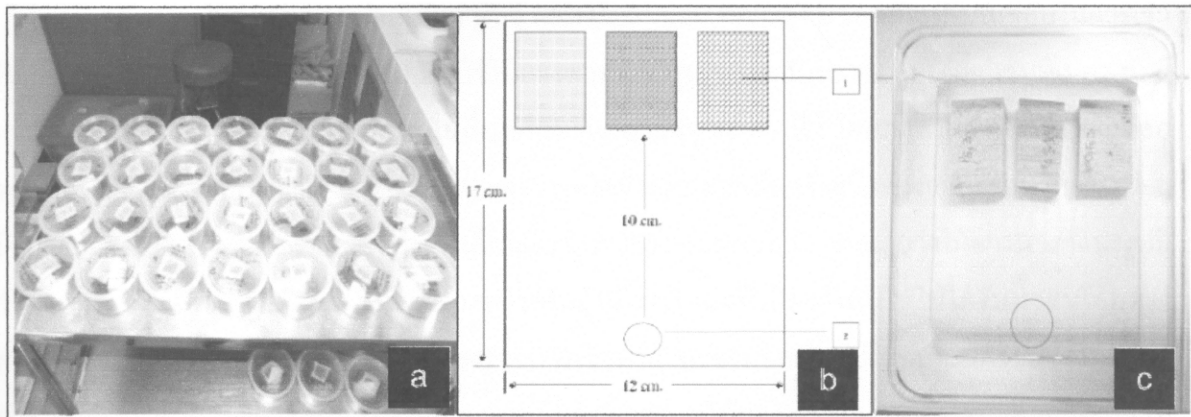
ให้ไม้ยังพารา 3 พันธุ์ได้แก่ RRIM600 PB235 และ PARA จำนวนพันธุ์ละ 5 ตัวอย่าง (samples) ตัวอย่างละ 5 ตัวอย่างย่อย (sub samples) มาตัดขนาด $2.5 \times 5 \times 2$ ลูกบาศก์เซนติเมตร อบรมให้ระดับความชื้น 12-15 เปอร์เซ็นต์ นำชิ้นไม้ยังพาราที่จะใช้ทดสอบทั้ง 75 ชิ้นมาซึ่งน้ำหนักก่อนการทดสอบ นำชิ้นไม้ยังพาราที่ซึ่งน้ำหนักเรียบร้อยแล้วมาวางในถ้วยพลาสติกมีฝาปิดขนาดเส้นผ่านศูนย์กลาง 12 ซม. ที่จะซึ่งระบายน้ำจากบริเวณฝาปิดเพื่อให้อากาศถ่ายเทได้สะดวกกล่องละหนึ่งชิ้น (ภาพที่ 4a) นำมอดใส่ในกล่องทดสอบกล่องละ 1 ตัว สังเกตพฤติกรรมการตอบสนองของมอด และการเจาะเข้าทำลายไม้ ในการนี้ที่มอดไม่เจาะเข้าทำลายไม้ที่ใช้ทดสอบ ให้เปลี่ยนมอดตัวใหม่แทนที่มอดตัวเดิม นำกล่องทดสอบเก็บไว้ในอุณหภูมิห้อง ให้แสงสว่าง 12 ชั่วโมง ปล่อยให้แมลงทำลายไม้ 3 สัปดาห์ ตรวจสอบการมีชีวิตโดยการดูขีุยที่มอดขับออกมากจากปาก Ruthraух วันในเวลา 15 นาฬิกา เมื่อครบกำหนด รวมรวมขีุยที่มอดขับออกมาและคำนวณอุดหนักเพื่อนำขีุยที่หลงเหลือในรูออกมากให้หมด นำขีุยและไม้มาอบแห้งจนน้ำหนักคงที่ (ที่ระดับความชื้นประมาณ 8%) แล้วซึ่งน้ำหนักไม้เพื่อวัดน้ำหนักไม้ที่มอดทำลายหรือกินเป็นอาหาร เพื่อวัดอัตราการกินของมอด นำค่าน้ำหนักแห้งของไม้ที่มอดเข้าทำลายมาวิเคราะห์ความแปรแปลงด้วย LSD-test และนำน้ำหนักแห้งของไม้ที่มอดเข้าทำลายในแต่ละพันธุ์ไปเคราะห์สัมประสิทธิ์สหสัมพันธ์กับปริมาณแป้ง ลิกนิน และสารแทรกในเนื้อไม้ด้วย Pearson's correlation

4.3.3.2 การทดสอบอิทธิพลของพันธุ์ไม้ยังพาราต่อความชอบในการเข้าทำลายของมอด *Sinoxylon analis* โดยใช้การทดลองแบบหลายตัวเลือก (Multiple choices test)

ก. การทดลองแบบที่ 1 ทดสอบพันธุ์ของไม้ยังพาราพันธุ์แรกที่มอดเลือกเคลื่อนที่เข้าหา

การทดลองทำเช่นเดียวกับการทดลองในข้อ 3.1 แต่จะใช้ไม้ที่ทดสอบผิวชุ่มชื้น 3 ชิ้นต่างพันธุ์แทนที่จะเป็นไม้พันธุ์เดียวกันผิวเรียบและผิวชุ่มชื้น ให้ไม้ 3 พันธุ์ได้แก่ RRIM600 PB235 และ PARA จำนวนพันธุ์ละ 3 ชิ้น โดยไม่ที่ใช้ทดสอบในแต่ละชิ้นนำมาจากต้นยางพาราต้นที่ 1-3 ในแต่ละพันธุ์ การวางไม้ในแต่ละชิ้นวางโดยวิธีสับเปลี่ยนเพื่อป้องกันการเลือกไม้แบบสุ่มของแมลงที่เคลื่อนที่ไปในทางใดทางหนึ่ง เช่น ทางด้านขอบของกล่องทดลองเพียงอย่างเดียว (ภาพที่ 4 b, c) นำมอด *S. analis* ตัวเดิมวัยที่ใช้ในการทดสอบวางแผนบริเวณปลายอีกด้านหนึ่งของกล่องทดสอบ 15 ตัวในแต่ละชิ้น โดยปล่อยแมลง 5 ครั้งครั้งละ 3 ตัวเพื่อไม่ให้แมลงหนาแน่นมากจนเกินไป เนื่องจากแมลงชนิดนี้มีพฤติกรรมหวงดินและป้องกันการเข้ามาบริเวณที่มอดยึดครองจากมอดตัวอื่นๆ ทำการบันทึกพันธุ์ของไม้ยังพาราที่มอดแต่ละตัวเคลื่อนที่เข้าหาเป็นชิ้นแรก นำจำนวนมอด

ที่เข้าหาไม้ย่างพาราในแต่ละพันธุ์มีความต่อความแปรปรวนทางสถิติและเปรียบเทียบค่าเฉลี่ยระหว่างทวีท เมนต์โดยวิธี โดยการวิเคราะห์ความแปรปรวนทางเดียว ด้วย LSD tests



ภาพที่ 4 กล่องพลาสติกกลมขนาดเส้นผ่านศูนย์กลาง 12 เซนติเมตร ที่ใช้ในการทดสอบความชอบ แบบไม่มีตัวเลือก (No choice test) (a) และกล่องที่ใช้ทดสอบความชอบวิธี Multiple choices test ขนาดกล่อง 17x12x6 เซนติเมตร (b.) และ (c.) (หมายเลข 1 แสดงจุดตั้งไม้ย่างพาราแต่ละพันธุ์ หมายเลข 2 จุดปล่อยแมลง)

๔. การทดลองที่ 2 ทดสอบพันธุ์ของไม้ย่างพาราพันธุ์ที่มอดเข้าทำลาย

เนื่องจากจากการสังเกตพฤติกรรมการเลือกไม้ที่เข้าทดสอบของมอดพบว่า มอดส่วนใหญ่จะสำรวจไม้เก็บทุกชิ้นที่วางไว้สำหรับทดสอบ หลังจากนั้นจึงค่อยเริ่มการเจาะเข้าทำลายไม้ จึงมีความเป็นไปได้สูงที่มีที่มอดเคลื่อนที่เข้าหาเป็นครั้งแรกเป็นคนละชิ้นหรืออีกนัยหนึ่งคนละพันธุ์กับชิ้นที่มอดเลือกเข้าทำลาย

ทำการทดลองโดยใช้ไม้ย่างพาราตัดขนาด $2.5 \times 5 \times 2$ ลูกบาศก์เซนติเมตร จำนวน 5 ชิ้น ในแต่ละพันธุ์ (ต้น) และ 5 ตัวอย่างย่อยในแต่ละต้นรวม 25 ตัวอย่างย่อยในแต่ละพันธุ์ การทดลองทำเช่นเดียวกับการทดลองที่ 1 โดยปล่อยแมลง 1 ตัวต่อนึงกล่องการทดลอง เพื่อให้แมลงสามารถเลือกชิ้นไม้ที่ใช้ทดสอบทั้งสามชิ้นได้อย่างอิสระ ประสาจาก การแข่งขันระหว่างแมลง เนื่องจากการสังเกตพบว่า แมลงมีการแข่งขันและต่อสู้เพื่อป้องกันชิ้นไม้หรือถินที่อยู่อาศัยอย่างรุนแรงเมื่อไม่ที่ใช้ทดสอบที่มีขนาดเล็ก หรือเมื่อแมลงเคลื่อนที่มาพบรักน โดยเฉพาะอย่างยิ่งแมลงเพศเดียวกัน หลังจากปล่อยแมลงแล้วทิ้งไว้ 24 ชั่วโมง ทำการตรวจสอบการเข้าทำลายของมอดเมื่อครบ 24 ชั่วโมงและบันทึกพันธุ์ของไม้ย่างพาราที่มอดเข้าทำลาย ในกรณีที่แมลงไม่เข้าทำลายชิ้นไม้ ทำการเปลี่ยนมอดตัวใหม่จนกว่ามอดจะเข้าทำลายชิ้นไม้ที่ใช้ทดสอบและบันทึกการเข้าทำลาย นำจำนวนมอดที่เข้าทำลายไม้ย่างพาราแต่ละพันธุ์ไปวิเคราะห์ความแปรปรวน และเปรียบเทียบค่าเฉลี่ยระหว่างทวีท เมนต์โดยวิธี เดียวด้วย LSD test

4.3.3.3 การทดสอบอิทธิพลของพันธุ์ไม้ยังพาราต่อความชอบในการเข้าทำลายของมดชี้ชูย (Coleoptera: Bostrichidae) ในสภาพแวดล้อมธรรมชาติ

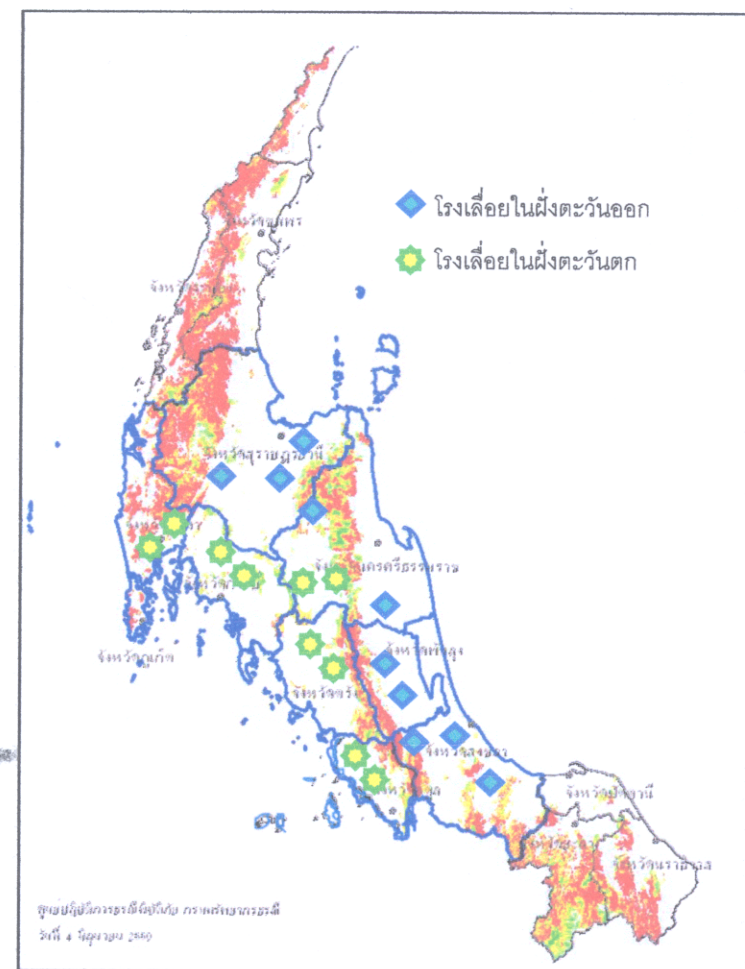
ให้ไม้ยังพาราพันธุ์หลักสองพันธุ์ได้แก่ พันธุ์ RRIM600 และ PB235 มาทดสอบความชอบในการเข้าทำลายของมดในพื้นที่จริงในโรงเลือย โดยใช้ไม้ยังพาราแบบรูปขนาด $10 \times 50 \times 3$ ลูกบาศก์เซนติเมตร พันธุ์ละ 20 ชิ้น เลือกโรงเลือยที่เป็นตัวแทนในพื้นที่ศึกษาแต่ละฝั่งๆ ละ 4 โรง โดยภาคใต้ผ่านตะวันออกเลือกโรงเลือยในจังหวัดสุราษฎร์ธานี และจังหวัดสงขลา ภาคใต้ผ่านตะวันตกเลือกจังหวัดพังงาและจังหวัดสตูล โดยเลือกจังหวัดละ 2 โรง ทำการทดลองในช่วงเดือนมีนาคม 2551 ระยะเวลา 1 เดือน วางแผนไม้ยังพาราแบบรูปที่ใช้ทดสอบในโรงเลือยพันธุ์ละ 5 ชิ้นโดยวางแผนลับพันธุ์ในโรงเรือนเพื่อป้องกันไม้ให้ไม้ได้รับน้ำฝนโดยตรง หลังจากครบกำหนด นำไม้มานับจำนวนร่องรอยการเข้าทำลายของมดเพื่อเบรียบเทียบความชอบในการเข้าทำลาย นำจำนวนร่องรอยการเข้าทำลายเฉลี่ยของมดในไม้ยังพาราแต่ละพันธุ์มาคำนวณความแตกต่างทางสถิติด้วย Independent sample t-test

5. ผลการทดลอง

5.1 ความหลากหลายทางชนิดของมอดไม้ที่เข้าทำลายไม้ยังพาราประภูปในภาคใต้

5.1.1 ลักษณะภูมิประเทศของพื้นที่ศึกษา

พื้นที่ศึกษาประกอบ 8 จังหวัดภาคใต้ ฝั่งตะวันออกและฝั่งตะวันตก ฝั่งละ 4 จังหวัด ฝั่งตะวันออกประกอบด้วย จังหวัดสุราษฎร์ธานี นครศรีธรรมราช พัทลุง และสงขลา ส่วนฝั่งตะวันตกได้แก่ จังหวัด พังงา กระบี่ นครศรีธรรมราช (อ. ทุ่งสง และ อ. ทุ่งใหญ่) ตรัง และสตูล ดังแสดงในภาพที่ 5



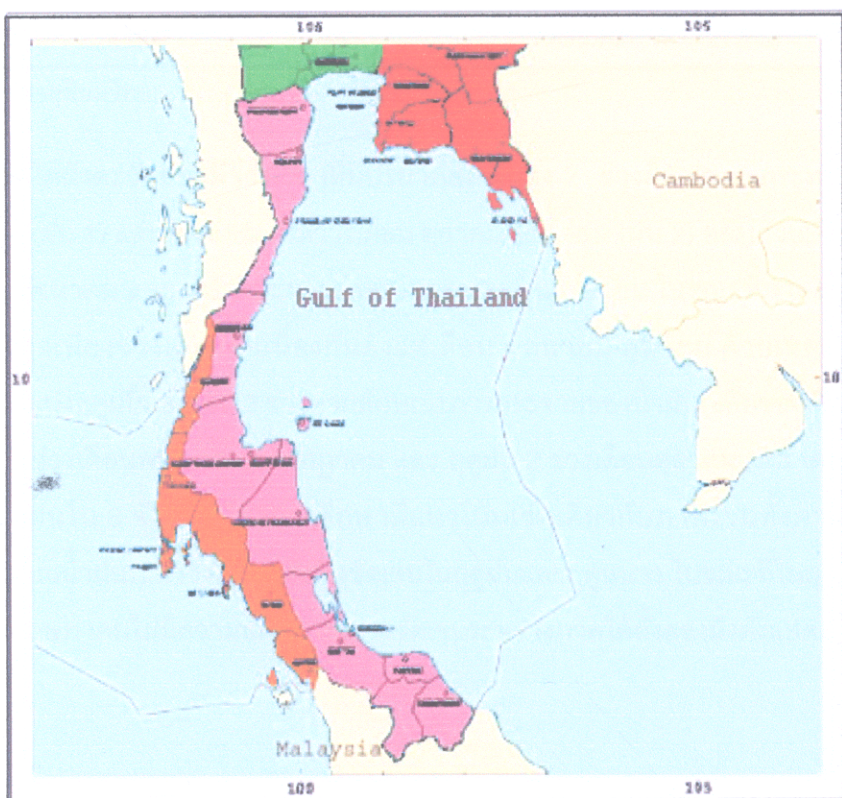
ภาพที่ 5 แสดงลักษณะภูมิประเทศของพื้นที่ศึกษา 8 จังหวัดภาคใต้ ผ่านทางออก จากจังหวัดสุราษฎร์ธานี- จังหวัดสงขลา ผ่านทางจากจังหวัดพัทุมธานี – จังหวัดสตูล ฯด และ แสดงที่ตั้งโดยสังเขปของโรงเรียนที่ สูง เข้าสู่ราชวรวิหาร

ที่มา: ดัดแปลงจาก กรมธรณี (2550)

พื้นที่ศึกษามีลักษณะเป็นที่ราบชายฝั่งทะเล มีแนวทิวเขากันระหว่างสองฝั่งในแนวเหนือ-ใต้ บริเวณตอนบนของจังหวัดสุราษฎร์ธานี คั่นด้วยทิวเขาภูเก็ต บริเวณตอนล่างของจังหวัดสุราษฎร์ธานี และพื้นที่ศึกษาส่วนที่เหลือมีทิวเขานครศรีธรรมราชเป็นแนวกัน แบ่งพื้นที่ศึกษาออกเป็นสองส่วน คือที่ราบชายฝั่งทะเล ด้านตะวันออกซึ่งติดกับอ่าวไทยมีอาณาเขตกว้างขวาง และด้านตะวันตกเป็นที่ราบแคบทกว่าด้านตะวันออกมีอาณาเขตติดกับทะเลอันดามัน (ภาพที่ 5)

5.1.2 ลักษณะภูมิอากาศของพื้นที่ศึกษา

ลักษณะภูมิประเทศที่เป็นคาบสมุทร การวางแผนด้วยแนวเทือกเขาในทิศทางเหนือ-ใต้ และ อิทธิพลของลมมรสุม (ลมมรสุมตะวันตกเฉียงใต้ และลมมรสุมตะวันออกเฉียงเหนือ) ทำให้ลักษณะภูมิอากาศโดยเฉพาะอย่างยิ่งปริมาณและการกระจายของน้ำฝน ระหว่างภาคใต้ฝั่งตะวันออกและภาคใต้ฝั่งตะวันตกแตกต่างกันอย่างชัดเจน สอดคล้องกับลักษณะการแบ่งเขตภูมิอากาศของกรมอุตุนิยมวิทยาที่แบ่งภาคใต้ออกเป็นสองเขตภูมิอากาศย่อย (กรมอุตุนิยมวิทยา, ม.ป.บ.) ดังแสดงในภาพที่ 6



ภาพที่ 6 การแบ่งภาคทางอุตุนิยมวิทยาในพื้นที่ภาคใต้ของไทย ภาคใต้ฝั่งตะวันออกประกอบด้วย จังหวัดเพชรบุรี-นราธิวาส ภาคใต้ฝั่งตะวันตกดังแต่จังหวัดระนอง-จังหวัดสตูล
ที่มา: ตัดแปลงจากการอุตุนิยมวิทยา (ม.ป.บ.)

5.1.2.1 ปริมาณและการกระจายของน้ำฝน

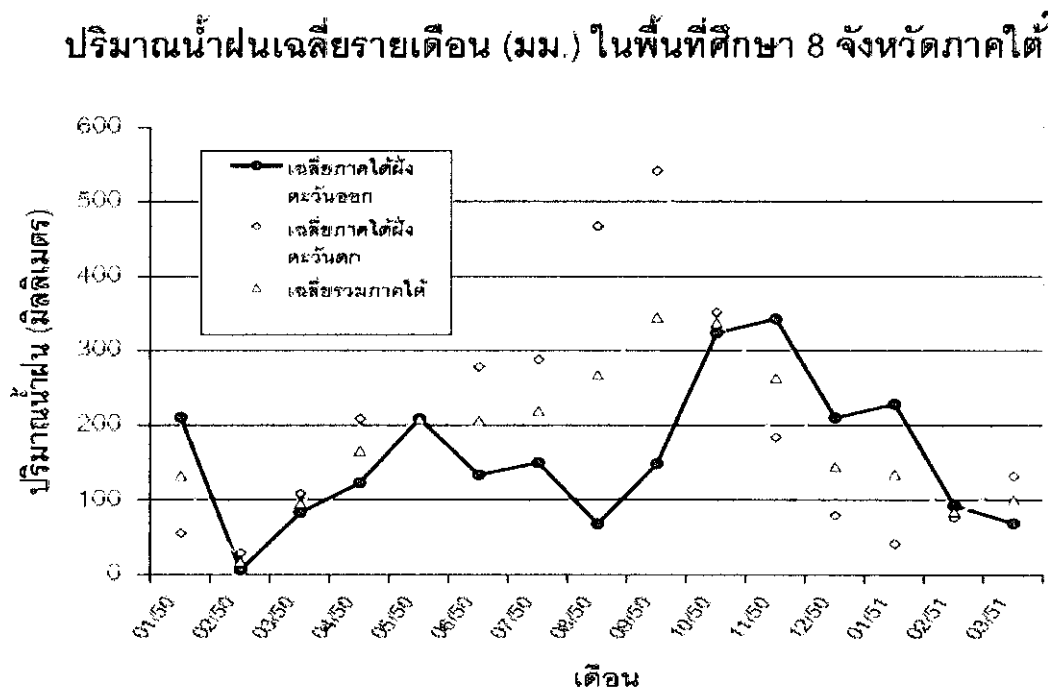
พื้นที่ภาคใต้มีผ่านตกลอดหั้งปีโดยผู้ดูแลวันตกลมีปริมาณน้ำฝนมากกว่าภาคใต้ผู้ดูแลวันออก หั้นนี้เนื่องจากอิทธิพลของลมมรสุม และลักษณะภูมิประเทศดังที่กล่าวข้างต้น ปริมาณน้ำฝนเฉลี่ยหั้งปีในภาคใต้ผู้ดูแล 1,716.2 มิลลิเมตร มีผ่านตกลูกในฤดูฝน และฤดูหนาว (ฤดูฝนช่วงที่ 2 ในภาคใต้) ส่วนภาคใต้ผู้ดูแล ผู้ดูแลวันตกลมีปริมาณน้ำฝนเฉลี่ยตกลอดหั้งปี 2,725.3 มิลลิเมตร มีผ่านตกลูกในฤดูฝนมากกว่าภาคใต้ผู้ดูแล ภาคประมานสองเท่า (ตารางที่ 5)

ตารางที่ 5 ปริมาณน้ำฝนเฉลี่ยและการกระจายของน้ำฝนในแต่ละฤดูในพื้นที่ภาคใต้

บริเวณ	ปริมาณน้ำฝนเฉลี่ย (มิลลิเมตร)					วันที่มีฝนตก	
	ฤดูฝน 2		ฤดูร้อน	ฤดูฝน 1			
	กลางตุลาคม-	กลางกุมภาพันธ์-	กลางเมษายน-กลาง	รวม			
	กลางกุมภาพันธ์	กลางเมษายน	ตุลาคม				
ภาคใต้ฝั่งตะวันออก	759.3	249.6	707.3	1716.2	148		
ภาคใต้ฝั่งตะวันตก	445.9	383.7	1,895.70	2725.3	176		

ที่น้ำ อีกแบบ กลางวัน ก็จะเขยบบินเวิ้งๆ

ในพื้นที่ภาคใต้ฝั่งตะวันออกมีช่วงเวลาที่มีปริมาณน้ำฝนสูง 2 ช่วงคือ ช่วงแรกระหว่างเดือนกันยายน-กรกฎาคม (ฝน 1) และช่วงที่สองระหว่างเดือนตุลาคม-มกราคม (ฝน 2) สลับด้วยเดือนที่มีปริมาณน้ำฝนน้อย ในเดือนสิงหาคม และฤดูร้อนระหว่างกลางมกราคม-ต้นเมษายน ในขณะที่ภาคใต้ฝั่งตะวันตกมีช่วงที่มีปริมาณฝนสูงเพียงช่วงเดียวต่อเนื่องกันตั้งแต่เดือนมิถุนายน-ตุลาคม ด้วยเหตุผลดังกล่าวในการศึกษาครั้งนี้จึงได้แบ่งฤดูฝนออกเป็น 2 ช่วงตามลักษณะการกระจายของน้ำฝนเฉลี่ยของทั้งสองฝั่งในรอบปี กล่าวคือ ฤดูฝน 1 ช่วงเดือนพฤษภาคม-กรกฎาคม และ ฤดูฝน 2 ช่วงเดือนตุลาคม-มกราคม ปริมาณและ การกระจายของน้ำฝนใน 8 จังหวัดที่ทำการศึกษามีแนวโน้มเข่นเดียวกับภาพรวมทั้งภาค โดยมีความแตกต่างกันของปริมาณน้ำฝนระหว่างสองฝั่งอย่างชัดเจนในฤดูฝนและฤดูหนาว ในขณะที่ในฤดูร้อนช่วงเดือนกุมภาพันธ์ถึงเดือนพฤษภาคมไม่มีความแตกต่างอย่างชัดเจนระหว่างภาคใต้ทั้งสองฝั่งแสดงในภาพที่ 7



ภาพที่ 7 ค่าเฉลี่ยของปริมาณน้ำฝนเฉลี่ยรายเดือนปี 2550-2551 ของพื้นที่ศึกษา ภาคใต้ฝั่งตะวันออก
สุราษฎร์ธานี นครศรีธรรมราช พัทลุง สงขลา และภาคใต้ฝั่งตะวันตก พังงา กระบี่ ตรัง และสตูล
ที่มา: ดัดแปลงจาก กรมอุตุนิยมวิทยา (ติดต่อส่วนตัว)

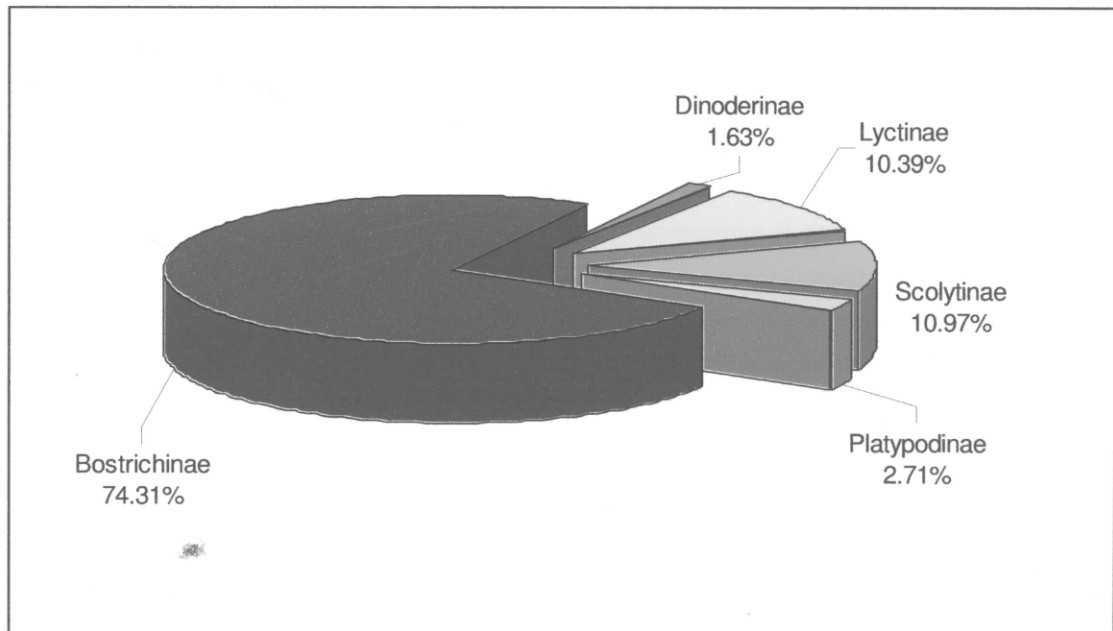
5.1.2.2 อุณหภูมิและความชื้นสัมพันธ์

พื้นที่ภาคใต้ตั้งอยู่ในเขตโภนร้อน ถูกขวางบดวายทะเลทั้งสองด้าน ทำให้ภาคใต้ทั้งสองฝั่งมีอุณหภูมิและระดับความชื้นสัมพัทธ์สูงตลอดทั้งปี และมีความแตกต่างระหว่างฤดู และระหว่างกลางวันและกลางคืน ต่ำ โดยในปี พ.ศ. 2550 มีอุณหภูมิเฉลี่ยตลอดทั้งปี 27.30 ± 0.67 องศาเซลเซียส ความชื้นสัมพัทธ์เฉลี่ยตลอดทั้งปี 81 ± 3 เปอร์เซ็นต์ โดยภาคใต้ฝั่งตะวันตกมีความชื้นสัมพัทธ์เฉลี่ยต่ำสุด 70.5 ± 3.8 เปอร์เซ็นต์ ในเดือนกุมภาพันธ์ และฝั่งตะวันออก 77 เปอร์เซ็นต์ ในเดือนมีนาคม และเดือนสิงหาคม และภาคใต้ฝั่งตะวันตก มีความชื้นสัมพัทธ์เฉลี่ยสูงสุด 86.5 ± 7.5 เปอร์เซ็นต์ ในเดือนตุลาคม ฝั่งตะวันออก 85.0 ± 2.9 เปอร์เซ็นต์ ในเดือนตุลาคม เช่นเดียวกัน

5.1.3 ชนิดของมอดที่เข้าทำลายไม้ยางพาราในปรูป

ผลจากการสำรวจแมลงชนิดที่เข้าทำลายไม้ย่างพาราเปรูรูปในโรงเลี้ยงเปรูรูปไม้ย่างพาราพื้นที่ 8 จังหวัดภาคใต้ ตั้งแต่จังหวัดสุราษฎร์ธานี-สงขลาในฝั่งตะวันออก และฝั่งตะวันตกตั้งแต่จังหวัดพังงา-สตูล

จำนวน 3 ครั้ง ในเดือนกรกฎาคม พฤศจิกายน พ.ศ. 2550 และ เดือนมีนาคม พ.ศ. 2551 พบมอดจำนวน 22 ชนิดใน 15 สกุล จาก 2 วงศ์ได้แก่ วงศ์ Bostrichidae และ วงศ์ Curculionidae (เฉพาะวงศ์ย่อย Platypodinae, Scolytinae) มอดขี้ขุยในวงศ์ Bostrichidae พบ 9 ชนิดแบ่งเป็นมอดในวงศ์ย่อย Bostrichinae 5 ชนิด Dinoderinae 1 ชนิด และ Lyctinae 3 ชนิด และมอดในวงศ์ Curculionidae 13 ชนิด แบ่งเป็นมอดในวงศ์ย่อย Platypodinae 5 ชนิด และวงศ์ย่อย Scolytinae 8 ชนิด สัดส่วนของมอดที่พบในแต่ละวงศ์ย่อยแสดงในภาพที่ 8 การสำรวจครั้งนี้พบมอดชนิดที่รายงานในประเทศไทยเป็นครั้งแรก (New record species) จำนวน 4 ชนิด แบ่งเป็นวงศ์ Bostrichidae วงศ์ย่อย Lyctinae 3 ชนิด ได้แก่ *Cephalotoma tonkinea* Lesne *Lyctoxylon dentatum* (Pascoe) และ *Minthea reticulata* Lesne และวงศ์ Curculionidae วงศ์ย่อย Scolytinae 1 ชนิดคือ *Euwallacea interjectus* (Blandford) การศึกษาพบ มอดชนิดที่มีรายงานการเข้าทำลายไม้ย่างพาราเป็นครั้งแรกของไทยจำนวน 14 ชนิดและมอดชนิดที่มีรายงานการเข้าทำลายไม้ย่างพาราในประเทศไทยแล้ว 8 ชนิดดังแสดงในตารางที่ 6 และ ภาพที่ 9 และ 10



ภาพที่ 8 จำนวนมอดของมอดในวงศ์ย่อยต่างๆ คิดเป็นเปอร์เซ็นต์ของมอดทั้งหมดที่เข้าทำลายไม้ย่างพารา ประวูปในพื้นที่ 8 จังหวัดภาคใต้ วงศ์ย่อย Bostrichinae Dinoderinae และ Lyctinae จัดอยู่ในวงศ์ Bostrichidae วงศ์ย่อย Platypodinae, Scolytinae จัดอยู่ในวงศ์ Curculionidae

ตารางที่ 6 ชนิดของมอดที่เข้าทำลายไม้ย่างพาราแปรรูปจากการสำรวจในพื้นที่ 8 จังหวัดภาคใต้ ระหว่างเดือนกรกฎาคม พ.ศ. 2550 – มีนาคม พ.ศ. 2551

Family	Subfamily	Tribe	Genus	Species
Bostrichidae (วงศ์มอดชี้ชูย)	Bostrichinae	Bostrichini	<i>Heterobostrychus</i>	<i>Heterobostrychus aequalis</i> (Waterhouse)
		Sinoxylini	<i>Sinoxylon</i>	<i>Sinoxylon anale</i> Lesne <i>Sinoxylon unidentatum</i> (Fabricius)†
		Xyloperthini	<i>Xylopsocus</i>	<i>Xylopsocus capucinus</i> (Fabricius)†
			<i>Xylothrips</i>	<i>Xylothrips flavipes</i> (Illiger)
	Dinoderinae	-	<i>Dinoderus</i>	<i>Dinoderus minutus</i> (Fabricius)
	Lyctinae	Lyctini	<i>Lyctoxylon</i>	<i>Lyctoxylon dentalatum</i> (Pascoe)*
			<i>Minthea</i>	<i>Minthea reticulata</i> Lesne
		Trogoxylini	<i>Cephalotoma</i>	<i>Cephalotoma tonkinea</i> Lesne*
Curculionidae (วงศ์ด้วงวง)	Scolytinae	Xyleborini ¹	<i>Euwallacea</i>	<i>Euwallacea interjectus</i> (Blandford)*
			<i>Xyleborus</i>	<i>Xyleborus perforans</i> (Wollaston)† <i>Xyleborus affinis</i> Eichhoff <i>Xyleborus similis</i> † <i>Xylosandrus</i>
		Cryphalini ²	<i>Hypothenemus</i>	<i>Hypothenemus areccae</i> (Hornung) † <i>Hypothenemus eruditus</i> Westwood <i>Hypothenemus birmanus</i> †
	Platypodinae	-	<i>Crossotarsus</i>	<i>Crossotarsus externedentatus</i> (Fairmaire) †
	-		<i>Euplatypus</i>	<i>Euplatypus parallelus</i> (Fabricius)
	-		<i>Dinoplatypus</i>	<i>Dinoplatypus cupulatus</i> (Chapuis) † <i>Dinoplatypus pseudocupulatus</i> † <i>Dinoplatypus padillus</i> †

* รายงานใหม่ (new record) ของไทย, † รายงานการเข้าทำลายไม้ย่างพาราใหม่ของไทย, ¹ มอดเอมบอร์เชีย (Ambrosia beetles), ² wood boring bark beetles[§] ‡ มอดชนิดนี้รักกันแพร่หลายในข้อพ้อง *S. conigerum*

5.1.4 ความเด่นของมอดชนิดที่เข้าทำลายไม้ย่างพาราแปรรูปในพื้นที่ภาคใต้

ผลการสุ่มเก็บตัวอย่างพบมอดทั้งสิ้น 10,948 ตัว จัดเป็นมอดในกลุ่มมอดชี้ชูยในวงศ์ Bostrichidae มากที่สุด จำนวน 9,450 ตัว คิดเป็น 86.32 เปอร์เซ็นต์ ของแมลงที่พบทั้งหมด และมอดในวงศ์ Curculionidae จำนวน 1,498 ตัว คิดเป็น 13.68 เปอร์เซ็นต์ ของแมลงที่พบทั้งหมด

[§] การแบ่งกลุ่มของแมลงที่เข้าทำลายไม้ย่างพาราเพิ่มเติมในหัวข้อ “กลุ่มของมอดที่เข้าทำลายไม้ย่างพาราแปรรูป”

มอดที่พบทั้ง 22 ชนิดสามารถแบ่งออกเป็น 3 กลุ่ม ตามปริมาณที่พบคร่าวๆ ออกเป็นสามระดับได้แก่ มอดที่พบในปริมาณมาก หรือมอดชนิดหลัก (key species) มอดชนิดที่พบในปริมาณปานกลาง หรือมอดชนิดรอง (minor species) และมอดที่พบปริมาณเล็กน้อย วงศ์ Bostrichidae มีมอดที่จัดเป็น ชนิดหลัก 2 ชนิดได้แก่ *Sinoxylon anale* Lesne (39.56 เปอร์เซ็นต์) และ *Sinoxylon unidentatum* (Fabricious) (= *S. conigerum* Gerstaecker) (18.09 เปอร์เซ็นต์) ชนิดรอง 2 ชนิดได้แก่ *Heterobostrychus aequalis* (Waterhouse) (9.86 เปอร์เซ็นต์) และ *Lyctoxylon dentatum* (Pascoe) (8.79 เปอร์เซ็นต์) และ มอดชนิดที่พบน้อย 5 ชนิดได้แก่ *Xylopsocus capucinus* (Fairmaire) (3.72 เปอร์เซ็นต์) *Xylotriips flavipes* (Illiger) (3.08 เปอร์เซ็นต์) *Dinoderus minutus* (Fabricius) (1.63%) *Minthea reticulata* Lesne (1.48 เปอร์เซ็นต์) และ *Cephalotoma tonkinea* Lesne (0.12 เปอร์เซ็นต์) ตามลำดับ (ตารางที่ 7)

วงศ์ย่อย Scolytinae พบ 8 ชนิด ได้แก่ *Xyleborus affinis* Eichhoff (3.96 เปอร์เซ็นต์) *Hypothenemus eruditus* Westwood (3.33 เปอร์เซ็นต์) *Xyleborus perforans* (Wollaston) (2.28%) *Xyleborus similis* Ferrari 1.18 เปอร์เซ็นต์) *Xylosandrus crassiusculus* (Motschulsky) (0.11%) *Hypothenemus areccae* Hornung (0.05 เปอร์เซ็นต์) *Hypothenemus birmanus* (Eichhoff) (0.04 เปอร์เซ็นต์) และ *Euwallacea interjectus* Eggers (0.02 เปอร์เซ็นต์)

เมื่อพิจารณาแมลงที่เข้าทำลายไม้ยางพาราแบบรูปแบบพื้นที่ศึกษาภาคใต้ผ่านวันออกและผ่าน ตะวันตก พบว่า มอดชี้ชุยในวงศ์ Bostrichidae ทุกชนิดพบทั้งสองพื้นที่ศึกษา ในขณะที่มอดเง่อนบอร์เชีย และ Wood boring bark beetles 6 ชนิดจาก 13 ชนิด พบในพื้นที่ได้พื้นที่หนึ่งโดยเฉพาะได้แก่ *Dinoplatypus cupulatus* และ *Dinoplatypus padillus* พบเฉพาะผ่านวันออก ในขณะที่ *Xylosandrus crassiusculus* *Dinoplatypus pseudocupulatus* *Crossotarsus externedentatus* และ *Hypothenemus birmanus* พบ เฉพาะผ่านวันตก

จำนวนตัวของแมลงรวมในแต่ละพื้นที่ศึกษามีความแตกต่างกันไม่มาก ในพื้นที่ภาคใต้ผ่านวันออก พบแมลงทั้งสิ้น 5,288 ตัว คิดเป็น 48.30 เปอร์เซ็นต์ ของมอดที่พบทั้งหมด โดยพบมอดสองชนิดที่มีปริมาณมากที่สุดและมีจำนวนใกล้เคียงกันได้แก่ *S. anale* 30.81 เปอร์เซ็นต์ และ *S. unidentatum* 30.41 เปอร์เซ็นต์ ของมอดที่พบในพื้นที่ผ่านวันออก ส่วนพื้นที่ผ่านวันตก พบมอดมากกว่าพื้นที่ผ่านวันออก เล็กน้อยโดยพบมอดทั้งสิ้น 5,660 ตัวคิดเป็น 51.70 เปอร์เซ็นต์ ของมอดที่พบทั้งหมด ในผ่านวันนี้พบมอดชนิดหลักเพียงชนิดเดียวคือ *S. anale* คิดเป็น 47.74 เปอร์เซ็นต์ ของมอดที่พบในผ่านวันนี้ (ตารางที่ 7 และ ภาพที่ 9)

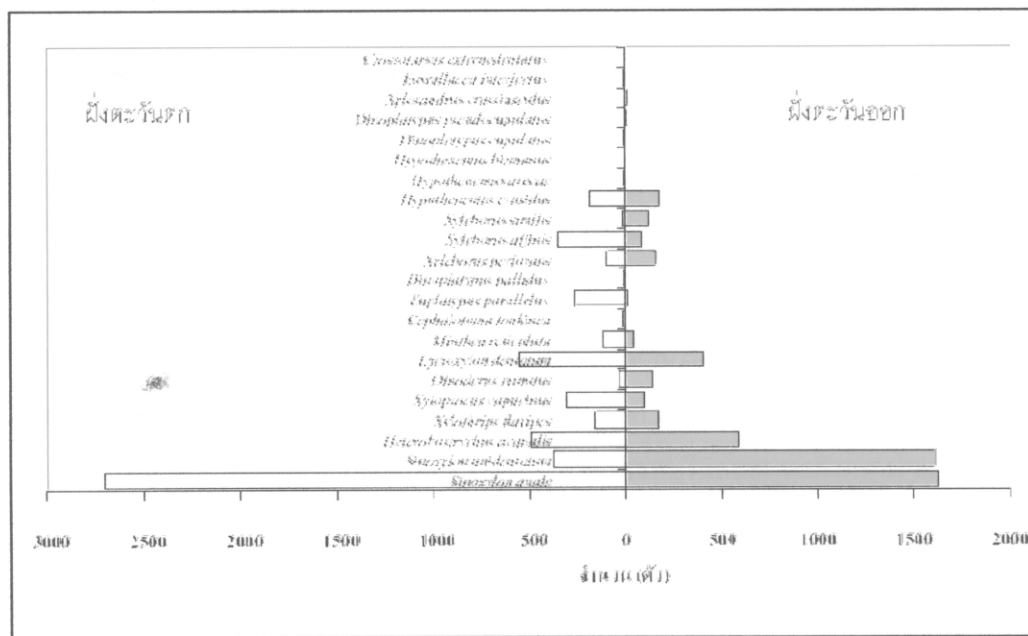
ผลการศึกษาพบมอดที่มีแนวโน้มพบมากเฉพาะพื้นที่ได้แก่ *S. unidentatum* ที่พบกระจายมากทางภาคใต้ผ่านวันออกโดยพบมอดชนิดนี้ในผ่านวันออกรวมจากการเก็บตัวอย่าง 3 ครั้ง จำนวน 1,608 ตัว คิดเป็น 81.17 เปอร์เซ็นต์ ของมอดชนิดนี้ทั้งหมด ในขณะที่ในผ่านวันตกพบมอดชนิดนี้เพียง 373 ตัวหรือ 18.83 เปอร์เซ็นต์ ของมอดที่พบทั้งหมด และพบมอดอีก 3 ชนิด ที่มีแนวโน้มพบมากในพื้นที่ภาคใต้ผ่านวันตกได้แก่ *X. affinis* E. parallelus และ *X. capucinus* (ภาพที่ 9)

ตารางที่ 7 จำนวนและเปอร์เซ็นต์ของแมลงที่พบเข้าทำลายไม้ย่างพาราแปรรูปในพื้นที่ภาคใต้ แยกตามพื้นที่ศึกษาและรวมพื้นที่ภาคใต้ สำรวจระหว่างเดือน กรกฎาคม 2550 – มีนาคม 2551

ลำดับ	Taxa	ภาคใต้ฝั่งตะวันออก		ภาคใต้ฝั่งตะวันตก		รวมภาคใต้	
		จำนวน (ตัว)	%	จำนวน (ตัว)	%	จำนวน (ตัว)	%
Bostrichidae							
1	<i>Sinoxylon anale</i>	1629	14.88	2702	24.68	4331	39.56
2	<i>Sinoxylon unidentatum</i>	1608	14.69	373	3.41	1981	18.09
3	<i>Heterobostrychus aequalis</i>	589	5.38	490	4.48	1079	9.86
4	<i>Lyctoxylon dentalatum</i>	408	3.73	554	5.06	962	8.79
5	<i>Xylopsocus capucinus</i>	99	0.90	308	2.81	407	3.72
6	<i>Xylotriips flavipes</i>	176	1.61	161	1.47	337	3.08
7	<i>Dinoderus minutus</i>	142	1.30	36	0.33	178	1.63
8	<i>Minthea reticulata</i>	46	0.42	116	1.06	162	1.48
9	<i>Cephalotoma tonkinea</i>	2	0.02	11	0.10	13	0.12
รวม Bostrichidae		4699	42.92	4751	43.40	9450	86.32
Curculionidae							
10	<i>Xyleborus affinis</i>	85	0.78	348	3.18	433	3.96
11	<i>Hypothenemus erusidus</i>	182	1.66	183	1.67	365	3.33
12	<i>Euplatypus parallelus</i>	12	0.11	268	2.45	280	2.56
13	<i>Xyleborus perforans</i>	154	1.41	96	0.88	250	2.28
14	<i>Xyleborus similis</i>	122	1.11	7	0.06	129	1.18
15	<i>Xylosandrus crassiusculus</i>	12	0.11	-	-	12	0.11
16	<i>Dinoplatypus pseudocupulatus</i>	7	0.06	-	-	7	0.06
17	<i>Hypothenemus areccae</i>	5	0.05	1	0.01	6	0.05
18	<i>Crossotarsus externedentatus</i>	5	0.05	-	-	5	0.05
19	<i>Hypothenemus birmanus</i>	4	0.04	-	-	4	0.04
20	<i>Dinoplatypus cupulatus</i>	0	0.00	3	0.03	3	0.03
21	<i>Dinoplatypus padillus</i>	0	0.00	2	0.02	2	0.02
22	<i>Euwallacea interjectus</i>	1	0.01	1	0.01	2	0.02
รวม Curculionidae		589	5.38	909	8.30	1498	13.68
รวม		5288	48.30	5660	51.70	10948	100

ชนิดของมอดชี้ชุยในวงศ์ Bostrichidae ที่พบเข้าทำลายไม้ย่างพาราแปรรูปในพื้นที่ภาคใต้ส่วนใหญ่เป็นรายงานมอดที่เข้าทำลายไม้ย่างพาราใหม่ในประเทศไทยซึ่งแตกต่างจากรายงานก่อนหน้านี้ ที่รายงานโดย Hutacharern และ Tablim (1995) แต่จะสอดคล้องกับผลการสำรวจแมลงทำลายไม้ย่างพาราแปรรูป

ในพื้นที่ภาคตะวันออกและพื้นที่รอบอ่าวไทยโดย Sittichaya และ Beaver (2009) ที่สำรวจปี พ.ศ. 2551 และรายงานในประเทศไทยโดย Ho และ Hashim (1997) และ Hussein (1981) (ตารางภาคผนวกที่ 2 และ 3) โดยผลการสำรวจนี้พบมอดในวงศ์มอดชี้ขุยเพียงสามชนิดที่สอดคล้องกับรายงานของ Hutacharern และ Tabtim (1995) ได้แก่ *H. aequalis* S. analis และ *X. flavipes* มอดชี้ขุยทุกชนิดที่พบในพื้นที่ภาคใต้ยกเว้น *C. tonkinea* สอดคล้องกับชนิดที่พบในพื้นที่ภาคตะวันออก และมีมอด 3 ชนิดที่พบในพื้นที่ภาคตะวันออกแต่ไม่พบในพื้นที่ภาคใต้ ได้แก่ *L. coomani* L. *africanus* และ *L. tomentosus* โดยมอดหั้ง 3 ชนิดเป็นมอดขนาดเล็กในวงศ์ย่อย Lyctinae และพบในปริมาณเล็กน้อยหรือเป็นมอดชนิดที่เข้ามาระบาดใหม่ในประเทศไทยได้แก่ *L. tomentosus* เป็นไปได้ว่ามอดชนิดนี้อาจยังไม่กระจายมาอยู่พื้นที่ภาคใต้ มอดชนิดนี้ระบาดในพื้นที่รอบๆ ท่าเรือหลักๆ ของไทยในจังหวัดระยอง และจังหวัดสมุทรสงคราม (ท่าเรือแหลมฉบัง และ ท่าเรือกรุงเทพฯ มอดชนิดนี้มีแหล่งกระจายเดิมในเมริกากลางในประเทศไทยซึ่งก็ได้รับการนำเข้ามาในประเทศไทยโดยทางเรือและอากาศ ทำให้มีการแพร่กระจายในประเทศไทยได้เรื่อยๆ) ในส่วนของมอดชนิด *C. tonkinea* พบร่องรอยในพื้นที่ภาคใต้ แต่ไม่พบในพื้นที่ภาคตะวันออก อย่างไรก็ตาม type specimen ของมอดชนิดนี้มาจากประเทศไทยโดย Lesne (1932) เป็นไปได้ว่ามอดชนิดนี้อาจแพร่กระจายในภาคตะวันออกด้วย แต่ไม่พบจากการสำรวจเนื่องจาก การสำรวจในพื้นที่ตะวันออกเป็นการสำรวจเบื้องต้นเท่านั้น

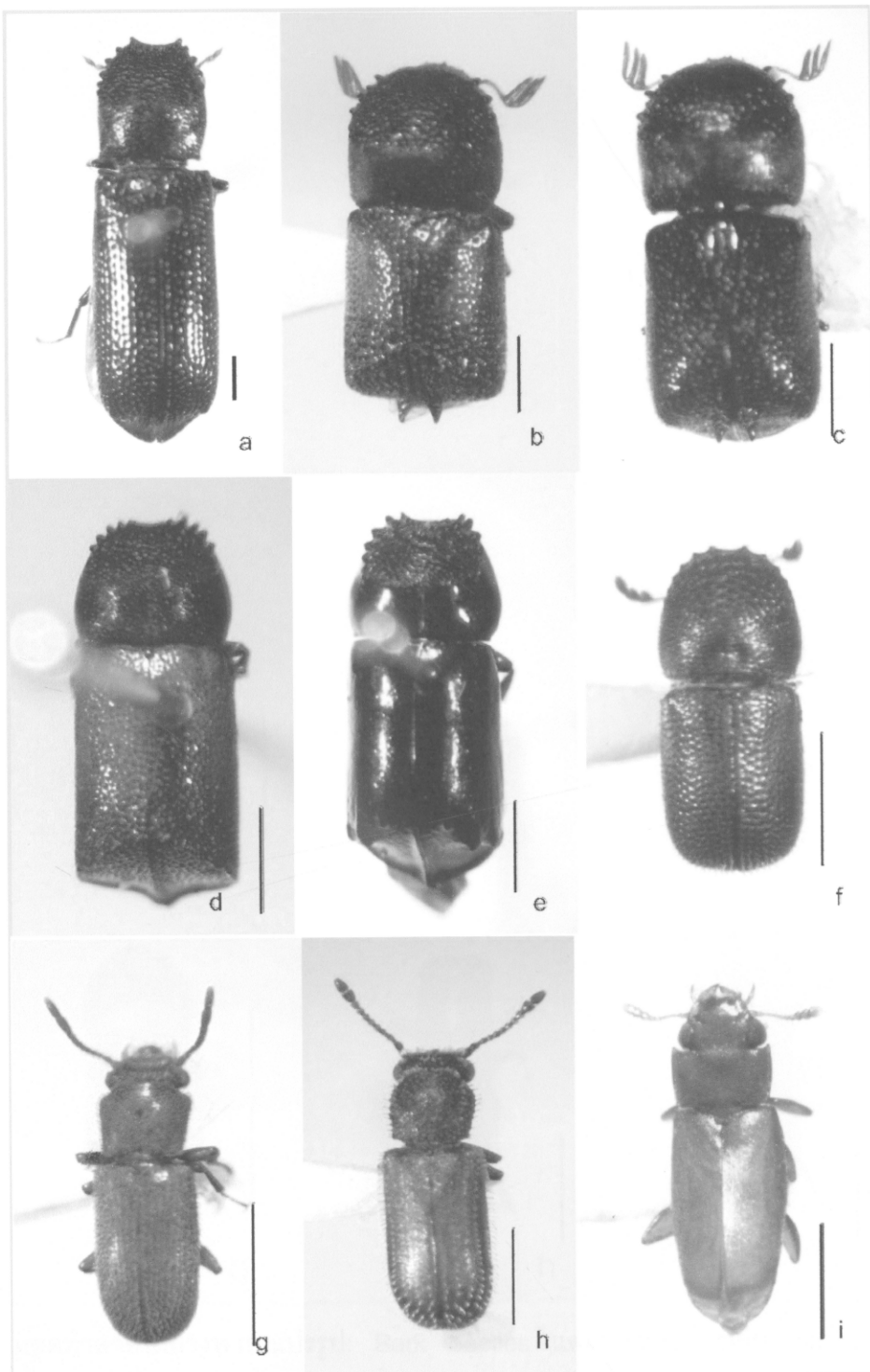


ภาพที่ 9 เปรียบเทียบจำนวนมอดแต่ละชนิดที่เข้าทำลายไม้ยางพาราและระหว่างพื้นที่ภาคใต้ผังตะวันออกและภาคใต้ผังตะวันตก

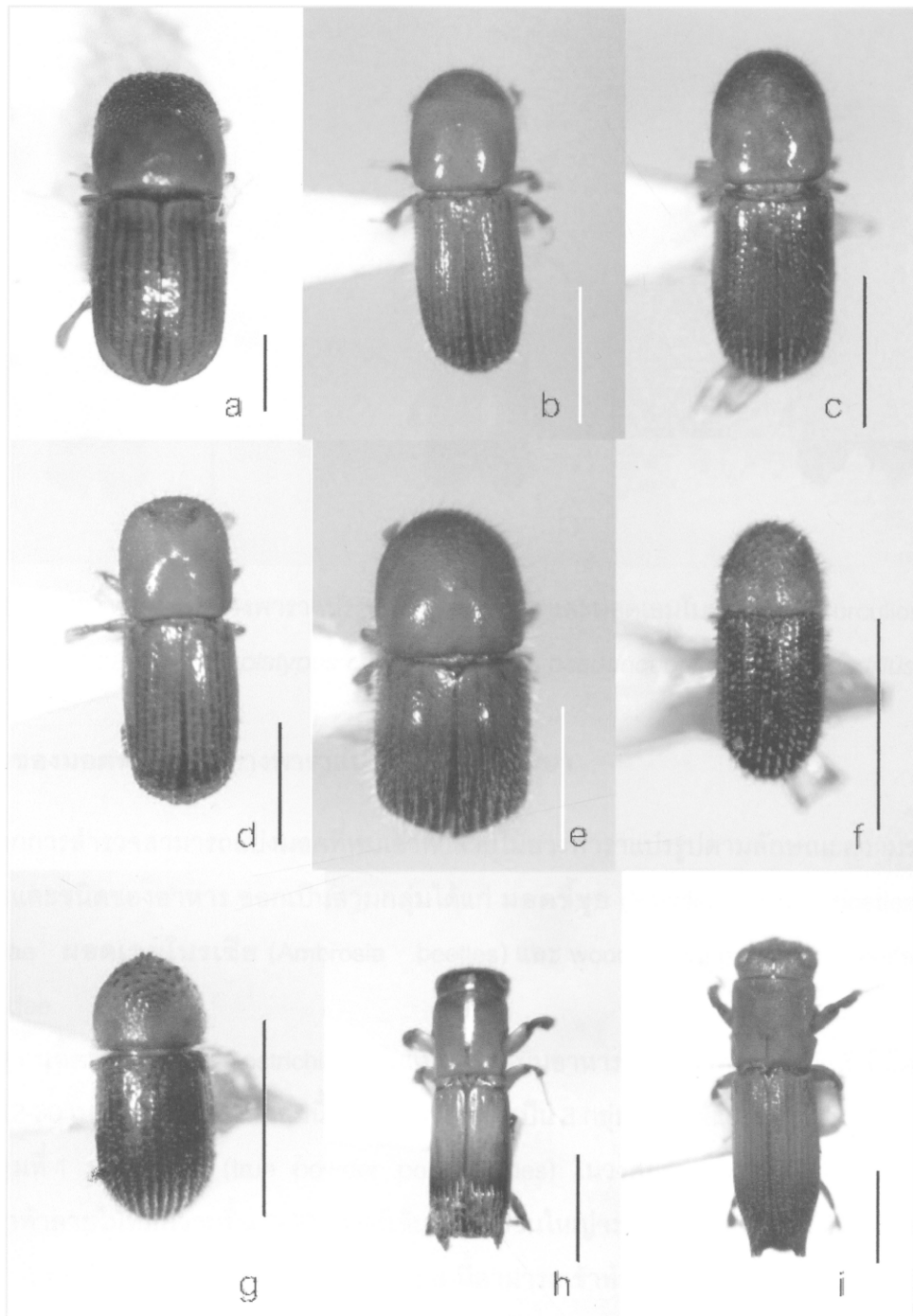
มอดเอมบอร์เชียและ wood boring bark beetles ในวงศ์ย่อย Scolytinae และ Platypodinae 10 ชนิดใน 13 ชนิดที่พบในพื้นที่ภาคใต้เป็นรายงานเข้าทำลายไม้ย่างพาราในมีช่องไทย มีเพียงสามชนิดที่ตรงกับที่รายงานในภาคตะวันออกได้แก่ *E. parallelus*, *H. eruditus* และ *X. affinis* มอดทั้งสองกลุ่มนี้ชนิดที่พบเข้าทำลายไม้ย่างพาราในภาคใต้มีความใกล้เคียงกับมอดที่รายงานเข้าทำลายไม้ย่างพาราในประเทศไทยมากกว่า (ดูตารางภาคผนวกที่ 3 ประกอบ) อย่างไรก็ตาม มอดในกลุ่มนี้มอดเอมบอร์เชียและ wood boring bark beetles มีความหลากหลายสูงและกระจายทั่วไปในเขตต้อนรับทั่วโลก (Farrell et al., 2001) และไม่มีความจำเพาะเฉพาะเจาะจงต่อพืชอาหาร (Bright and Skidmore, 1997; Hulcr et al., 2007; Wood and Bright, 1992) เป็นไปได้ว่ามอดเหล่านี้ทุกชนิดสามารถเข้าทำลายไม้ย่างพาราได้

ผลการสำรวจพบมอดชี้ชุยมากที่สุดโดยเฉพาะมอดชี้ชุยเทียมสามชนิดที่เป็นชนิดหลักได้แก่ *S. analis*, *S. unidentatum* และ *H. aequalis* โดยมอดทั้ง 3 ชนิดมีจำนวนรวมกันมากกว่า 67 เปอร์เซ็นต์ของมอดที่พบทั้งหมด และจากการสำรวจในครั้งนี้สามารถถกถ่วงได้ว่า ในพื้นที่ภาคใต้มีมอดชนิดที่เป็นชนิดหลักที่สำคัญที่สุดอย่างแท้จริงเพียงชนิดเดียวเท่านั้นคือ *S. analis* โดยพบมอดชนิดนี้ 39.56 เปอร์เซ็นต์ ของมอดทั้งหมด ส่วนชนิดหลักที่สำคัญและมีมอดชนิดรองลงมาสามชนิดได้แก่มอดชี้ชุยเทียมสองชนิดคือ *S. unidentatum* และ *H. aequalis* ร่วมกับมอดชี้ชุยแท้ออกหนึ่งชนิดคือ *L. dentatum* ผลการศึกษาสอดคล้องกับผลการสำรวจในภาคตะวันออกและพื้นที่รอบอ่าวไทยที่พบมอดชนิดนี้เป็นชนิดหลัก (Sittichaya and Beaver, 2009) หากว่ารายงานของ จาฤณี และไพรวรณ (2524) และรายงานของ Ho และ Hashim (1997) ในประเทศไทยที่จัดมอด *H. aequalis* เป็นชนิดหลัก

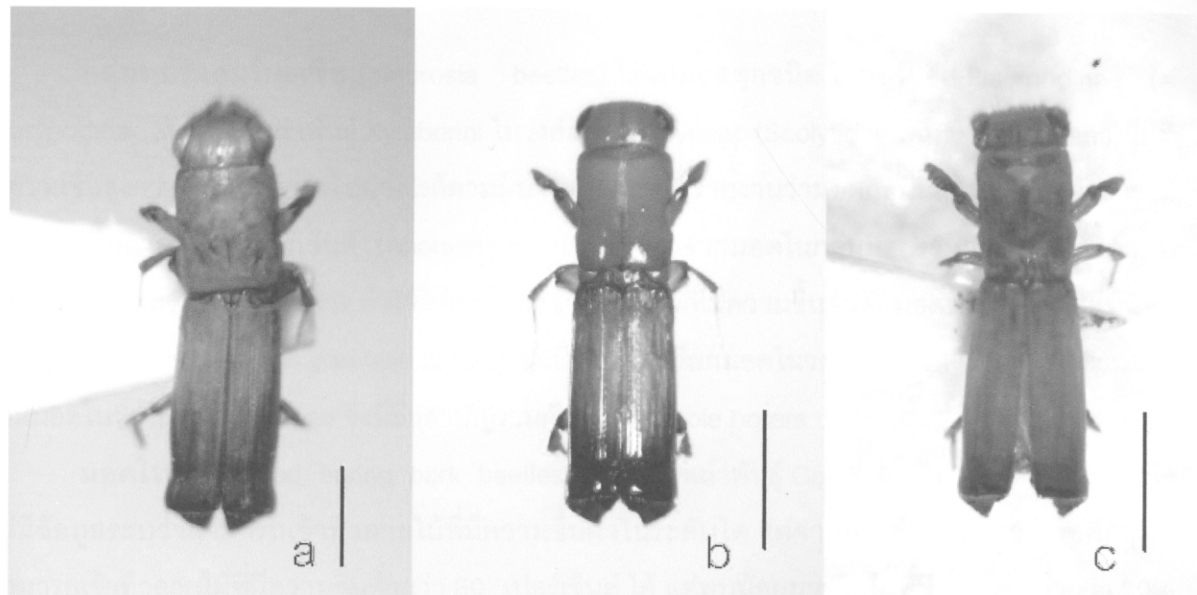
มอด *S. unidentatum* จัดเป็นชนิดหลักที่สำคัญรองจาก *S. analis* แต่เป็นที่สังเกตว่ามอดชนิดนี้จะมีการกระจายหนาแน่นเฉพาะพื้นที่กล่าวคือ มีอัตราการเข้าทำลายหนาแน่นในพื้นที่ภาคใต้สั่งตะวันออกมากกว่าพื้นที่ภาคใต้สั่งตะวันตก และพบว่าอัตราการเข้าทำลายของมอดชนิดนี้จะแปรผันกับปริมาณการเข้าทำลายของมอด *S. analis* เมื่อมีมอดชนิดใดชนิดหนึ่งเข้าทำลายในโรงเรือนโรงไฟฟ้าน้ำมาก มอดอีกชนิดจะมีจำนวนน้อยมากหรือไม่พบ ซึ่งผลการศึกษาสอดคล้องกับการศึกษาในพื้นที่ภาคตะวันออกและพื้นที่รอบอ่าวไทย ที่พบมอดชนิด *S. unidentatum* หนาแน่นในจังหวัดชลบุรีและสมุทรสงคราม และพบน้อยหรือส่วนใหญ่ไม่พบในจังหวัดอื่นๆ ในพื้นที่ภาคตะวันออกที่มีมอด *S. analis* ระบาด (Sittichaya and Beaver, 2009) มอดทั้งสองชนิดมีขนาดและลักษณะทางชีววิทยาใกล้เคียงกัน เป็นไปได้ว่ามอดทั้งสองชนิดนี้อาจจะมีความต้องการปัจจัยต่างๆ ในการดำรงชีวิตที่ใกล้เคียงกัน ทำให้เป็นคู่แข่งที่สำคัญซึ่งกันและกัน นอกจากนี้จากการสังเกตพฤติกรรมในห้องทดลองพบว่า มอดทั้งสองชนิดตั้งกส่วนมีพฤติกรรมการหุงตีนและมีการต่อสู้เพื่อป้องกันกินผสมพันธุ์สูงกว่ามอดชี้ชุยชนิดอื่นๆ ในวงศ์เดียวกัน ทำให้พบมอดเพียงชนิดเดียวมีนิดหนึ่งเข้าทำลายไม้ย่างพาราเปรูปในโรงเรือนแต่ละโรงเพียงชนิดเดียว



ภาพที่ 10 มอดทำลายไม้ย่างพาราเบรรูป: มอดชี้ขุยงศ์ Bostrichidae วงศ์ย่อย Bostrichinae
 (a) *Heterobostrychus aequalis* (b) *Sinoxylon analis* (c) *S. unidentatum* (d) *Xylopsocus capucinus*
 (e) *Xylothrips flavipes* วงศ์ย่อย Dinoderinae (f) *Dinoderus minutus* วงศ์ย่อย Lyctinae (g) *Lyctoxylon dentatum* (h) *Minthea reticulata* (i) *Cephalotoma tonkinea*



ภาพที่ 11 มอดทำลายไม้ย่างพาราแปรรูป: Bark beetles และมอดเคอมใบเรียบ วงศ์ Curculionidae; วงศ์ย่อย Scolytinae (a) *Euwallacea interjectus* (b) *Xyleborus perforans* (c) *X. affinis* (d) *X. similis* (e) *Xylosandrus crassiusculus* (f) *Hypothenemus eruditus* (g) *H. birmanus* วงศ์ย่อย Platypodinae (h) *Crossotarsus extenedentatus* (i) *Euplatypus parallelus*



ภาพที่ 11 (ต่อ) มอดทำลายไม้ย่างพาราแปรรูป: Bark beetles และมอดเอมบอโรเชีย วงศ์ Curculionidae วงศ์ย่อย Platypodinae (a) *Dinoplatypus cupulatus* (b) *D. pseudocupulatus* (c) *D. padillus*

5.1.5 กลุ่มของมอดทำลายไม้ย่างพาราแปรรูปในพื้นที่ศึกษา

จากการสำรวจสามารถแบ่งมอดที่พบเข้าทำลายไม้ย่างพาราแปรรูปตามลักษณะความชอบในการเข้าทำลายและชนิดของอาหาร ออกเป็นสามกลุ่มได้แก่ **มอดขี้ขุย** (Powder post beetles) ในวงศ์ Bostrichidae มอดเอมบอโรเชีย (Ambrosia beetles) และ wood boring bark beetles ในวงศ์ Curculionidae

กลุ่มมอดขี้ขุยในวงศ์ Bostrichidae กินแป้งในไม้เป็นอาหาร ชอบเข้าทำลายไม้แห้งที่มีความชื้นต่ำ ประมาณ 12-30 เปอร์เซ็นต์ มอดในกลุ่มนี้ สามารถแบ่งออกเป็น 3 กลุ่มย่อย ได้แก่

กลุ่มที่ 1 **มอดขี้ขุยแท้** (true powder post beetles) ในวงศ์ย่อย Lyctinae (= Lyctidae เดิม) สามารถเข้าทำลายไม้ที่มีความชื้น 8-30 เปอร์เซ็นต์ แต่ส่วนใหญ่จะชอบเข้าทำลายไม้ที่มีความชื้น 12-15 เปอร์เซ็นต์ (ผลการสำรวจพบว่าบางครั้งมอดในกลุ่มนี้สามารถเข้าทำลายไม้ที่มีความชื้นสูงกว่านี้ได้แต่พบน้อยมาก)

กลุ่มที่ 2 **มอดขี้ขุยแท้ที่อยู่อาศัยในรังหรือรูทางเดินของมอดขี้ขุยชนิดอื่นๆ** ได้แก่มอดในสกุล *Cephalotoma* และ สกุล *Lyctoderma* โดยมอดกลุ่มนี้กินแป้งเป็นอาหาร เช่นเดียวกัน แต่ชอบอาศัยในรังของมอดชนิดอื่นๆ (Lesne, 1932) มอดในกลุ่มนี้พบ 1 ชนิดได้แก่ *C. tonkinea*

กลุ่มที่ 3 **มอดขี้ขุยเทียม** (False powder post beetles) ในวงศ์ย่อย Bostrichinae และ Dinoderinae ชอบเข้าทำลายไม้ที่มีความชื้นต่ำประมาณ 15-30 เปอร์เซ็นต์ และสามารถเข้าทำลายไม้สดที่เลื่อยใหม่ๆ หรือไม่ท่อนบนลงมาไม่รวมทั้งกิ่งขนาดเล็กของต้นไม้ได้แต่พบไม่บ่อยนัก

กลุ่มมอดเอมใบเรชีย (ambrosia beetles) ได้แก่มอดทุกชนิด ในวงศ์ย่อย Platypodinae (= Platypodidae เดิม) และผ่าพันธุ์ Xyleborini ในวงศ์ย่อย Scolytinae (Scolytidae เดิม) ชอบเข้าทำลายไม้ที่มีความชื้นสูงกว่า 60 เปอร์เซ็นต์ อย่างไรก็ตามมีบางแหล่งข้อมูลรายงานว่ามอดกลุ่มนี้สามารถเข้าทำลายไม้ที่มีความชื้นต่ำถึง 45 เปอร์เซ็นต์ (Anonymous, n.d.) เนื่องจากมอดในกลุ่มนี้อยู่รวมกับราบากชนิดแบบพึ่งพาอาศัย และกินราเป็นอาหาร ทำให้ไม่สามารถเข้าทำลายไม้ที่มีความชื้นต่ำได้ มอดบางส่วนในกลุ่มนี้คุณไทยรู้จักกันดีในชื่อมอดรูเริ่ม (pin hole borers) ซึ่งเป็นชื่อที่ใช้เรียkmอดในวงศ์ย่อย Platypodinae เท่านั้นไม่รวมมอดในวงศ์ย่อย Scolytinae ซึ่งมีชื่อสามัญรวมกันว่า Shot hole borers

มอดในกลุ่ม wood boring bark beetles ได้แก่มอดผ่าพันธุ์ Cryphalini ในวงศ์ย่อย Scolytinae ไม่มีข้อมูลระบุว่าสามารถเข้าทำลายไม้ที่มีความชื้นต่ำในระดับใด แต่จากการสำรวจพบว่า มอดกลุ่มนี้สามารถเข้าทำลายไม้ที่มีความชื้นต่ำกว่า 60 เปอร์เซ็นต์ได้ แต่พบน้อยมากในไม้ที่มีความชื้นต่ำกว่า 30% มอดกลุ่มนี้เป็นสมาชิกของมอดกลุ่ม bark beetles ที่จะเข้าไปในไม้และกินไม้เป็นอาหาร แตกต่างจาก bark beetles ที่ส่วนใหญ่ที่เข้าทำลายในส่วนของเปลือกเนื้อเยื่อเจริญและผิวของกระพี้ และต่างจากมอดเอมใบเรชีย (ambrosia beetles) ที่จะเข้าไปในเนื้อไม้และเลี้ยงราในเนื้อไม้และกินราเป็นอาหาร มอดกลุ่มนี้ที่พบในพื้นที่ศึกษาได้แก่มอดทุกชนิดในสกุล Hypothemus

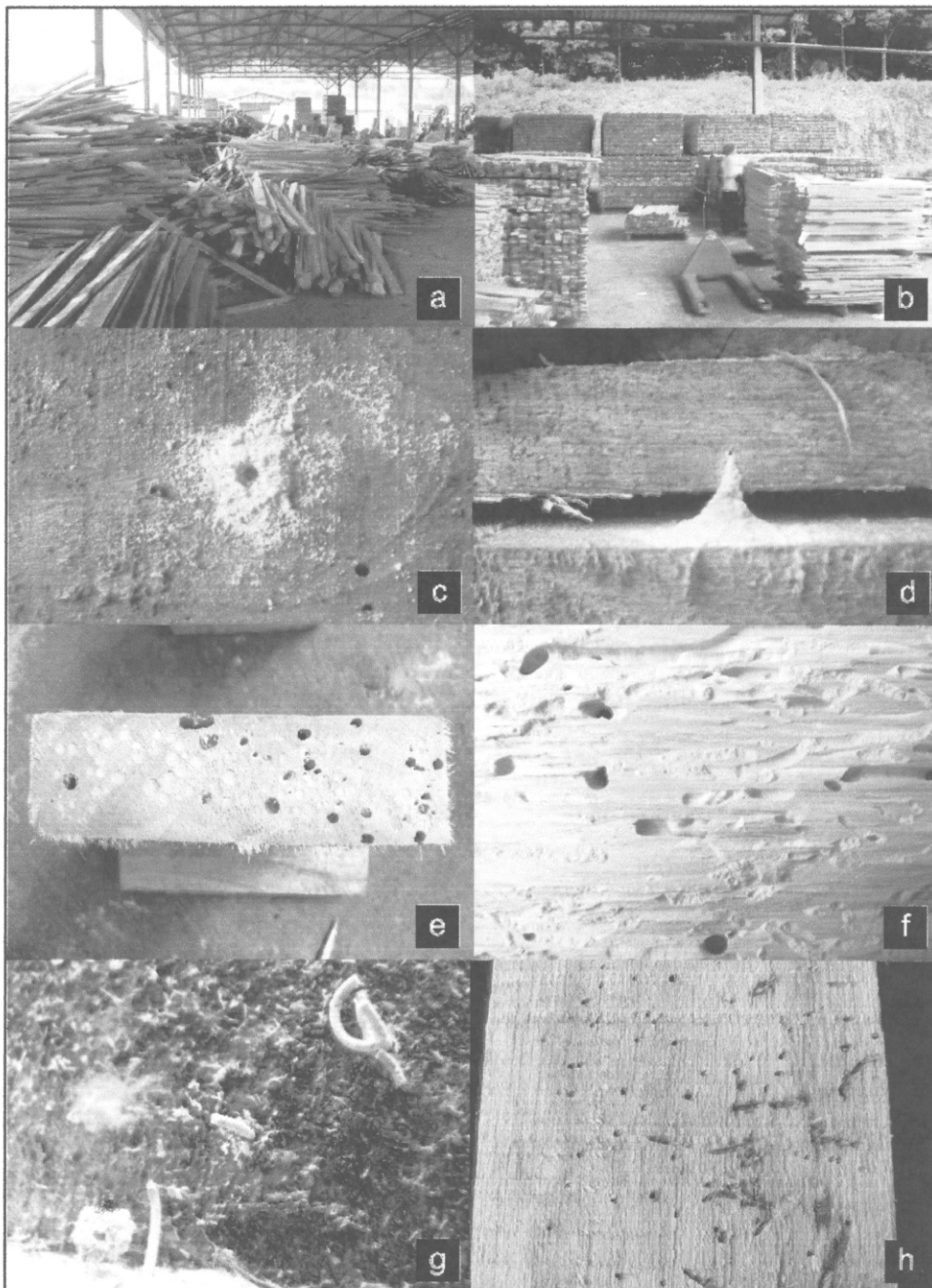
5.1.6 ชนิดของไม้ยางพาราที่พบริบูรณ์ในโรงเลือยและการเข้าทำลายของมอด

จากการสำรวจพบว่า ไม้ในโรงเลือยแปรรูปไม้ยางพาราสามารถแบ่งออกเป็นสามกลุ่มด้วยกัน ได้แก่ ไม้ท่อนบนลานไม้ ปีกไม้ปลายไม้ที่เหลือจากการเลือย และไม้แปรรูป ในส่วนของไม้แปรรูป ประกอบด้วยไม้เกรด เอ บี และ ซี (ภาพที่ 12) ไม้ท่อนบนลานไม้ในกรณีที่พักไว้นานพบการเข้าทำลายของมอดเอมใบเรชียเนื่องจากไม่มีความชื้นสูง ในส่วนของปีกไม้พบการเข้าทำลายของมอดเอมใบเรชียเป็นส่วนใหญ่ และพบการเข้าทำลายของมอดชี้ชูย์ที่ยกบังเกิดน้อยหากในกรณีที่ไม่ถูกทิ้งไว้นานและเริ่มแห้ง ในพื้นที่ศึกษาส่วนใหญ่ไม่เหล่านี้ถูกพักไว้ในนานเนื่องจากปีกไม้เป็นแหล่งเชื้อเพลิงที่ใช้ในการอบไม้ในโรงเลือย ส่วนไม้ยางพาราที่แปรรูปแล้วส่วนใหญ่ถูกอบจนมีความชื้นต่ำ ไม้เกรดเอ และบี ถูกอบน้ำยา ก่อนการอบ เมื่อบแห้งแล้ว มอดไม่สามารถเข้าทำลายไม้เหล่านี้ได้อีก คงเหลือแค่ไม้เกรดซี ที่บางส่วนไม่ได้อัดน้ำยา นอดสามารถเข้าทำลายได้ โดยความมากน้อยของมอดที่พบริบูรณ์ในโรงเลือยแต่ละโรงขึ้นอยู่กับปริมาณและระยะเวลาที่ไม้เหล่านี้ถูกพักไว้ จากผลการสำรวจปริมาณของมอดชี้ชูย์ลดคล่องกับปริมาณไม้เหล่านี้ในโรงเลือย เนื่องจากไม่มีความชื้นต่ำเหมาะสมต่อการเข้าทำลายของมอดชี้ชูย์ จากการสังเกตพบว่า ปริมาณไม้ในโรงเลือยลดคล่องกับตุ๊กกะกล โดยในตุ๊กกะมีไม้ตอกค้างในโรงเลือยน้อย เนื่องจากในตุ๊กกะมีความยากลำบากในการตัดพื้นไม้ยางพาราในแปลง ในขณะเดียวกันไม้ที่ไม่ถูกนำไปอบมีความชื้นสูงกว่านาน เหมาะสมต่อการเข้าทำลายของมอดเอมใบเรชียมากกว่ามอดชี้ชูย์ ทำให้ช่วงเวลาดังกล่าวพบปริมาณมอด

ข้อยุที่เข้าทำลายไม้แปรรูปมีปริมาณน้อย ในทางตรงกันข้ามกลุ่มมอดเอมใบราชียมีปริมาณสูงขึ้นในระดับหนึ่ง แต่ไม่สูงมากเท่าปริมาณมอดขี้ชุย เนื่องจากปริมาณไม้แปรรูปในโรงเลือยมีน้อยทำให้ไม้ถูกกระบวนการอย่างรวดเร็ว ส่วนในถุงร้อนไม่มีปริมาณมาก ปริมาณไม้เกรดต่ำที่ไม่อัดน้ำยา ก็มีปริมาณมากตามไปด้วย ทำให้พบ มอดเข้าทำลายไม้ย่างพาราแปรรูปปริมาณมาก จากผลการสำรวจพบว่าจำนวนมอดที่พบร่วมทั้งหมด มีปริมาณมากที่สุดในเดือนมีนาคมมากกว่าการเก็บตัวอย่างอีกสองครั้ง ในช่วงถุงฟอนอย่างขัดเจน ซึ่งสอดคล้อง กับปริมาณน้ำฝนที่ลดลงอย่างต่อเนื่องจากเดือนธันวาคมถึงเดือนเมษายน

จากการสำรวจไม้ย่างพาราแปรรูปในโรงเลือยทั้ง 21 โรงพบว่า มอดเข้าทำลายไม้ย่างพาราแปรรูป เนพะไม่ที่ไม่ผ่านการอบน้ำยา กชาเนื้อไม้เท่านั้น ยกเว้นโรงเลือยเพียงสองโรงที่พบร่มอดเข้าทำลายไม้ย่างพาราแปรรูปที่ผ่านการอบน้ำยาแล้ว โรงแรกพบมอดเข้าทำลายไม้ที่ผ่านการอบน้ำยาและอบแห้งแล้ว และเก็บไว้ในโรงเรือนเปิดโล่ง ไม้ดังกล่าวตั้งทิ้งไว้ประมาณ 6 เดือน สันนิษฐานว่าแมลงสามารถเข้าทำลายไม้ย่างพาราดังกล่าวได้น่าจะมีสาเหตุจากการอบน้ำยาที่ไม่ได้มาตรฐาน เนื่องจากพบรการเข้าทำลายของราทำลายเนื้อไม้ร่วมด้วย ส่วนอีกโรงหนึ่งพบมอดถุงเริม (*E. parallelus*) เข้าทำลายไม้ย่างพาราแปรรูปที่ผ่านการอบน้ำยาแล้วแต่รอการอบ จากการสอบถามเจ้าหน้าที่พบว่าไม้แปรรูปดังกล่าวอบน้ำยาโดยใช้สารเคมีความเข้มข้นต่ำเนื่องจากใช้ไม้เพื่อทำกุปกรณ์เครื่องใช้ในครัวเรือน ทำให้มอดสามารถเข้าทำลายได้

จากการสังเกตพบว่ามอดเข้าทำลายไม้ย่างพาราแปรรูปในโรงเลือยที่ไม่มีห้อง (โรง) อบไม้มากกว่า โรงเลือยที่มีโรงอบไม้ซึ่งสอดคล้องกับในพื้นที่ภาคตะวันออก เนื่องจากในโรงเลือยที่ไม่มีโรงอบไม้มีมิติค้าง เพื่อรักษา ทำให้แมลงสามารถเข้าทำลายได้ ในโรงเลือยที่มีโรงอบไม้ ส่วนใหญ่พบแมลงเข้าทำลายปีกไม้ ที่เหลือจากการแปรรูป และพบว่าโรงเลือยที่มีโรงอบไม้มีระบบการรักษาความสะอาดและการจัดการของโรงเลือยดีกว่าโรงเลือยที่ไม่มีโรงอบไม้ ทำให้มีเศษไม้ปลายไม้ที่มอดสามารถเข้าทำลายได้



ภาพที่ 12 สภาพหัวไวป์ในโรงเลื่อยและลักษณะของไม้ที่มี模ทำลาย (a) ไม้เกรดซีที่กองอย่างไม่เป็นระเบียบ ในโรงเลื่อยขนาดเล็กที่ไม่มีโรงอบไม้ทำให้สังเกตเห็น模ที่เข้ามาทำลายได้ยาก (b) ไม้เกรดซีในโรงเลื่อยที่มี โรงอบไม้จะจัดเก็บเป็นระเบียบและสังเกตการณ์เข้าทำลายของ模ได้ง่าย (c) และ (d) ลักษณะของไม้ที่ มี模เข้าทำลายใหม่ๆ จะพบว่ามีร่องรอยเป็นผลลัพธ์ของการกัดขึ้นจากปากกรู (e) และ (f) ภาพตัดขวางและตัด ตามยาวของไม้ที่ถูก模เข้าทำลาย สังเกตเห็นว่ามีร่องรอยของ模ที่เปลี่ยนไปทางเดินของตัวหนอน (g) และ (h) ลักษณะของไม้ที่ถูก模เข้าทำลาย จากการนกจะเห็นว่ามีร่องรอยของ模ที่เปลี่ยนไปทางเดินของตัวหนอน รวมถึงการกัดขึ้นจากปากกรู และเมื่อผ่านไม้จะพบว่าไม้ที่ถูก模เข้าทำลาย ขาดง่ายกว่าไม้ที่ไม่มีร่องรอย

5.1.7 ความหลากหลายทางชนิดของมอดทำลายไม้ย่างพาราแปรรูป

ตารางที่ 8 แสดงค่าดัชนีความหลากหลายซึ่งคำนวณด้วย Shanon Weiner's diversity index และ Simson's diversity index และค่าดัชนีความเท่าเทียม Shanon's eveness index ของมอดที่เข้าทำลายไม้ย่างพาราแปรรูปในพื้นที่ภาคใต้รวม ภาคใต้ผังตะวันออก และภาคใต้ผังตะวันตก พบว่าพื้นที่ภาคใต้รวม มีค่าดัชนีความหลากหลาย Shanon Weiner's diversity index เท่ากับ 1.9867 และ Simson's diversity index เท่ากับ 0.7866 ตามลำดับ และมีค่า Shanon's eveness index เท่ากับ 0.6427 เมื่อพิจารณาในแต่ละพื้นที่ศึกษาพบว่าในพื้นที่ภาคใต้ผังตะวันออกมีค่าดัชนี Shanon's diversity index 1.9249 และ Simson's diversity index 0.7893 และมีค่า Shanon's eveness index เท่ากับ 0.6537 ตามลำดับ ส่วนในพื้นที่ภาคใต้ผังตะวันตกมีค่าดัชนีความหลากหลายน้อยกว่าภาคใต้ผังตะวันออกซึ่งมีค่าดัชนี Shanon's diversity index 1.8693 และ Simson's diversity index เท่ากับ 0.7392 และมีค่า Shanon's eveness index เท่ากับ 0.6467 ตามลำดับ เมื่อนำค่าดัชนีดัชนีความหลากหลายของมอดทำลายไม้ย่างพาราภาคใต้ผังตะวันออกมีค่ามากกว่าพื้นที่ภาคใต้ผังตะวันตกไปเคระห์ความแตกต่างทางสถิติพบว่ามีความแตกต่างอย่างมีนัยสำคัญทางสถิติที่ระดับความเชื่อมั่น 99%

ตารางที่ 8 ค่าดัชนีความหลากหลายและดัชนีความเท่าเทียมของมอดทำลายไม้ย่างพาราแปรรูป

ดัชนี	ภาคใต้ผังตะวันออก	ภาคใต้ผังตะวันตก	ภาคใต้
Shanon Weiner's diversity index	1.9249 ^a	1.869 ^b	1.9867
Simson's diversity index	0.7893 ^a	0.7392 ^b	0.7866
Shanon's eveness index	0.6537	0.6467	0.6427

ตัวอักษรที่แตกต่างกันแสดงความแตกต่างอย่างมีนัยสำคัญทางสถิติที่ระดับความเชื่อมั่น 99%
โดยวิธีของ Poole (1974)

เมื่อเปรียบเทียบค่าดัชนีความหลากหลายระหว่างพื้นที่ภาคใต้ ($n = 12$ โรง) โดยใช้ผลการสำรวจ 1 ครั้งในเดือนกรกฎาคมกับค่าดัชนีความหลากหลายของมอดที่ทำลายไม้ย่างพาราแปรรูปในพื้นที่ภาคตะวันออกและจังหวัดสมุทรสงคราม ในเดือนมิถุนายน ($n = 12$ โรง) (Sittichaya and Beaver, 2009) คำนวณโดยใช้ Shanon Weiner's diversity index และ Shanon's eveness index ในพื้นที่ภาคใต้พบมอดจำนวน 15 ชนิด มีค่าดัชนีความหลากหลายเท่ากับ 2.288 และดัชนีความสม่ำเสมอ 0.92 ในขณะที่ความหลากหลายทางชนิดของมอด ในพื้นที่ภาคตะวันออกและพื้นที่ร่องอ่าวไทยมอด 21 ชนิด มีดัชนีความหลากหลาย 1.720 และค่าดัชนีความสม่ำเสมอเท่ากับ 0.55 ถึงแม้ว่าในพื้นที่ภาคตะวันออกในช่วงเวลาดังกล่าวจะมีจำนวนชนิดของมอดที่พบมากกว่าภาคใต้ในช่วงเวลาเดียวกัน แต่จำนวนตัวของมอดที่พบในแต่ละชนิดส่วนใหญ่มีจำนวนน้อยมาก มีน้อยชนิดที่พบเป็นจำนวนมากและมีการกระจายที่ไม่สม่ำเสมอ

(evenness = 0.55) ทำให้มีค่าดัชนีความหลากหลายต่ำ ปัจจัยหลักที่ทำให้บิร์มาณมอดในแต่ละชนิดที่พบในพื้นที่ภาคตะวันออกมีจำนวนน้อยกว่าภาคใต้เนื่องจากบริมาณไม่ทั่วทุกสารที่สามารถใช้ในการสร้างรังหรือเข้าทำลายมีน้อยกว่ามาก ในพื้นที่ภาคตะวันออกมีบิร์มาณมไม่ที่ป้อนให้กับโรงเลือยต่างๆ น้อย ไม่ส่วนใหญ่มีอัตราปรับเปลี่ยนเร็ว จะใช้เวลาไม่นานเพื่อนำไปป้อนน้ำยาและอบ หรือขายแก่ลูกค้าในอุตสาหกรรมต่อเนื่องในบริเวณใกล้เคียง (อุดลายน้ำเพื่อรักษาไว้ไม่ยายพารา) ในขณะที่ในพื้นที่ภาคใต้บิร์มาณมต้องรอเวลาเพื่อนำไปป้อน หรือไม่มีคุณภาพดีอาจไม่นำไปป้อนน้ำยาและอบและถูกเก็บไว้ภายใต้แสงแดด

5.1.8 ความหนาแน่นในการเข้าทำลายของมอด

ค่าเฉลี่ยของจำนวนมอดที่เข้าทำลายไม้ยายพาราแบบปรับรูปขนาดประมาณ $5 \times 100 \times 3$ ลูกบาศก์เซนติเมตร ในพื้นที่ภาคใต้หั้งสองฝั่งมีค่าเฉลี่ยรวม 18.31 ± 23.84 ตัว/ชิ้น มีอัตราการเข้าทำลายสูงสุด 224 ตัว/ชิ้น และต่ำสุด 0 ตัว/ชิ้น (ในไม่มีร่องรอยการทำลาย) ความหนาแน่นรวมในการเข้าทำลายในการสำรวจครั้งที่ 1 2 และ 3 มีค่า 11.01 ± 12.89 , 13.52 ± 16.83 และ 30.88 ± 31.96 ตัว/ชิ้น ตามลำดับ (ตารางที่ 9)

ตารางที่ 9 ความหนาแน่นของมอดเฉลี่ย (ตัว/ชิ้น) ที่เข้าทำลายไม้ยายพาราแบบปรับรูปในพื้นที่ภาคใต้*

ครั้งที่	ภาคใต้ฝั่งตะวันออก	ภาคใต้ฝั่งตะวันตก	ภาคใต้
1	10.03 ± 11.81^a	12.77 ± 13.82^a	11.01 ± 12.89^a
2	10.84 ± 5.67^a	12.7 ± 18.59^a	13.52 ± 16.83^a
3	30.63 ± 23.87^b	31.13 ± 38.54^b	30.88 ± 31.96^b
รวม 3 ครั้ง	17.76 ± 19.83	18.87 ± 27.29	18.31 ± 23.84

ตัวอักษรในแต่ละค่าเดียวกันแสดงความแตกต่างอย่างมีนัยสำคัญทางสถิติ ($p < 0.001$) วิเคราะห์ด้วย Mann-Whitney Test
ความหนาแน่นของมอดเฉลี่ยระหว่างฝั่งตะวันออกและตะวันตกไม่มีความแตกต่างทางสถิติ ($p > 0.05$)

ผลการสำรวจพบว่าความแตกต่างของจำนวนมอดที่เข้าทำลายไม้ยายพาราแต่ละชิ้นที่สูงจากโรงเลือยเดียวกันมีสูงโดยจะเห็นได้จากส่วนเบี่ยงเบนมาตรฐานที่มีค่าสูงทำให้การกระจายของข้อมูลไม่เป็นแบบปกติ (normal curve) การเปรียบเทียบความแตกต่างทางสถิติของความหนาแน่นในการเข้าทำลายจึงทำได้เพียงการเปรียบเทียบค่ากลาง (median) ของตัวอย่างในการสำรวจ โดยค่ากลางของอัตราการเข้าทำลายในการสำรวจครั้งที่สามมากกว่าค่ากลางของการสำรวจครั้งที่ 1 และ 2 อย่างมีนัยสำคัญทางสถิติ (Chi-Square 90.418, df=2, Asymp. Sig. 0.001)

เมื่อพิจารณาความหนาแน่นในการเข้าทำลายในแต่ละพื้นที่ พนบว่าในพื้นที่ภาคใต้ฝั่งตะวันออกมีอัตราการเข้าทำลายรวมทั้งสามครั้งเฉลี่ย 17.76 ± 19.83 ตัว/ชิ้น โดยมีความหนาแน่นในการเข้าทำลายเฉลี่ยในการสำรวจครั้งที่ 1 2 และ 3 เท่ากับ 10.03 ± 11.81 , 10.84 ± 5.67 และ 30.63 ± 23.87 ตัว/ชิ้น ตามลำดับ

โดยค่ากลางของอัตราการเข้าทำลายเฉลี่ยในการสำรวจครั้งที่สามมากกว่าค่ากลางของการสำรวจครั้งที่ 1 และ 2 อย่างมีนัยสำคัญทางสถิติ (Chi-Square 68.485, df=2, Asymp. Sig. 0.001)

ส่วนในพื้นที่ภาคใต้ผู้ตัววันออกมีอัตราการเข้าทำลายรวมทั้งสามครั้ง 18.87 ± 27.29 ตัว/ชั่วโมง ความหนาแน่นในการเข้าทำลายในแต่ละครั้งเท่ากับ 12.77 ± 13.82 , 12.7 ± 18.59 และ 31.13 ± 38.54 ตัว/ชั่วโมง ในการสำรวจครั้งที่ 1, 2 และ 3 ตามลำดับ โดยค่ากลางของอัตราการเข้าทำลายเฉลี่ยในการสำรวจครั้งที่ 3 มากกว่าค่ากลางของการสำรวจครั้งที่ 1 และ 2 มีความแตกต่างอย่างมีนัยสำคัญทางสถิติ (Chi-Square 68.485, df=2, Asymp. Sig. 0.001) เมื่อเปรียบเทียบอัตราการเข้าทำลายเฉลี่ยระหว่างภาคใต้ผู้ตัววันออกและผู้ตัววันตอกพบว่าไม่มีความแตกต่างทางสถิติแต่อย่างใด ($p>0.05$)

เมื่อนำอัตราการเข้าทำลายเฉลี่ยของมอดในภาคใต้จากการเก็บตัวอย่างครั้งแรกในเดือนกรกฎาคม เปรียบเทียบกับพื้นที่ภาคตะวันออกในช่วงเดือนกรกฎาคมพบว่า ในพื้นที่ภาคตะวันออกมีอัตราการเข้าทำลายสูงกว่าในภาคใต้เล็กน้อย โดยในพื้นที่ภาคตะวันออกมีอัตราการเข้าทำลายเฉลี่ย 15.52 ± 15.79 ตัว/ชั่วโมง ส่วนในพื้นที่ภาคใต้มีค่าดังกล่าวเท่ากับ 11.01 ± 12.89 ตัว/ชั่วโมง (Sillichaya and Beaver, 2009)

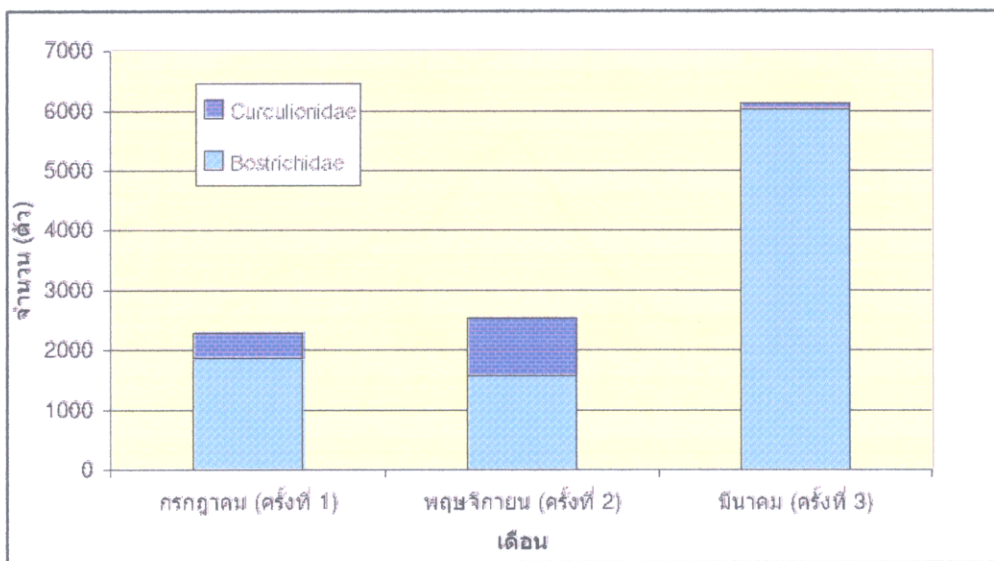
ปริมาณมอดที่สำรวจพบหรือความหนาแน่นในการเข้าทำลายของมอดในระหว่างโรงเลือยแต่ละโรง และในแต่ละจังหวัดในผู้ตัววันมีความแตกต่างกันค่อนข้างมาก ลักษณะได้จากการค่าส่วนเบี่ยงเบนมาตรฐานที่สูงกว่าค่าเฉลี่ยมาก แม้แต่ในการเก็บตัวอย่างในครั้งที่ 3 ซึ่งมีระดับประชากรของมอดสูง ในบางตัวอย่างที่สูงยังพบแมลงในปริมาณที่น้อยมากหรือไม่พบแมลง โดยสาเหตุของความแตกต่างเหล่านี้ มีสาเหตุหลักๆ สามประการด้วยกันได้แก่ ปริมาณไม่ทั่วมอดสามารถเข้าทำลายได้ในโรงเลือย ระยะเวลาของไม้ถูกมอดได้ไม่ครบถ้วน ไม่มีความสามารถเข้าทำลายได้ถูกพากไว้ในโรงเลือย และระยะเวลาของไม้ถูกมอดเข้าทำลาย ปริมาณไม่ทั่วมอดสามารถเข้าทำลายได้ในโรงเลือยมีผลต่อความหนาแน่นในการเข้าทำลายของมอดที่สูงได้ โดยเฉพาะอย่างยิ่งในกรณีที่มีไม้ทั่วมอดสามารถเข้าทำลายได้มีปริมาณน้อย ระดับการเข้าทำลายของมอดจะต่ำกว่าในโรงเลือยที่มีไม้มากกว่า เนื่องจากไม่มีการสะสมของมอดในโรงเลือยประกอบกับในโรงเลือยเหล่านี้ไม่ทั่วมอดสามารถเข้าทำลายได้จะถูกพากไว้ในนาน ตั้งนั้นไม่ถูกสูญเสียไปแล้วทั่วมอดเข้าทำลายใหม่ๆ มีอัตราการเข้าทำลายต่ำกว่าในโรงเลือยที่มีไม้ทั่วมอดสามารถเข้าทำลายได้มาก ถึงแม้ว่าระดับประชากรของมอดในพื้นที่รอบๆ จะสูงก็ตาม ส่วนใหญ่โรงเลือยที่มีไม้เหล่านี้ต่ำเป็นโรงเลือยที่มีการจัดการที่ดีและให้ความสำคัญกับความสะอาดของโรงเลือย และเป็นโรงเลือยที่มีห้องอบไม้มากกว่าโรงเลือยที่ไม่มีห้องอบไม้ เนื่องจากโรงเลือยที่มีห้องอบไม้ส่วนใหญ่ปักไม้ซึ่งถูกนำไปเป็นเชื้อเพลิงในนานหลังจากแปรรูป และไม่เกรดต่ำบางส่วนถูกอุดน้ำยาารกษาเนื่องไม่ทำให้มอดไม่สามารถเข้าทำลายไม้เหล่านี้ได้ ระยะเวลาที่ไม่ถูกพากไว้ในโรงเลือยก็มีผลต่อความหนาแน่นในการเข้าทำลายไม้ยางพาราของมอดสูง เช่นเดียวกัน เนื่องจากมอดจะทยอยเข้าทำลายไม้ที่ตั้งไว้ เมื่อไม่ถูกพากไม่นาน มอดเข้าทำลายสะสมน้อยเมื่อสูงไม้เหล่านี้จะได้มอดน้อยกว่าปกติ และในกรณีที่มอดเข้าทำลายไม่นานแล้ว มอดบางส่วนเริ่มทยอยบินออกจากไม้แล้วเมื่อสูงไม้นั้นๆ มาจะทำให้ได้แมลงน้อยกว่าปกติเช่นเดียวกัน

จากการศึกษาขี้ให้เห็นสามารถสรุปได้ว่าอิทธิพลหรือปัจจัยที่มีผลต่องบด (กลุ่มของมอด) และปริมาณของมอดที่เข้าทำลายไม้ย่างพาราแพรูปในพื้นที่ 8 จังหวัดภาคใต้ มี 2 ปัจจัยหลักๆ ด้วยกันได้แก่ ปริมาณและระยะเวลาที่ไม่มีที่มอดสามารถเข้าทำลายได้พอกในโรงเลื่อยและความชื้นของไม้ตั้งกล่าวว่ามีสูงมากน้อยเพียงใด โดยปัจจัยแรกมีอิทธิพลต่อการกำหนดปริมาณของมอดที่เข้าทำลายและความหนาแน่นในการเข้าทำลายสูง เนื่องจากไม้ในปริมาณมากในโรงเลื่อยทำให้แมลงมีแหล่งอาหารและแหล่งเพรพันธุ์ที่สมบูรณ์ ทำให้มีแมลงสะสมในปริมาณมาก และปกติในโรงเลื่อยที่มีไม้ปริมาณมากจะพักไม้ไว้ในโรงเลื่อยเป็นเวลากานทำให้แมลงรุนแรงสามารถเข้าทำลายไม้ในโรงเลื่อยและเพิ่มปริมาณอย่างรวดเร็ว นอกจากนี้ มอดในกลุ่มมอดชี้ชุยแท้ (true powder post beetles) ในวงศ์ย่อย Lyctinae ที่ชอบเข้าทำลายไม้ที่มีความชื้นต่ำ จะเข้าทำลายไม้หลังจากการเข้าทำลายของมอดชี้ชุยเทียม ทำให้ความหนาแน่นในการเข้าทำลายสูง เนื่องจากแมลงในกลุ่มมอดชี้ชุยแท้มีขนาดเล็กสามารถเข้าทำลายไม้ต่อขึ้นได้ในปริมาณมากเมื่อเปรียบเทียบ กับมอดชี้ชุยเทียม ความชื้นในไม้เป็นปัจจัยที่สำคัญที่สุดที่กำหนดกลุ่มของมอดที่เข้าทำลายไม้ ไม่ที่มีความชื้นสูงส่วนใหญ่จะถูกทำลายโดยมอดเอนโนรีเชีย และ wood boring bark beetles ส่วนไม้แห้งที่มีความชื้นประมาณ 30% “ ส่วนใหญ่จะถูกทำลายโดยมอดชี้ชุยเทียม และมอดชี้ชุยแท้ในสัดส่วนที่น้อยกว่า และอาจพบ wood boring bark beetles เข้าทำลายได้แต่น้อยมาก ไม่ที่มีความชื้นต่ำมากหรือถูกมอดชี้ชุยเทียมเข้าทำลายระยะหนึ่งแล้วจะพบมอดชี้ชุยแท้เข้าทำลายเป็นส่วนใหญ่ ”

5.1.9 การเปลี่ยนแปลงระดับประชากรของมอดทำลายไม้ย่างพาราแพรูปตามฤดูกาล

ผลการเก็บตัวอย่างหั้งสามครั้ง ในต้นฤดูฝนเดือนกรกฎาคม พ.ศ. 2550 ปลายฤดูฝนเดือนพฤษภาคม พ.ศ. 2550 และต้นฤดูแล้งเดือนมีนาคม พ.ศ. 2551 พบนยอดมากที่สุดในเดือนมีนาคม พ.ศ. 2551 (ครั้งที่ 3) 6,136 ตัวคิดเป็น 56.05% ของมอดที่พบหั้งหมดรองลงมาเดือนพฤษภาคม (ครั้งที่ 2) 2,532 ตัว คิดเป็น 23.13% และครั้งที่ 1 ในเดือนกรกฎาคมน้อยที่สุด 2,280 ตัวคิดเป็น 20.83% ของมอดที่พบหั้งหมด (ภาพที่ 13 และ ตารางภาคผนวกที่ 1) เมื่อพิจารณาจำนวนมอดที่สำรวจพบในแต่ละครั้งตามกลุ่มของมอดได้แก่มอดชี้ชุย (Bostrichidae) และมอดกลุ่ม wood boring bark beetles และมอดเอนโนรีเชีย (Curculionidae) พบว่า จำนวนมอดชี้ชุยที่พบในการสำรวจแต่ละครั้งจะลดคล้องกับจำนวนมอดที่พบรวมหั้งหมดคือ พบนยอดกลุ่มน้ำมากที่สุดในต้นฤดูแล้งจากการสำรวจครั้งที่ 3 รองลงมาได้แก่ผลการสำรวจในฤดูฝนจากการสำรวจครั้งที่ 2 และ 1 ตามลำดับ ในขณะที่จำนวนของมอดในวงศ์ Curculionidae มีแนวโน้มแตกต่างกับจำนวนมอดรวมที่พบหั้งหมด มอดเอนโนรีเชียพบมากที่สุดในฤดูฝนจากผลการสำรวจครั้งที่ 2 เดือนพฤษภาคม 966 ตัว คิดเป็น 64.49% ของมอดในวงศ์นี้ รองลงมาได้แก่ผลการสำรวจในต้นฤดูฝนจาก

การสำรวจครั้งที่ 1 ในเดือนกรกฎาคม 420 ตัว หรือ 28.04% และผลการสำรวจครั้งที่ 3 ในเดือนมีนาคม น้อยที่สุดเพียง 112 คิดเป็น 7.48% ตามลำดับ (ภาพที่ 13)



ภาพที่ 13 จำนวนและอัตราส่วนของมอดแต่ละกลุ่มที่พบเข้าทำลายไม้ยางพาราเบรุปในพื้นที่ภาคใต้จากการสำรวจทั้ง 3 ครั้งระหว่างเดือน กรกฎาคม พ.ศ. 2550 – มีนาคม พ.ศ. 2551

เมื่อพิจารณาจำนวนมอดแยกตามพื้นที่ศึกษาผู้ตัววันออกและตัววันตกพบว่า จำนวนมอดรวมที่พบในการสำรวจแต่ละครั้งมีแนวโน้มไม่แตกต่างกับพื้นที่ศึกษาภาคใต้โดยรวมและมีจำนวนของมอดไม่แตกต่างกันระหว่างพื้นที่ศึกษาทั้งสองผู้ แต่เมื่อพิจารณาเฉพาะมอดเออมโดยเรียบพบว่ามีความแตกต่างกันระหว่างพื้นที่ศึกษา โดยเฉพาะอย่างยิ่งในการสำรวจครั้งที่ 2 และครั้งที่ 3 ในขณะที่ผลการสำรวจครั้งที่สองจำนวนของมอดเออมโดยเรียบ ในผู้ตัววันตกมากกว่าในผู้ตัววันออกอย่างชัดเจนและมีปริมาณใกล้เคียงกับจำนวนของมอดเขี้ยวที่สำรวจพบในช่วงเวลาดังกล่าว ในขณะที่ภาคใต้ผู้ตัววันออกมีปริมาณ $1/3$ ของมอดเขี้ยว แต่ในการสำรวจครั้งที่ 3 ให้ผลในทางกลับกัน ไม่พบมอดในกลุ่มมอดเออมโดยเรียบในพื้นที่ผู้ตัววันตกแต่พบในพื้นที่ผู้ตัววันออก ถึงแม้ว่าจะมีจำนวนน้อยลงเมื่อเปรียบเทียบกับผลการสำรวจครั้งที่ 2 ก็ตาม (ภาพที่ 14)



ภาพที่ 14 กราฟความสัมพันธ์ระหว่างจำนวน模ด ที่พบรในการสำรวจในแต่ละครั้งกับปริมาณน้ำฝนเฉลี่ยรายเดือน แยกตามพื้นที่ศึกษาภาคใต้ผู้ตั้งแต่บ้านออกและตะวันตก

ปริมาณของ模ดที่พบรในการเก็บตัวอย่างแต่ละครั้งมีความสอดคล้องกับปริมาณน้ำฝนเฉลี่ยและความชอบในการเข้าทำลายของ模ดแต่ละกลุ่ม มодดี้ชูบันน้อยในการเก็บตัวอย่างในครั้งที่ 1 และครั้งที่ 2 แต่พบมากในการสำรวจครั้งที่ 3 โดยปริมาณในการสำรวจครั้งที่ 3 มากกว่าสองครั้งแรก 3-4 เท่าตัว ในขณะที่模ดเอมบอร์เชียพบมากที่สุดในครั้งที่ 2 น้อยลงในครั้งที่ 1 และพบน้อยมากในการสำรวจครั้งที่ 3

ในการเก็บตัวอย่างครั้งที่ 1 เป็นช่วงกลางของฝนแรกในภาคใต้ผู้ตั้งแต่บ้านออก และต้นฤดูฝนในผู้ตั้งแต่บ้านตก การเก็บตัวอย่างครั้งที่สอง 2 เป็นช่วงกลางของฝนสองในภาคใต้ผู้ตั้งแต่บ้านออกและปลายฤดูฝนในผู้ตั้งแต่บ้านตก ปริมาณฝนที่มีสูงในช่วงการสำรวจครั้งที่ 1 และ 2 เวลาดังกล่าวทำให้จำนวนของ模ดชูบันน้อยลง เนื่องจากสองสาเหตุดังที่ได้กล่าวแล้วข้างต้นกล่าวคือ ไม่มีความชื้นต่ำเหมาะสมต่อการทำลายของ模ดชูบันนอยลง เนื่องจากสองสาเหตุดังที่ไม่ขาดแคลนในฤดูตังกล่าว การเก็บตัวอย่างในครั้งที่ 3 เดือนมีนาคมพบ模ดชูบันนี้เป็นจำนวนมาก แต่พบ模ดเอมบอร์เชียพบมากและในผู้ตั้งแต่บ้านตกไม่พบ模ดในกลุ่มนี้แต่อย่างใด เนื่องจากเป็นช่วงที่มีปริมาณน้ำฝนลดลงต่อเนื่องตั้งแต่เดือนธันวาคม ปริมาณไม่ในโรงเรือนมากขึ้น ไม่เกรดซีที่ไม่อนบัน้ำยาและมีความชื้นต่ำจากการอบหรือจากการตั้งทิ้งไว้ในสภาพอากาศที่ถ่ายเทสะพัดและความชื้นสัมพัทธ์ต่ำในบางช่วงเวลาของวัน ทำให้ปริมาณอาหารของ模ดมีมากทั้งในแบบปริมาณและความต่อเนื่องประกอบกับวงจรชีวิตของ模ดชูบันน์ทำให้มอดสามารถเพิ่มปริมาณได้อย่างรวดเร็ว

อิทธิพลของปริมาณน้ำฝนต่อจำนวนของ模ดชูบันนี้เข้าทำลายไม่ยังพราแปรรูปสามารถเห็นได้ชัดเจน เมื่อพิจารณาผลการสำรวจในพื้นที่ภาคใต้ผู้ตั้งแต่บ้านออก จำนวน模ดชูบันนี้จากการสำรวจในครั้งที่ 1 ช่วงต้นฤดู

ผ่าน พbm มอด 1,017 ตัว และลดลงเหลือครั้งหนึ่งคือ pbm 621 ตัว ในการเก็บตัวอย่างครั้งที่ 2 ในช่วงปลายฤดูฝน โดยมีครั้งที่ 3 ที่พบในการเก็บตัวอย่างครั้งที่ 2 ส่วนใหญ่มาจากไม้เก่าที่เก็บภายในโรงเลื่อยก่อนฤดูฝนเป็น ส่วนใหญ่ และในการเก็บตัวอย่างในครั้งที่ 3 ในต้นฤดูร้อนช่วงเดือนมีนาคม พbm มอด 3,113 ตัว โดยมีครั้งที่ 4 ที่พบมีปริมาณมากกว่าในช่วงฤดูฝนประมาณ 3 เท่า เมื่อพิจารณากราฟปริมาณน้ำฝนใน ภาพที่ 14 จะเห็นได้ว่าปริมาณน้ำฝนในพื้นที่ศึกษาลดลงอย่างต่อเนื่องเริ่มตั้งแต่เดือนกันยายนต่อเนื่องจนถึง เดือนมกราคมและกุณภาพน้ำก่อการเก็บตัวอย่างในครั้งที่ 3

จากการศึกษาการเปลี่ยนแปลงระดับประชากรของมอดทำลายไม้ยางพาราแบบรูปในพื้นที่ภาคใต้ ได้รับอิทธิพลจากปัจจัยหลักสองปัจจัยที่มีปฏิสัมพันธ์ระหว่างกันได้แก่ ปริมาณน้ำฝนและปริมาณและความ ต่อเนื่องของอาหาร ระดับประชากรของมอดชี้ชุบสูงสุดที่พบในช่วงเดือนมีนาคมสอดคล้องกับรายงานของ Stabbing (1914) ที่รายงานระดับประชากรของมอด *S. analis* ในตอนกลางและตอนล่างของอินเดีย และ รายงานของ Guhardja (2000) รายงานการเปลี่ยนแปลงระดับประชากรของ *Xylothrips flavipes* ในพื้นปา ร็ูว์ East Kalimantan อินโดนีเซีย ว่ามอดหั้งสองชนิดพบมากในช่วงเดือนมีนาคม และปลายเดือนกุณภาพน้ำ ก่อการสูงสุดของมอดชี้ชุบในสวนยางพาราในช่วงเดือน มิถุนายน-ตุลาคม ในส่วนของระดับประชากรในรอบปีของ มอดเอมโบรเชียที่มีค่าสูงสุดในฤดูฝนสอดคล้องกับการศึกษาของ Dall'Oglie และ Filho (1997) ที่รายงานระดับประชากร สูงสุดของมอดชี้ชุบในสวนยางพาราในช่วงเดือน มิถุนายน-ตุลาคม ในส่วนของระดับประชากรในรอบปีของ มอดเอมโบรเชียที่มีค่าสูงสุดในฤดูฝนสอดคล้องกับการศึกษาของ Dall'Oglie และ Filho (1997) แต่จะ แตกต่างกับผลการศึกษาของ Dorval และคณะ (2004) ในพื้นที่สวนปาญญาลีปัตส์ในประเทศไทยที่ไม่พบ ความแตกต่างระหว่างระดับประชากรของมอดในวงศ์ย่อย Scolytinae ระหว่างฤดูร้อนและฤดูฝน และ การศึกษาของ Puranasakul (2006) ที่ไม่พบความแตกต่างของระดับประชากรของมอดในวงศ์ย่อย Platypodinae และ Scolytinae ระหว่างฤดูในพื้นที่ดอยสุเทพ-ปุย จังหวัดเชียงใหม่ อย่างไรก็ตาม ปัจจัยที่มี อิทธิพลมากที่สุดต่อระดับประชากรของมอดทำลายไม้ยางพาราในพื้นที่ศึกษาคือ ปริมาณและความต่อเนื่อง ของไม้แบบรูปที่เหมาะสมต่อการเข้าทำลายของมอดแต่ละกลุ่ม จากการสังเกตในบางโรงเลื่อยพบว่าปริมาณ ของมอดชี้ชุบที่พบภายในโรงเลื่อยยังอยู่ในระดับสูงถึงแม้ว่าจะอยู่ในช่วงกลางฤดูฝน เนื่องจากมีแบบรูปที่มี ความซึ้งตื้นต่างกันสามารถเข้าทำลายได้สูง ในขณะที่โรงเลื่อยบางโรงสามารถพบมอดเอมโบรเชียได้ในฤดู แล้งเนื่องจากกองปีกไม้ปลายไม้ได้เป็นจำนวนมาก และในบางโรงไม่พบมอดเลยไม่ว่าช่วงใดของปีเนื่องจาก ไม่มีไม้ที่มอดสามารถเข้าทำลายได้โดยภายในโรงเลื่อย

5.1.10 แมลงทำลายไม้ยางพาราบนลานชุบ

ไม่ท่อนที่กองไว้บนลานไม้มีเพื่อรอการแบบรูป หรือไม่ที่กองไว้ในสวนเพื่อรอการขนส่งเป็นเวลานานจะ มีนอดเข้าทำลาย จากผลการสำรวจไม่ท่อนบนลานไม้ภายในโรงเลื่อยในพื้นที่ภาคใต้พบเฉพาะมอดในกลุ่ม มอดเอมโบรเชียเข้าทำลายไม้ดังกล่าวเนื่องจากไม่มีความซึ้งสูง มอดส่วนใหญ่เข้าทำลายไม้ท่อนบริเวณหัวไม้

ที่ไม่มีเปลือก (ภาพที่ 15) เนื่องจากง่ายต่อการเข้าทำลาย และความชื้นในเนื้อไม้ลดลงระดับหนึ่งแล้ว นอดชนิดที่พบเข้าทำลายไม้ท่อนบนลานไม้ในพื้นที่ศึกษามากที่สุดมีเพียงชนิดเดียวได้แก่ นอด *Euplatypus parallelus* และนอดชนิดอื่นๆ ที่พบในปริมาณเล็กน้อยอีก 3 ชนิดได้แก่ *Xyleborus affinis* X. *perforans* และ *Dinoplatypus cupulatus* จากการสอบถามเจ้าหน้าที่ในโรงเรือนอยู่ส่วนใหญ่พบว่า นอดเอมบอเรียจะเริ่มเข้าทำลายไม้ท่อนหลังจากกองไม้ทึ่งไว้ประมาณ 24-48 ชั่วโมง นอกจากนอดเอมบอเรียแล้วยังพบร่องรอยการเข้าทำลายของด้วงหนวดยาว และปลวกไม้ท่อนอีกด้วย โดยการเข้าทำลายส่วนใหญ่เกิดขึ้นก่อนการตัดฟันไม้ยางพารา

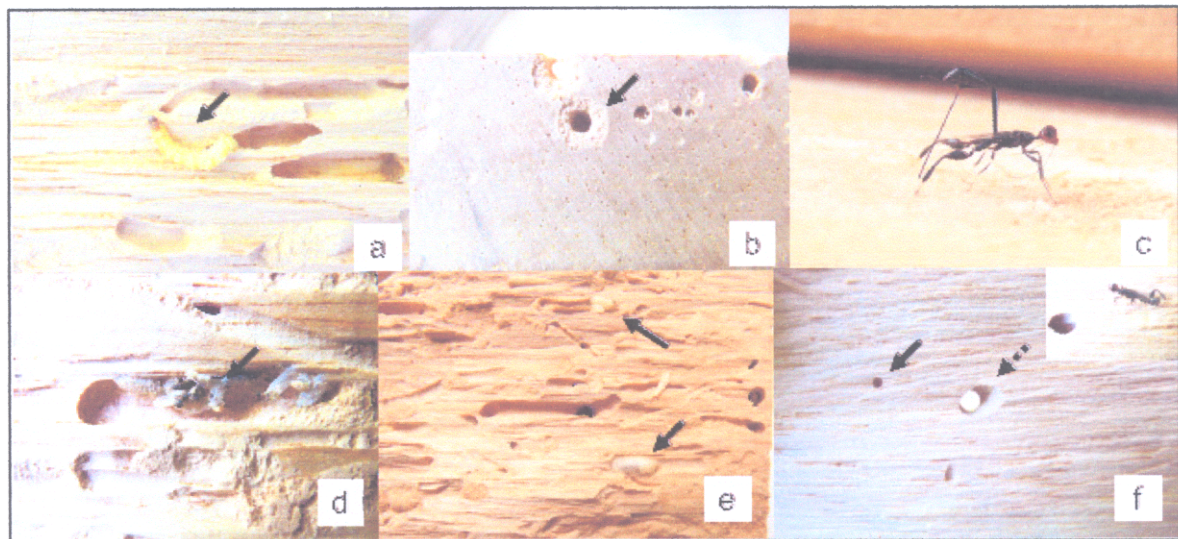


ภาพที่ 15 (a) ไม้ยางพาราที่รอการแปรรูปและพบการเข้าทำลายของนอดในกลุ่มนอดเอมบอเรีย หลังจากกองทึ่งไว้ประมาณ 3-4 วัน (b) ลักษณะการเข้าทำลายของนอดบริเวณหัวไม้ (ในวงกลม) ลึกเข้าไปในเนื้อไม้ประมาณ 5-10 เซนติเมตร

5.1.11 แมลงศัตรูธรรมชาติของนอดทำลายไม้ยางพารา

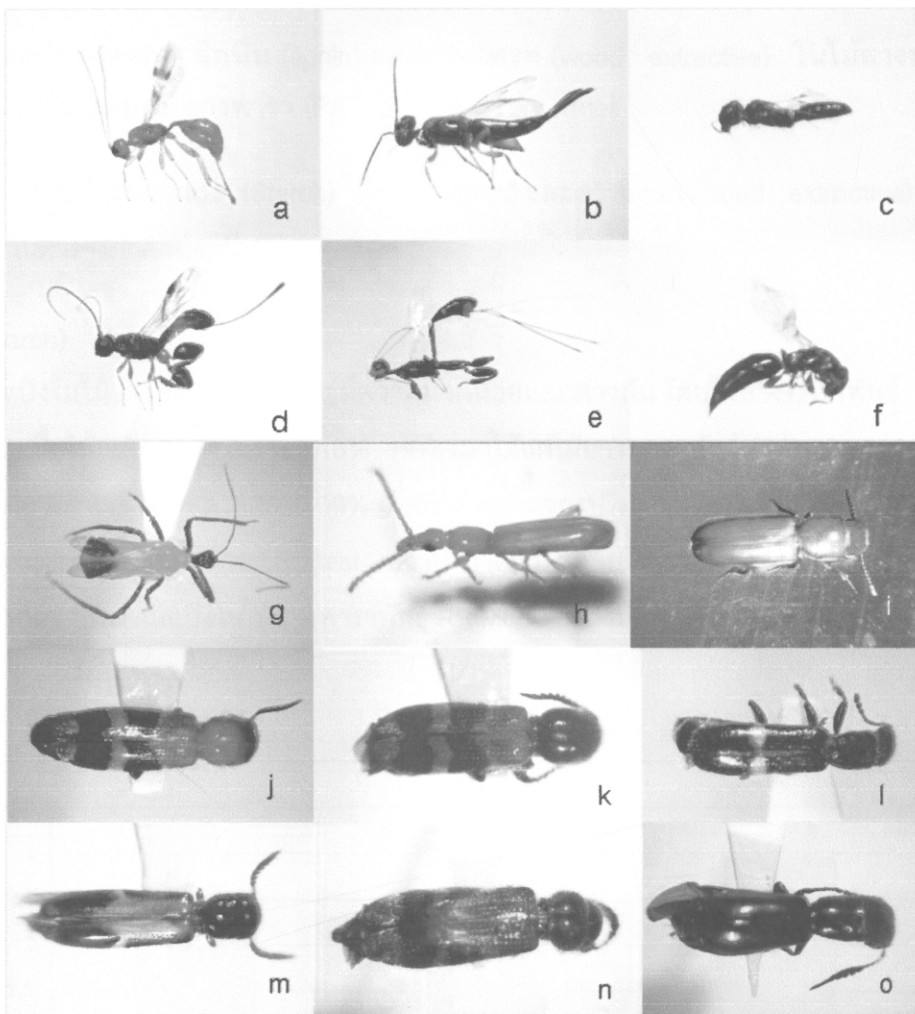
จากการเก็บตัวอย่างไม้ที่มีนอดเข้าทำลามาใส่ในกล่องดักจับแมลง นอกจากจะดักได้มอนิดิตต่างๆ แล้ว ยังได้แมลงศัตรูตามธรรมชาติของนอดทำลายไม้ยางพารากลุ่มต่างๆ ด้วย แมลงเหล่านี้ส่วนใหญ่ดักจับได้จากตัวอย่างไม้จากการสำรวจครั้งที่ 1 ในการสำรวจครั้งที่ 2 และ 3 พบร่วมแมลงศัตรูธรรมชาติเล็กน้อยเท่านั้น แมลงศัตรูธรรมชาติเหล่านี้ส่วนใหญ่ดักจับได้จากตัวอย่างไม้ที่ถูกนอดขีดขูดเข้าทำลาย ในตัวอย่างไม้ที่มีนอดเอมบอเรียเข้าทำลายพบในปริมาณน้อยมากเมื่อเทียบกับตัวอย่างไม้ที่มีนอดขีดขูดเข้าทำลาย และอาจกล่าวได้ว่าแมลงเหล่านี้เป็นแมลงศัตรูของนอดขีดขูด แมลงศัตรูธรรมชาติที่ดักจับได้มากที่สุดได้แก่กลุ่มแตนเบียน (ภาพที่ 17a-f) และด้วงกรดูกัสต์ (Cleridae) (ภาพที่ 17j-o) กลุ่มที่พบรองลงมาโดยมีจำนวนน้อยกว่าสองกลุ่มแรกมากได้แก่แมลงปีกแข็งวงศ์ต่างๆ ได้แก่ วงศ์ Brentidae Cucujidae Tenebrionidae และมวน

เพชฌฆาต ในวงศ์ Reduviidae (ภาพที่ 17g-i) แต่นเป็นวงศ์ที่พบมากที่สุดได้แก่ วงศ์ Chalcididae และ Braconidae แต่นเป็นเหล่านี้มีความสามารถในการใช้ประสาทสัมผัสของอวัยวะสำหรับวางไข่ (ovipositor) ในการค้นหาตัวอ่อนของมดที่เหมาะสมต่อการวางไข่ของแต่นเป็นจากภายนอกไม้และสอดอวัยวะสำหรับวางไข่ผ่านเนื้อไม้เข้าไปเพื่อวางไข่ในตัวอ่อนของมด (ภาพที่ 16c) ระยะของตัวอ่อนของมดที่แต่นเป็นเป็นคาดว่าเป็นระยะตัวหนอนระยะที่ 2-3 เนื่องจากเมื่อผ่านระยะของมดออกมานดูพบว่าแต่นเป็นส่วนใหญ่ออกจากตัวหนอนมาเข้าดักแด่บริเวณที่มดเดินเข้าดักแด่



ภาพที่ 16 แมลงศัตรูธรรมชาติของมดชี้ชุย (a) ระยะตัวหนอนของด้วงกระดูกสัตว์สามารถเจาะเข้าไปในเนื้อไม้หรือทางเดินของตัวหนอนของมดชี้ชุยเพื่อนำเนื้อไปได้ (b) ลูกศรแสดงถึงตัวหนอนของด้วงกระดูกสัตว์เจ้าภายในรูทางเดินของตัวหนอนของมดชี้ชุย (c) แต่นเป็นเพศเมียใช้อวัยวะวางไข่ (Ovipositor) แทงทะลุไม้เพื่อวางไข่ภายในรังของมด (d) และ (e) ลูกศรแสดงดักแด้ของแต่นเป็นบริเวณที่มดเดินเข้าดักแด้ (f) ลูกศรทิบแสดงถึงจะออกซ์ของแต่นเป็นตัวเต็มวัยมีลักษณะกลมเล็กกว่ารูเจ้าออกของมด ลูกศรประแสดงถึงหูที่หนอนของด้วงกระดูกสัตว์จะเจาะเพื่อนำอาหาร ภาพเล็กมุมขวาแทนเป็นกำลังจะออกจากไม้

จากการสังเกตุการเปลี่ยนต่อตัวหนอนของมดหนึ่งตัว พบรักแด้ของแต่นเป็นขนาดเล็กมากกว่าหนึ่งตัว ในขณะที่แต่นเป็นขนาดใหญ่จะพบเพียงตัวเดียว (ภาพที่ 16d, e) เมื่อแต่นเป็นโตเป็นตัวเต็มวัย แมลงจะเจาะรูทะลุไม้ออกมานสู่ภายนอก โดยลักษณะรูทางออกของแต่นเป็นมีลักษณะกลมขนาดเล็กกว่ารูทางออกของของมด



ภาพที่ 17 แมลงศัตรูธรรมชาติของมดชี้ชุย (a)-(f) แตนเป็นชนิดต่างๆ (g) มวนกินมด *Vesbius purpureus* (Reduviidae) (h) ด้วงวงศ์ Brentidae (i) ด้วง unknown (j)-(o) ด้วงกระดูกสัตว์ วงศ์ Cleridae

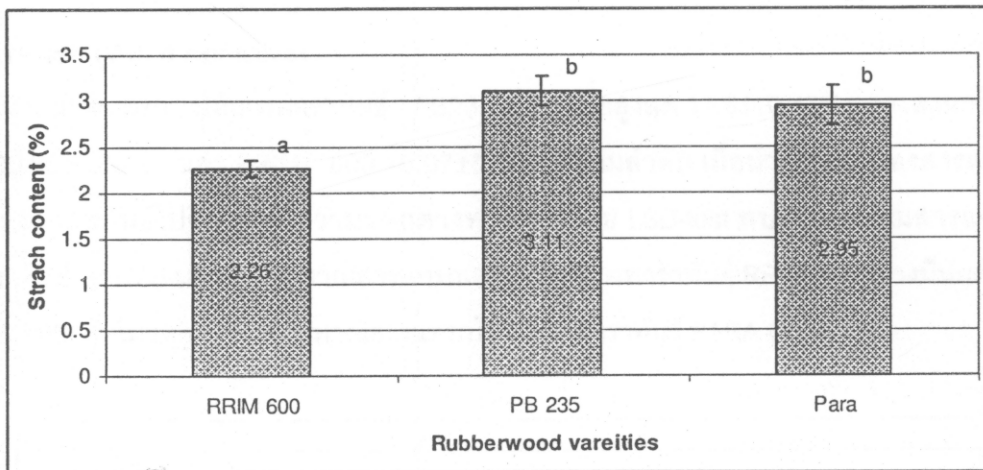
แมลงอีกกลุ่มนึงซึ่งมีบทบาทสำคัญในการควบคุมระดับประชากรของมดชี้ชุยได้แก่ ด้วงกระดูกสัตว์ ในวงศ์ Cleridae (Coleoptera) โดยแมลงในกลุ่มนี้ทั้งตัวอ่อนและตัวเต็มวัยกินมดเป็นอาหาร ตัวหนอนของด้วงกระดูกสัตว์เป็นตัวอ่อนชนิด campodeiform สามารถเคลื่อนไหวได้ดี ตัวหนอนของแมลงชนิดนี้จะขอนไชเข้าไปในรังหรือทางเดินของตัวหนอนของมดชี้ชุยและจับตัวหนอนเป็นอาหารทำให้การล่ามีประสิทธิภาพเพิ่มเดียวกับแตนเป็นน้ำ ด้วงกระดูกสัตว์ตัวเต็มวัยเป็นผู้ล่าเพิ่มเดียวกับตัวหนอน โดยล่าตัวเต็มวัยของมดเป็นอาหาร จากการสังเกตแมลงกลุ่มนี้ในโรงเรือนพบว่าด้วงตัวเต็มวัยมีพฤติกรรมการหาอาหารกัดเนื้อไม้เพื่อหาอาหารด้วย ทำให้เกิดตำหนินไม้แปรรูป โดยลักษณะการกัดเนื้อไม้จะเป็นแบบด้านข้างของไม้แปรรูปทิศทางการกัดแนวบานไปล่างขนาดใหญ่กว่าฐานทางเดินของมดไม่เป็นรูทางเดินเหมือนดังเช่นลักษณะการทำลายของมดชี้ชุย

5.2 ปริมาณแป้ง (starch) ลิกนิน (lignin) และสารแทรก (wood extractive) ในไม้ยางพาราพันธุ์ RRIM600 PB235 และ ยางพารา (PARA) ที่ใช้ในการทดลอง

ผลการวิเคราะห์ปริมาณแป้ง (Starch) ลิกนิน (lignin) และสารแทรก (wood extractive) ในแต่ละตัวอย่างแสดงในตารางภาคผนวกที่ 4

แป้ง (Starch)

ปริมาณแป้งในไม้ยางพาราแต่ละพันธุ์มีความมากน้อยแตกต่างกัน โดยไม้ยางพาราพันธุ์ PB235 มีปริมาณแป้งในเนื้อไม้เฉลี่ยสูงสุด $3.11 \pm 0.16\%$ รองลงมาได้แก่ไม้ยางพาราพันธุ์ PARA $2.95 \pm 0.21\%$ และพันธุ์ RRIM 600 มีค่าเฉลี่ยต่ำสุด $2.26 \pm 0.09\%$ เมื่อนำค่าเฉลี่ยของปริมาณแป้งในไม้ยางพาราแต่ละพันธุ์ไปวิเคราะห์ความแตกต่างทางสถิติด้วย LSD test พบว่าปริมาณแป้งเฉลี่ยในไม้ยางพาราพันธุ์ PB235 และพันธุ์ PARA มีค่ามากกว่าปริมาณแป้งในไม้ยางพาราพันธุ์ RRIM600 อย่างมีนัยสำคัญทางสถิติ ($p < 0.001$) (ภาพที่ 18)

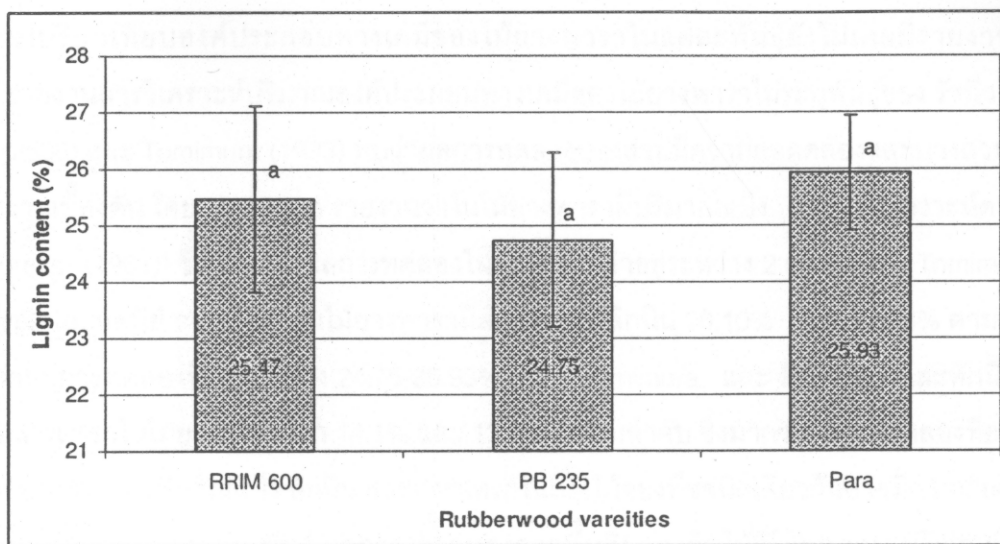


ภาพที่ 18 เปอร์เซ็นต์แป้งเฉลี่ยในไม้ยางพาราพันธุ์ RRIM600 PB235 และ PARA วิเคราะห์ด้วยวิธี Browning (1967)

ตัวอักษรแสดงค่าความแตกต่างทางสถิติที่ระดับความเชื่อมั่น 99% วิเคราะห์ด้วย LSD-test

ลิกนิน (Lignin)

ปริมาณลิกนินในไม้ยางพาราพันธุ์ PARA มีค่าเฉลี่ยสูงสุด $25.93 \pm 1.01\%$ รองลงมาได้แก่พันธุ์ RRIM 600 $25.47 \pm 1.65\%$ และพันธุ์ PB235 $24.75 \pm 1.15\%$ ตามลำดับ เมื่อนำค่าเฉลี่ยของลิกนินในแต่ละพันธุ์ไปวิเคราะห์ความแตกต่างทางสถิติด้วย LSD-test ผลปรากฏว่าไม่พบความแตกต่างทางสถิติของปริมาณลิกนินในเนื้อไม้ระหว่างพันธุ์ยางพาราแต่อย่างใด (ภาพที่ 19)

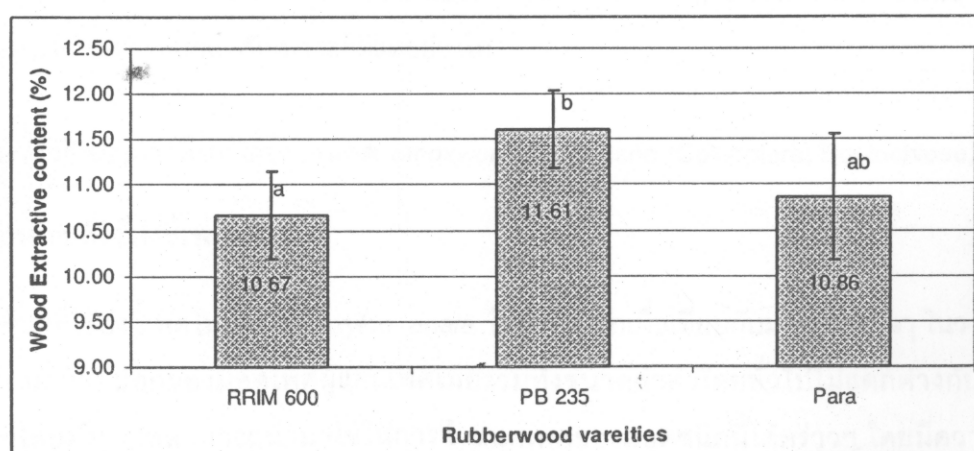


ภาพที่ 19 ปริมาณลิกนินเฉลี่ย (%) ในไม้ยางพาราพันธุ์ RRIM600 PB235 และ PARA วิเคราะห์ด้วยวิธี T222 cm-02 (TAPPI, 2002)

ตัวอักษรแสดงค่าความแตกต่างทางสถิติที่ระดับความเชื่อมั่น 95% วิเคราะห์ด้วย LSD-test

สารแทรก (Wood extractive)

ปริมาณสารแทรกในไม้ยางพาราพันธุ์ PB235 มีค่าเฉลี่ยสูงสุด $11.61 \pm 0.43\%$ รองลงมาได้แก่ พันธุ์ PARA $10.86 \pm 0.69\%$ และ RRIM 600 $10.67 \pm 0.48\%$ ตามลำดับ เมื่อนำค่าเฉลี่ยของสารแทรกในไม้ยางพาราแต่ละพันธุ์ไปวิเคราะห์ความแตกต่างทางสถิติด้วย LSD-test พบว่า ปริมาณสารแทรกในไม้ยางพาราพันธุ์ PB235 มากกว่าปริมาณสารแทรกเฉลี่ยในไม้ยางพาราพันธุ์ RRIM 600 ยางมีนัยสำคัญทางสถิติ ($p < 0.05$) แต่ไม่แตกต่างจากปริมาณสารแทรกในไม้ยางพาราพันธุ์ PARA (ภาพที่ 20)



ภาพที่ 20 ปริมาณสารแทรกเฉลี่ย (%) ในไม้ยางพาราพันธุ์ RRIM600 PB235 และ PARA วิเคราะห์ด้วยวิธี T 204 cm-97 (TAPPI, 1997)

ตัวอักษรแสดงค่าความแตกต่างทางสถิติที่ระดับความเชื่อมั่น 95% วิเคราะห์ด้วย LSD-test

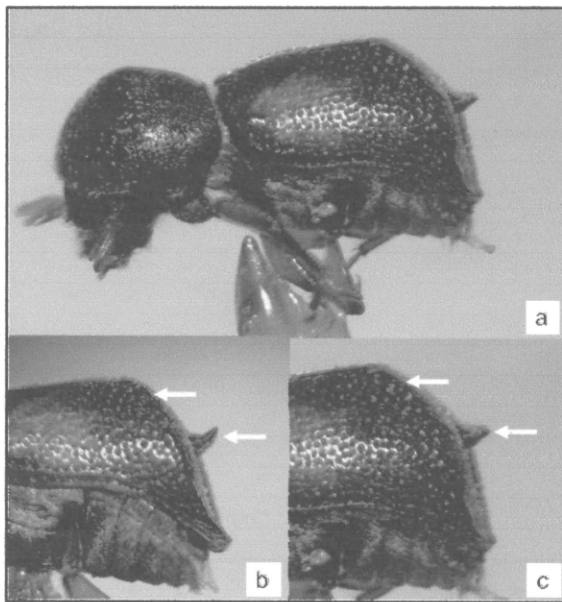
การเปรียบเทียบของค่าประกอบทางเคมีของไม้ย่างพาราในแต่ละพันธุ์ยังไม่เคยมีรายงานมาก่อน แต่จากรายงานการวิเคราะห์ปริมาณองค์ประกอบทางเคมีของไม้ย่างพาราในระบุพันธุ์ของ รัชนีวรรณ และ ทัศนีย์ (2538) และ Tomimura (1993) พบว่าผลการทดลองบางส่วนมีความสอดคล้องและบางส่วนแตกต่าง กับรายงานเบื้องต้น โดย Tomimura รายงานว่าในไม้ย่างพารามีปริมาณแป้ง 6.3% (วิเคราะห์ตามวิธีของ Humphreys (1961)) ซึ่งมากกว่าผลการทดลองในครั้งนี้ซึ่งมีค่าอยู่ระหว่าง 2.66-3.11% Tomimura และ รัชนีวรรณ และทัศนีย์ รายงานว่าในไม้ย่างพารามีสัดส่วนของลิกนิน 20.10% และ 18.06% ตามลำดับ ซึ่ง น้อยกว่าผลการทดลองที่อยู่ระหว่าง 24.75-25.93% และ Tomimura และ รัชนีวรรณ และทัศนีย์ ระบุว่า ปริมาณสารแทรกในไม้ย่างพารามีค่า 14.1% และ 13.28% ตามลำดับ ซึ่งมากกว่าผลการทดลองที่อยู่ระหว่าง 10.67-11.61% ปริมาณแป้ง ลิกนิน และสารแทรกในเนื้อไม้ของพืชชนิดเดียวกันอาจมีความแตกต่างกัน ได้ขึ้นอยู่กับปัจจัยต่างๆ เช่น พันธุ์ ถูกากล ความสูงจากพื้นดินของข้าวไม้ที่ใช้ทดสอบ บริเวณต่างๆ ของ พื้นที่หน้าตัดของต้นไม้ พืชชนิดเดียวกันมีปริมาณแป้งในเนื้อไม้แตกต่างกันขึ้นอยู่กับ ถูกากล และ พันธุ์ แต่ ปัจจัยของถูกากลจะมีอิทธิพลมากกว่าพันธุ์โดยเฉพาะพืชในเขตตอนอุ่น และในบางถูกากลพันธุ์หนึ่งอาจมีปริมาณ แป้งมากกว่าอีกพันธุ์แต่ในบางถูกากลอาจน้อยกว่า (Sivaci, 2006) ในไม้ย่างพารามีแนวโน้มคล้ายคลึงกันโดย ปริมาณแป้งในไม้ย่างพาราจะลดลงในช่วงที่ต้นย่างพาราพัฒนาตัวและการแตกและพัฒนาการของใบใหม่ (Silpi et al., 2007) ในไม้ย่างพาราเป็นไม้ผลัดใบปริมาณแป้งในไม้ย่างพาราจะมีปริมาณลดลงอย่างมาก หลังจากแตกใบอ่อน นอกจากการแตกใบใหม่แล้ว การกรีดยางและความต่อเนื่องในการกรีดก็มีผลต่อต่อ ปริมาณแป้งในไม้ย่างพารา โดยการกรีดยางติดต่อกันหลายวันจะทำให้ปริมาณแป้งในไม้ย่างลดลงสอดคล้องกับ จำนวนวันที่กรีด

เมื่อนำปริมาณแป้ง ลิกนิน และสารแทรกในไม้ย่างพาราไปวิเคราะห์ความสัมพันธ์ด้วย Pearson correlation พบว่าปริมาณลิกนินในเนื้อไม้แปรงผ่านกับปริมาณแป้งและสารแทรกในเนื้อไม้ แต่ไม่มี ความสัมพันธ์กันอย่างมีนัยสำคัญทางสถิติแต่อย่างใด

5.3 ศึกษาชีวิทยาการสืบพันธุ์ของมด *Sinoxylon anale* Lesne (Coleoptera; Bostrichidae)

5.3.1 ลักษณะที่ใช้ปั่งชี้เพศ

ลักษณะที่ใช้ปั่งชี้เพศในมด *Sinoxylon anale* ไม่ชัดเจนนักเมื่อเทียบกับมดชนิดอื่นๆ ในวงศ์เดียวกัน โดยลักษณะภายนอกของมดเพศผู้และเพศเมียร่วมทั้งขนาดลำตัวโดยทั่วไปไม่แตกต่างกัน ลักษณะ ภายนอกโดยสังเขปที่สามารถนำมาใช้ในการจำแนกเพศของมดชนิดนี้ได้คร่าวๆ โดยมีความแม่นยำ ประมาณ 80-90% ได้แก่ลักษณะของหนาม (spine) และลักษณะของขอบปีกบริเวณที่ตัด (declivity) ของ แมลงชนิดนี้ (ภาพที่ 21)



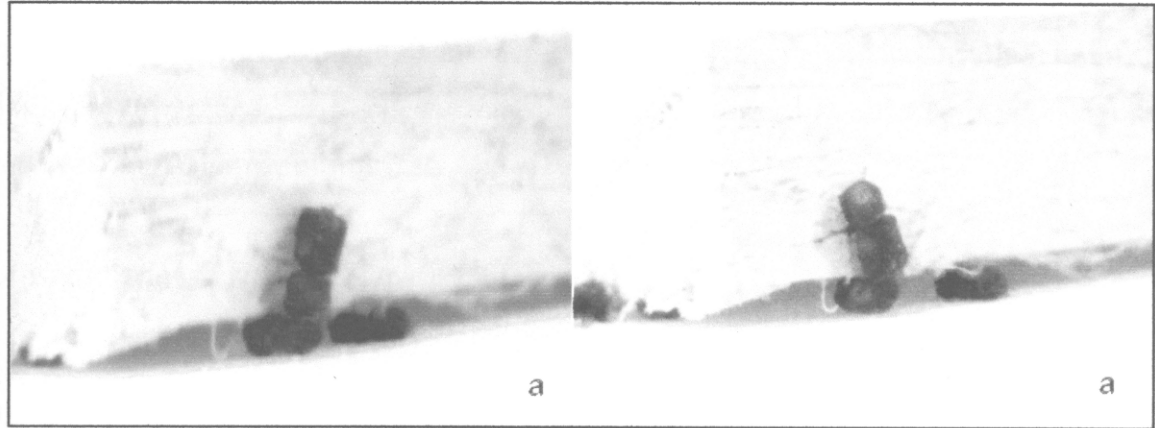
ภาพที่ 21 ลักษณะภายนอกที่ใช้ระบุเพศในมอด *Sinoxylon anale* Lesne (a) ลักษณะทั่วไปของมอดชนิดนี้ บริเวณปลายปีกมีลักษณะตัด (declivity) และมีหนาม 1 คู่ทั้งเพศผู้และเพศเมีย (b) ลักษณะที่ใช้ระบุเพศของ เพศผู้ หนามมีลักษณะเรียบแหลม $\frac{1}{4}$ - $\frac{3}{4}$ ส่วนของหนามจะโค้งขึ้นด้านบน ขอบด้านบนของปีกที่มีลักษณะตัด (declivity) เป็นสันนูนขึ้นชัดเจน (c) เพศเมียหนามยื่นตรงขานกับพื้นไปด้านหลังไม่โค้งขึ้นเหมือนในเพศผู้ หนามมีลักษณะป้อม และขอบด้านบนของปีกบริเวณที่ตัดเป็นสันนูนไม่ชัดเท่าในเพศผู้

ลักษณะหนามของเพศผู้จะงอนขึ้นด้านบนคล้ายตะขอ โดยลักษณะการงอนขึ้นอาจมีความมากน้อย แตกต่างกัน ในบางตัวค่อนข้างชัดเจน หนามเริ่มงอนขึ้น ตั้งแต่ $\frac{3}{4}$ ของความยาว แต่ในบางตัวอาจไม่ชัดเจน โดยส่วนที่งอนขึ้นด้านบนเป็นเพียงส่วนปลายสุดประมาณ $\frac{1}{4}$ ของความยาวและสังเกตเห็นได้ค่อนข้างยาก ในเพศเมียลักษณะหนามจะไม่งอนขึ้นด้านบนแต่จะแหลมและตรงส่วนปลายซึ่งไปด้านท้าย และลักษณะของ หนามจะป้อมและสั้นกว่าเพศผู้

5.3.2 พฤติกรรมการการเกี้ยวพาราสี (course ship behavior)

มอดชี้ชู *S. anale* มีพฤติกรรมการการเกี้ยวพาราสี (course ship behavior) เช่นเดียวกับมอดชี้ชูชนิดอื่นๆ ในวงศ์เดียวกัน เมื่อปล่อยมอด *S. anale* บนไม้ยางพาราขนาด $10 \times 15 \times 1$ ลูกบาศก์เซนติเมตร ที่ใช้เลี้ยง ทดสอบ มอดทั้งเพศผู้และเพศเมียจะสำรวจไม้ยางพาราทั้งชิ้น เมื่อมอดต่างเพมาพบกันมอดทั้งสองตัวจะใช้ ขาคู่หน้าและหนวดมาสัมผัสกัน โดยขาและหนวดจะเคลื่อนที่อย่างรวดเร็วเมื่อถึงขั้นตอนนี้หากมอดเพศเมีย ยอมรับและยอมให้ผสมพันธุ์ มอดทั้งสองเพศจะกลับหลังเข้าส่วนของห้อง (abdomen) มากันหลังจากนั้น เพศผู้จะใช้ขาคู่หลังสัมผัสบริเวณปลายห้องของเพศเมียเพื่อกระตุ้นเพศเมีย เมื่อเพศเมียพร้อมเพศผู้จะสอด

ขอวัยเพศ (genitalia) คล้ายท่อเข้าสู่ท้องของเพศเมีย การผสมพันธุ์จะใช้เวลาสั้นๆ ประมาณ 5-6 วินาที ไม่รวมระยะเวลาเกี้ยวพาราสี (ภาพที่ 22)



ภาพที่ 22 (a) พฤติกรรมการเกี้ยวพาราสีของมด *S. analis* เพศผู้ใช้ขาคู่หน้าและหนวดสัมผัสกับ abdomen ของเพศเมีย (b) เมื่อเพศเมียพร้อมผสมพันธุ์เพศผู้จะนำส่วนของ abdomen ชนกับ abdomen ของเพศเมีย และสอดขอวัยเพศลักษณะคล้ายท่อเข้าสู่เพศเมียโดยใช้ขาคู่หลังสัมผัสนำ

ในกรณีที่มดเพศเมียไม่พร้อมที่จะผสมพันธุ์ มดเพศเมียจะปฏิเสธการผสมพันธุ์ โดยงัดหรือผลักเพศผู้ออกไป การผสมพันธุ์ของมดเมื่อมดเพศเมียเจาะรูเข้าไประยะหนึ่งสามารถทำได้เช่นเดียวกัน โดยมดจะใช้การกระตุนเข่นเดียวกับในกรณีที่อยู่ภายนอก มดเพศผู้จะใช้ขาคู่หน้าสัมผัสกับท้องของเพศเมียนี่คือเพศเมียยอมให้ผสมพันธุ์เพศผู้จะกลับหลังและผสมพันธุ์

พฤติกรรมการเกี้ยวพาราสีของมด *Sinoxylon analis* โดยทั่วไปเหมือนกับพฤติกรรมการเกี้ยวพาราสีของมดวงศ์ย่อยเดียวกันได้แก่ *Heterobostrycus aequalis* *Xylodectus ornatus* *Xylothrips flavipes* *Xylopsocus capucinus* และ *X. redula* (วิสุทธิ์, ไม่ตีพิมพ์) แต่จะแตกต่างกับมด *Prosthephanus truncatus* (Horn) ซึ่งเป็นมดขนาดเล็กในวงศ์ย่อย *Dinoderinae* เล็กน้อยในขั้นตอนการผสมพันธุ์ (mating) มด *P. truncatus* มดเพศผู้จะขึ้นชี้หัวลงเพศเมีย (Nansen and Meikle, 2002)

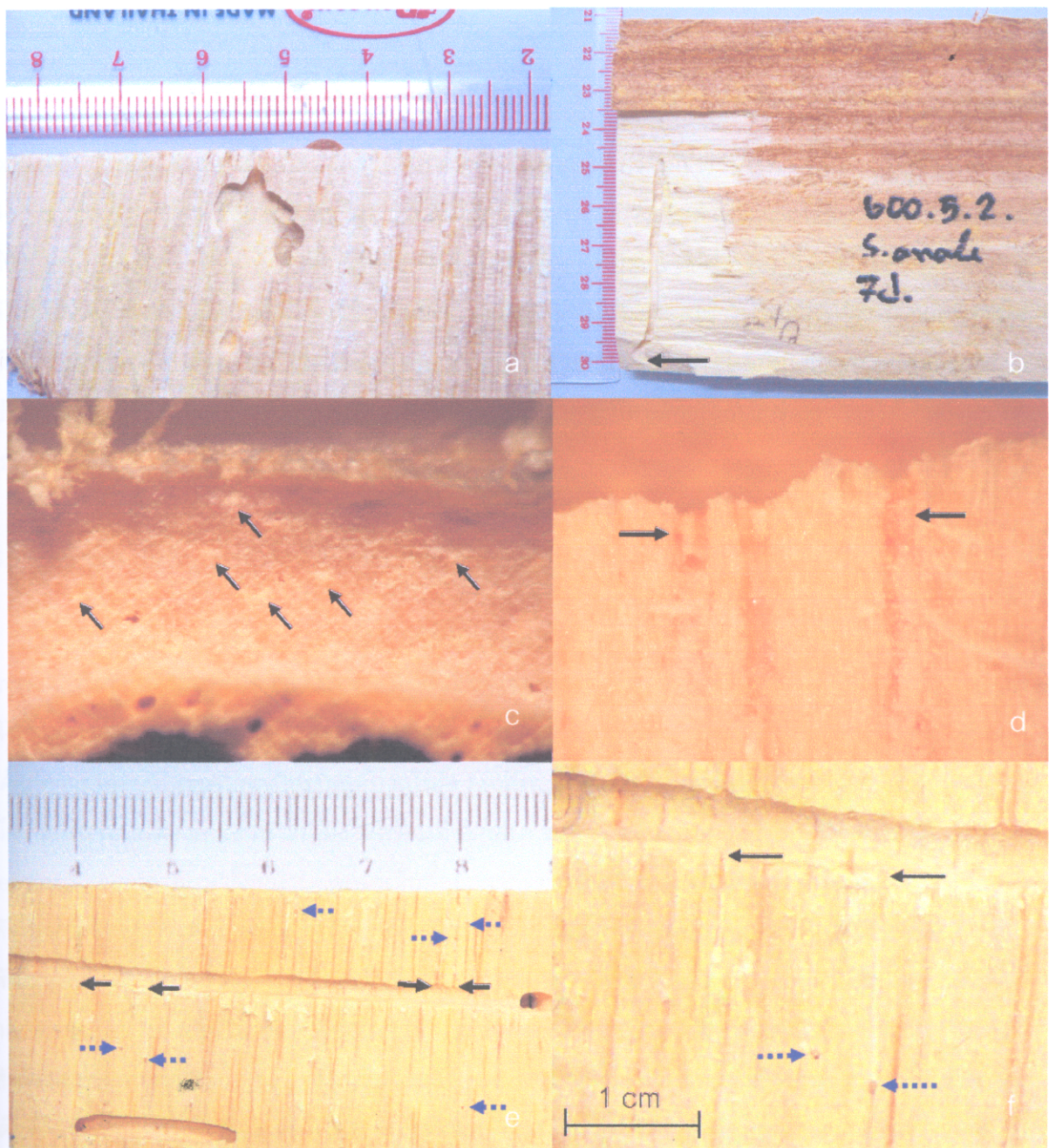
5.3.3 พฤติกรรมการป้องกันถิ่นอาศัย (territorial defense behavior)

มด *S. analis* มีพฤติกรรมหวงถิ่นโดยมดบางตัวเคลื่อนที่รอบบริเวณชิ้นไม้และต่อสู้เพื่อผลักดันมดเพศเดียวกันออกจากชิ้นไม้โดยการใช้ส่วนหัวดันหรือขวิดฝ่ายตรงข้ามให้ตกรจากชิ้นไม้ มดบางตัวอาจไม่มีพฤติกรรมหวงถิ่นในระยะก่อนการเจาะเข้าไปในเนื้อไม้แต่จะเริ่มต่อสู้ป้องกันถิ่นเมื่อมดเริ่มเจาะรูเข้าไปในเนื้อไม้แล้ว โดยในระยะแรกจะต่อสู้ป้องกันบริเวณที่มดเจาะเข้าทำลาย เมื่อมีมดตัวอื่นเข้ามาใกล้ มด

จะออกจากรูและเข้าต่ออีก เมื่อมอดเจาะรูลึกพอสมควรแล้วมอดจะไม่ออกมาต่ออีกแต่จะใช้บริเวณปลายปีกที่มีลักษณะตัดซึ่งปิดปากรูได้พอดีมาปิดปากรู เมื่อมีมอดตัวอื่นมาบุกรุกโดยพฤติกรรมการหง่านถินนี้ในเพศผู้จะมีความรุนแรงกว่าในเพศเมีย จากการสังเกตในห้องทดลองพฤติกรรมการป้องกันถินอาศัยของมอด *S. analis* มีความรุนแรงใกล้เคียงกับมอดในสกุลเดียวกันคือ *S. unidentatum* และมีความรุนแรงกว่ามอดชนิดอื่นในวงศ์เดียวกันได้แก่ *H. aequalis* *Xylodectus ornatus* *Xylothrips flavipes* *Xylopsocus capucinus* และ *X. redula* ตามลำดับ (วิสุทธิ์, ไม่ตีพิมพ์)

5.3.4 พฤติกรรมการสร้างรังวางไข่ (nesting behavior)

เมื่อปล่อยมอด *S. analis* ที่ใช้ทดสอบการสร้างรังเพศผู้และเพศเมียอย่างละ 1 ตัวในภาชนะที่มีไม้ยางพาราขนาด 10x10x1 ลูกบาศก์เซนติเมตร สำหรับสร้างรังวางไข่ หลังจากมอดเจ้าเข้าไปในเนื้อไม้แล้ว มอดมีรูปแบบการตอบสนอง 2 รูปแบบ รูปแบบแรกมอดจะกัดกินภายในเนื้อไม้จนเป็นแฉ่งหรือบริเวณกว้าง ไม่มีรูปแบบที่แน่นอน (ภาพที่ 23a) มอดดังกล่าวจะไม่วางไข่ในระยะนี้ คาดว่ามอดกลุ่มนี้ยังไม่พร้อมที่สำหรับผสมพันธุ์วางไข่ เป็นไปได้ว่ามอดต้องกินอาหารอีกระยะหนึ่งเพื่อให้มอดโตเต็มที่พร้อมผสมพันธุ์ (maturation feeding) โดยมอดจะใช้บริเวณที่กัดกินนี้เป็นพื้นที่สำหรับผสมพันธุ์ด้วย (gnuptial chamber) และหลังจากผสมพันธุ์แล้วมอดเพศเมียจะเจาะลึกเข้าไปในเนื้อไม้เป็นทางเดินสำหรับวางไข่ต่อไป (Slabbling, 1914)



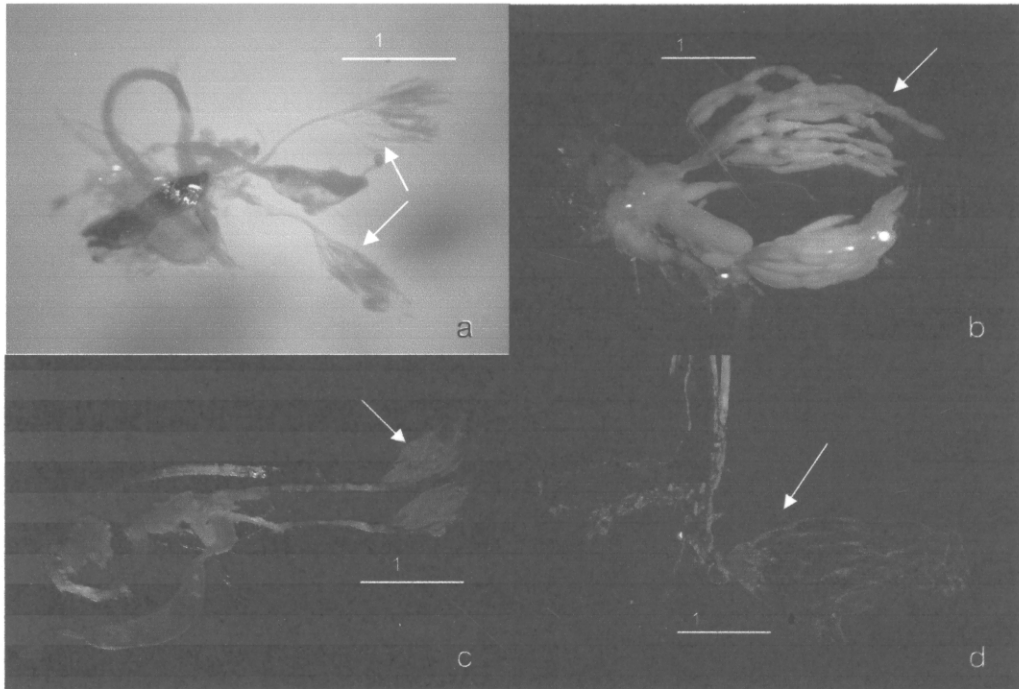
ภาพที่ 23 ลักษณะรังและการวางไข่ของมด *S. analis* (a) ร่องรอยการกัดกินก่อนการผสมพันธุ์ (maturation feeding) ของตัวเต็มวัยและขณะเดียวกันก็เป็นบริเวณที่ใช้ในการผสมพันธุ์ (nuptial chamber) (b) รูทางเดินเพื่อวางไข่ (egg-tunnel) ของมดรุนพ่อแม่จะตัดขวางเส้นใย ลูกศรแสดงช่องทางเจาะข้าวของมด (c) ลักษณะการวางไข่ของมด *S. analis* ลูกศรแสดงจุดที่มอดวางไข่ (egg-chamber) ในท่อลำเลียงน้ำ (xylem) (d) ภาพตัดตามยาวบริเวณที่มอดวางไข่ ลูกศรทิบแสดงจุดที่มอดวางไข่ภายในท่อลำเลียงน้ำ ลูกศรแสดงทางเดินของหนอนกัดกินหลังจากพักออกจากไข่ (e) และ (f) ลักษณะรังอายุ 21 วันหลังจากปล่อยแมลงลูกศรทิบแสดงจุดที่มอดวางไข่เบริญบเทียบกับทางเดินแมลง ลูกศรประแสดงตำแหน่งตัวหนอน

การตอบสนองรูปแบบที่ 2 มอดจะเจาะเข้าไปในเนื้อไม้ในลักษณะวางเสี้ยนตัดท่อลำเลียงน้ำ (xylems) ทำให้ท่อลำเลียงน้ำเปิดออกภายในรูทางเดินเพื่อวางไข่ ความยาวของรูทางเดินระยะทางประมาณ 5-8 เซนติเมตร (ภาพที่ 23b) และจะเริ่มวางไข่ทันทีหลังจากเจาะทางเดินสำหรับวางไข่ลึกประมาณ 2-3 ซม. ส่วนในญี่ปุ่นอดที่สร้างรังลักษณะนี้จะเป็นมอดที่ได้รับการผสมพันธุ์แล้วและพร้อมที่จะวางไข่ (ภาพที่ 23b) ลักษณะการวางไข่มอดเพศเมียจะใช้อวัยวางไข่ (ovipositor) ลดดเข้าไปในท่อลำเลียงน้ำและวางไข่เดียวๆ รอบทางเดินสำหรับวางไข่ (egg-tunnel) ไข่มีสีขาวๆ นูนรูปทรงกระบอกปลายมน ขนาดกว้างยาวประมาณ 0.2×0.5 มิลลิเมตร เมื่อวางไข่เรียบร้อยแล้วเพศเมียจะปิดท่อลำเลียงน้ำที่มอดวางไข่ไว้โดยการกัดไม้เพื่อปิดรังหรือใช้ชี้ชี้ปิดปากรู (ภาพที่ 23c)

5.3.5 ความพร้อมในการผสมพันธุ์วางไข่ของตัวเต็มวัยหลังจากบินออกจากรัง

หลังจากมอด *S. analis* รุ่นลูกพัฒนาเป็นตัวเต็มวัยมอดจะบินออกจากไม้ที่มอดเข้าทำลาย (reproductive flight) หรืออาจเข้าทำลายไม้หนึ่งใหม่และสร้างรังวางไข่ในไม้นั้นซ้ำ (re-infestation) จากการสังเกตพบว่าระยะเวลาที่มอดบินออกจากไม้หลังจากเป็นตัวเต็มวัยมีความแตกต่างกัน โดยมีปัจจัยที่สำคัญได้แก่ ความหนาแน่นของประชากรรุ่นลูกภายในรัง รังที่มีความหนาแน่นสูงมอดจะเจาะออกจากรังเร็วกว่ารังที่มีความหนาแน่นต่ำ และส่วนใหญ่ยังไม่พร้อมที่จะผสมพันธุ์วางไข่ต้องกินอาหารอีกระยะหนึ่ง (maturation feeding) จากการศึกษาโดยนำมอดเพศเมียที่ออกจากรังใหม่ๆ จำนวน 15 ตัวจากขึ้นไม้ที่แตกต่างกันมาดูพัฒนาการของรังไข่ของมอดพบว่าพัฒนาการของรังไข่มีความแตกต่างกันอย่างมาก ตั้งแต่รังไข่ที่มีขนาดเล็กพัฒนาน้อยมากจนถึงรังไข่ที่มีไข่ที่แก่เต็มที่แล้ว (ภาพที่ 24) เมื่อนำมอดที่ออกมาจากรังใหม่ๆ มาเลี้ยงในกล่องพลาสติกใส่ที่มีข้าวไม้ย่างพาราเป็นอาหารระยะเวลา 7 วัน เพื่อดูพัฒนาการของรังไข่พบว่า รังไข่ยังมีพัฒนาการที่แตกต่างกันมากแสดงให้เห็นว่าหลังจากมอดเป็นตัวเต็มวัยมอดอย่างต้องกินอาหารเพื่อให้มอดโตเต็มที่พร้อมที่จะผสมพันธุ์ และต้องใช้ระยะเวลาอีกระยะหนึ่งมากกว่า 7 วัน โดยระยะเวลาดังกล่าวขึ้นอยู่กับระยะเวลาที่มอดบินออกจากรังหลังจากเป็นตัวเต็มวัย

พัฒนาการของรังไข่ของมอดตัวเต็มวัยที่บินออกจากรังใหม่ๆ แตกต่างกันมากทำให้การเบรียบที่ยับผลของพันธุ์ไม้ย่างพาราต่อพัฒนาการของรังมีข้อจำกัดและข้อมูลที่ได้จะไม่สามารถยืนยันผลของการพันธุ์ต่อความแตกต่างของพัฒนาการของรังได้ การศึกษาจึงทำได้เพียงการบูรรายการพัฒนาการของรังโดยสังเขป และประเมินพัฒนาการของรังของมอดชนิดนี้โดยรวม



ภาพที่ 24 ภาพรังไข่ของมอด *Sinoxylon anale* ตัวเต็มวัย (a) และ (b) รังไข่ของมอดที่บินออกจากรังใหม่ๆ และ (c) และ (d) รังไข่ของมอดที่เลี้ยงในห้องทดลอง 7 วัน (a) และ (c) รังไข่ที่มีการพัฒนาน้อยมากยังไม่มีไข่อ่อนปรากฏให้เห็น (b) และ (d) รังไข่ที่พัฒนาสูงมีไข่ที่ปรากฏเห็นได้ชัด
หมายเหตุ: (b) ให้แสงด้านบน (d) ให้แสงด้านล่าง

5.3.6 อุณหภูมิและความชื้นสัมพัทธ์ระหว่างการศึกษาชีววิทยาการสืบพันธุ์

อุณหภูมิและความชื้นสัมพัทธ์ระหว่างการทดลอง (มีนาคม พ.ศ. 2551-มิถุนายน พ.ศ. 2551) ใช้ข้อมูลจากสถานีตรวจวัดอากาศเกษตรคองห์ส์ห่างจากมหาวิทยาลัยสงขลานครินทร์ประมาณ 500 เมตร อุณหภูมิและความชื้นสัมพัทธ์เฉลี่ยแสดงในตารางที่ 10

ตารางที่ 10 อุณหภูมิและความชื้นสัมพัทธ์ระหว่างการศึกษาชีววิทยาการสืบพันธุ์

เดือน	อุณหภูมิเฉลี่ย ($^{\circ}\text{C}$)	ความชื้นสัมพัทธ์ (%)
มีนาคม	27.69 ± 0.59	75.65 ± 2.66
เมษายน	28.14 ± 0.65	77.90 ± 3.46
พฤษภาคม	27.91 ± 0.87	79.43 ± 4.20
มิถุนายน	27.54 ± 0.99	81.57 ± 3.65
เฉลี่ย	27.82 ± 0.77	78.63 ± 3.50

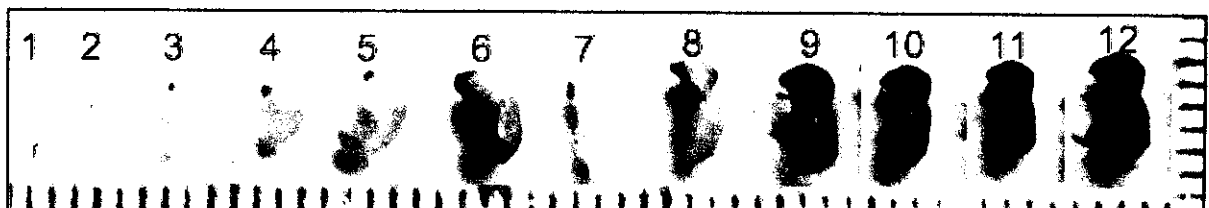
ที่มา: สถานีตรวจวัดอากาศเกษตรคองห์ส์ (ติดต่อส่วนตัว)

5.3.7 ความสำเร็จในการสร้างรังวังไข่

ความสำเร็จในการสร้างรังวังไข่ของมด *S. analis* มีอัตราส่วนค่อนข้างต่ำเมื่อเปรียบเทียบจากตัวเดิม ร้อยที่ใช้ในการทดลองทั้งหมด ในการศึกษาครั้งนี้ใช้แมลงเพศเมียทั้งหมดในการทดลอง 450 ตัว มีแมลง 257 ตัว หรือคิดเป็น 57.11% ของแมลงทั้งหมดจะเข้าไปในเนื้อไม้เพื่อกินอาหารก่อนการผสมพันธุ์ และจากจำนวนมดเพศเมียที่จะเข้าไปในเนื้อไม้ที่ใช้ทดสอบ 257 ตัวมีเพียง 102 ตัว หรือคิดเป็น 39.69% ของแมลงที่จะเข้าไปในไม้ และเพียง 22.67% ของแมลงที่นำมาทดสอบประสบความสำเร็จในการสร้างรังวังไข่

5.3.8 พัฒนาการของรัง

เมื่อครบกำหนดอายุของรัง สปดาห์ที่ 1-16 นำไปมาฝ่าออกเพื่อศึกษาพัฒนาการของรังโดยการนับระยะต่างๆ ของแมลง พบว่ามดอุดรุ่นพ่อแม่ประสบความสำเร็จในการสร้างรังวังไข่ค่อนข้างต่ำดังที่ได้กล่าวแล้วข้างต้น เมื่อฝ่ารังออกพบว่ามดส่วนใหญ่จะมีการกัดกินเพื่อให้เต็มที่และตายภายในรัง มีบางส่วนที่กัดเป็นทางเดินในลักษณะคล้ายทางเดินเพื่อวางไข่ (egg-tunnel) แต่ไม่พบการวางไข่แต่อย่างใด จำนวนรังในแต่ละสปดาห์มีจำนวนน้อย และบางอายุของรังไม่มีไม่มีที่มดสร้างรังวังไข่ การนำเสนอผลการทดลองจึงนำเสนอพัฒนาการของรังทุกๆ 2 สปดาห์เพื่อให้มีจำนวนข้าในแต่ละช่วงอายุ และไม่เปรียบเทียบอัตราพันธุ์ของไม้ย่างพาราต่อการพัฒนาการของรังหรือระยะตัวอ่อนของมดเนื่องจากผลการศึกษาการพัฒนาการของรังไข่ก่อนหน้านี้พบว่ามีจำนวนไม่เท่ากัน



ภาพที่ 25 ลักษณะของมด *S. analis* รุ่นลูกวัยต่างๆ 1 ตัวหนอนที่ฝ่าออกจากไข่ใหม่ อายุประมาณ 2 วัน มีขนาดประมาณ 0.7 มิลลิเมตร ตัวหนอนของมด *S. analis* เป็นแบบ grub ปล้องอกรขยายใหญ่ มีขาแท้ 3 คู่ เคลื่อนที่ได้ดี หมายเลข 2 หนอนระยะที่ 2 หมายเลข หมายเลข 3-4 หนอนระยะที่ 3 หมายเลข 5-6 หนอนระยะที่ 4 หมายเลข 7 ตัวแಡ มีมดเข้าดักแท้ใหม่ๆ มีสีขาวและมีสีเข้มขึ้นเมื่อใกล้ถลอกคราบเป็นตัวเต็มวัย หมายเลข 8-11 มดตัวเต็มวัยช่วงอายุต่างๆ 8 มดตัวเต็มวัยที่เพิ่งถลอกคราบจากตัวแಡใหม่ๆ หมายเลข 12 มดตัวเต็มวัยที่พร้อมบินออกจากรัง มีลักษณะภายนอกเหมือนมดคุณพ่อแม่ทุกประการ

พัฒนาการของรัง

สัปดาห์ที่ 1 เมื่อผ่านอายุ 1 สัปดาห์พบว่ามีส่วนใหญ่ยังไม่เริ่มวางไข่ ส่วนมากกินอาหารเพื่อเตรียมความพร้อมในการวางไข่ มีเพียงส่วนน้อยเท่านั้นที่เริ่มเจาะรูทางเดินเพื่อวางไข่ในลักษณะตัดขวางเสี้ยน และมีมอดเพียง 1 รังที่พับหนอนระยะแรก 2 ตัวที่ฝึกและเริ่มกัดกินไข่จากช่องวางไข่ (egg chamber) ระยะทางประมาณ 1.25 เซนติเมตร

สัปดาห์ที่ 2-3 ($n=2$ รัง) พับตัวหนอนระยะที่ 1-2 ขนาด 0.7-1.35 มิลลิเมตร โดยรังที่มีขนาดใหญ่ที่สุดพับตัวหนอน 10 ตัว น้อยที่สุด 2 ตัว จำนวนตัวหนอนที่พับน้อยและมีขนาดเล็กแสดงว่ามีความดีเพียงพอ ทางไข่ได้ไม่นาน ชายรังยังน้อยแสดงให้เห็นว่ามีความดีเพียงพอ ใช้เวลาในการกินเพื่อเตรียมพร้อมผสมพันธุ์ประมาณ 1-2 สัปดาห์หรือมากกว่าเล็กน้อยซึ่งสอดคล้องกับผลการศึกษาพัฒนาการของรังไข่ (ในหัวข้อ 5.3.5) ที่พับว่ามีความดีใช้เวลาในการพัฒนาการของรังไข่ประมาณ 1-2 สัปดาห์

สัปดาห์ที่ 4-5 ($n=3$ รัง) พับหนอนทุกระยะ เริ่มมีตัวหนอนระยะที่ 3 และ 4 ขนาดประมาณ 3-5 มิลลิเมตรภายในรัง โดยหนอนระยะนี้มีสัดส่วน 27.61% ของตัวหนอนทั้งหมดในรัง ตัวหนอนระยะที่ 4 มีความยาวใกล้เคียงกับหนอนระยะที่ 3 แต่มีความแตกต่างที่ขนาดโดยกว่าเห็นได้ชัดเจนด้วยตาเปล่า (ภาพที่ 25-8, 9)

สัปดาห์ที่ 6-7 ($n=5$ รัง) ส่วนใหญ่จะประกอบด้วยระยะตัวหนอนเป็นส่วนใหญ่โดยสัดส่วนตัวหนอนระยะที่ 1-2 กับระยะที่ 3-4 มีสัดส่วนใกล้เคียงกัน รังอายุ 42 วันพับระยะตักแต่เป็นครั้งแรก โดยตักแต่เมื่อการพัฒนาระดับกล้ามลำตัวเริ่มนิ่นน้ำตาล และในรังอายุ 48 วัน พับมอดตัวเต็มวัยที่หลอกทราบจากตักแต่ใหม่ๆ ลำตัวสีขาวและน้ำตาลอ่อนเป็นรังแรก (ภาพที่ 25-5)

สัปดาห์ที่ 8-9 ($n=8$ รัง) รังประกอบด้วยรุ่นลูกทุกระยะตั้งแต่ตัวหนอนระยะที่ 1 จนถึงตัวเต็มวัยที่มีสีน้ำตาลอ่อน แต่ส่วนใหญ่ในระยะตัวหนอนระยะที่ 3-4 (42.58%) รองลงมาได้แก่ตัวเต็มวัย (24.34%) ตักแต่ (10.85%) และหนอนระยะที่ 1 (4.93%) น้อยที่สุด (ตารางที่ 11)

จากตัวอย่างรังทั้งหมด 8 รังการพัฒนาการของรังในอายุนี้แบ่งออกเป็นสองกลุ่ม กลุ่มแรกเป็นรังที่รุ่นลูกส่วนใหญ่อยู่ในระยะตักแต่ และตัวเต็มวัย และมี 1 รังที่มีอายุรัง 56 วัน ซึ่งรุ่นลูกทั้งหมดพัฒนาเป็นตัวเต็มวัยแล้วทั้งหมด ($n=20$ ตัว) และกลุ่มที่สองประชากรรุ่นลูกส่วนใหญ่อยู่ในระยะตัวหนอนระยะ 1-4 โดยพัฒนาการของรังที่แตกต่างกันไม่ได้ขึ้นอยู่กับอายุและขนาดของรัง (จำนวนประชากรรุ่นลูก) แต่น่าจะเป็นเพราะว่ามีความดีเพียงพอ ไม่ต้องใช้เวลาในการวางไข่

สัปดาห์ที่ 10-11 ($n=8$ รัง) แนวโน้มการพัฒนาการของรังคล้ายคลึงกับในสัปดาห์ที่ 8-9 แต่มีสัดส่วนของตัวเต็มวัยมากกว่าและการพัฒนาการของรังแบ่งออกเป็นสองกลุ่มชัดเจน โดยสัดส่วนของรังที่มีพัฒนาการสูงต่อรังที่มีการพัฒนาการต่ำเท่ากัน 5:3 สัดส่วนของประชากรรุ่นลูกประกอบด้วยระยะตัวเต็มวัย 61.29% ตัวอ่อน 3.23% ตักแต่ 2.35% ตัวหนอนระยะที่ 3-4 29.61% ตัวหนอนระยะที่ 1-2 3.52% ตามลำดับ

สัปดาห์ที่ 12 ($n=7$) รุ่นลูกเกือบ 80% เจริญเติบโตเป็นตัวอ่อนหรือตัวเต็มวัยเป็นส่วนใหญ่ มีเพียง 15% ที่อยู่ในระยะตักแต้ และ 5.78% อยู่ในระยะตัวหนอน

ตารางที่ 11 พัฒนาการของประชากรรุ่นลูกภายในรังของมด *S. obale* ที่เลี้ยงในไม้ยางพารา

อายุรัง ^a (สัปดาห์)	จำนวนรัง (n)	เปอร์เซ็นต์ของระยะต่างๆ				
		L1- L2	L3- L4	Pupae	Newly Adult	Adult
1	1	100	0	0	0	0
2-3	2	100	0	0	0	0
4-5	3	72.39	27.61	0	0	0
6-7	5	49.83	48.90	1.02	0.25	0
8-9	9	4.93	42.58	17.30	10.85	24.34
10-11	8	3.52	29.61	2.35	3.23	61.29
12	7	0	5.78	15.03	12.72	66.47
13-14	7	0	0	10.00	13.53	76.47
15-16	2	0	0	0	0	100

หมายเหตุ: จำนวนแมลงที่เลี้ยงเพื่อศึกษาพัฒนาการของรัง ใช้พันธุ์ยางละ 3 รังต่อสัปดาห์ รวม 3 พันธุ์ 15 รัง จำนวนรัง (n) ที่แสดงในตารางหมายถึง รังที่แมลงประสบความสำเร็จในการสร้างรัง

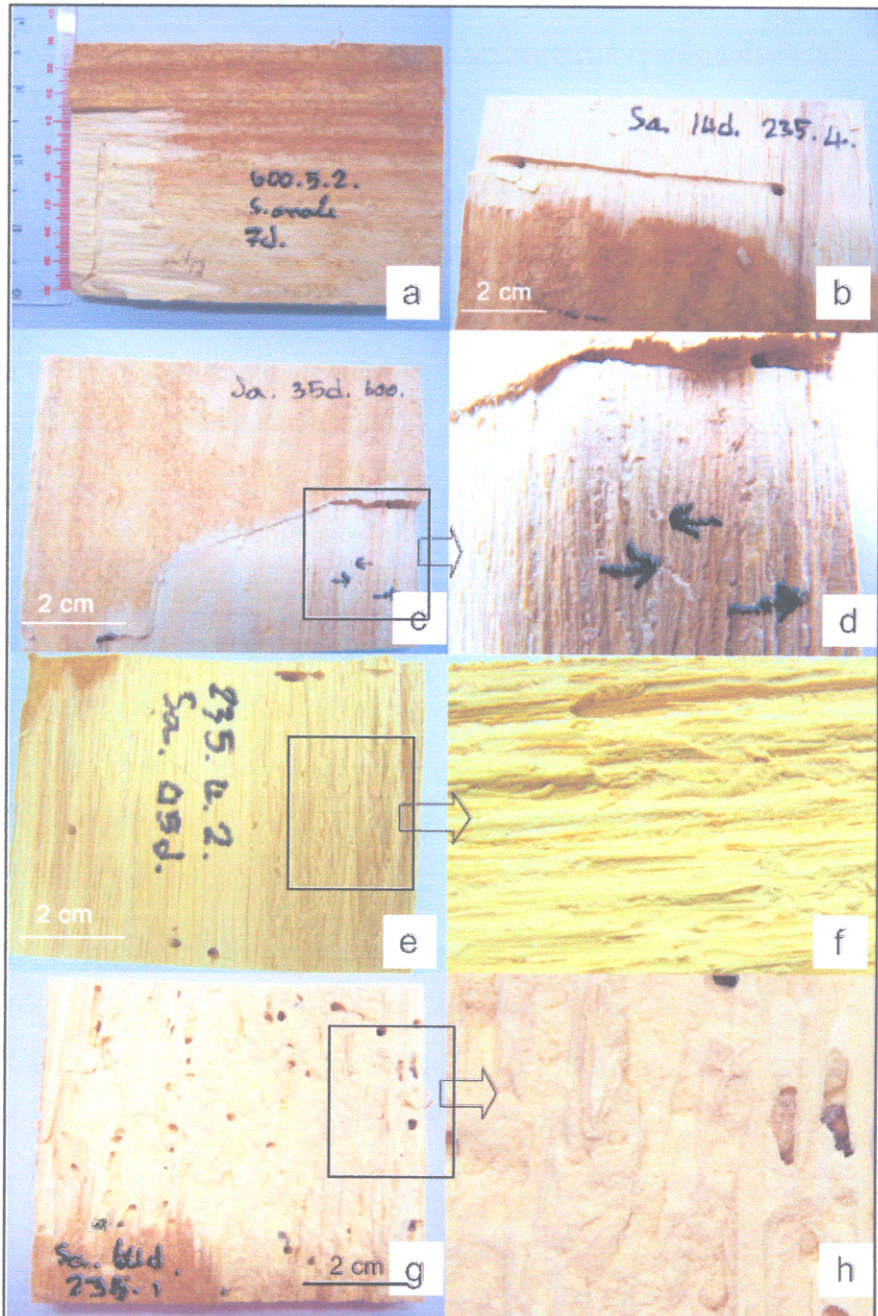
สัปดาห์ที่ 13-14 ($n=7$) รุ่นลูกส่วนใหญ่อยู่ในระยะตัวเต็มวัยที่ลอกคราบใหม่ๆ และตัวเต็มวัยที่โตเต็มที่แล้ว มีเพียง 10% ที่อยู่ในระยะตักแต้ พัฒนาการของรังส่วนใหญ่มีความใกล้เคียงกันระหว่างสัดส่วนรุ่นลูกในแต่ละระยะ และมีเพียง 1 รังเท่านั้นที่มดรุ่นลูกทั้งหมดเป็นตัวเต็มวัยสีน้ำตาลเรียบร้อยแล้ว

สัปดาห์ที่ 15-16 ($N=2$) มดรุ่นลูกทั้งหมดเจริญเติบโตเป็นตัวเต็มวัย มีสีเข้มเหมือนกับแมลงที่บินออกจากรังใหม่ๆ มีมดส่วนหนึ่งจะออกจากไม้แล้ว

เมื่อพิจารณาจังหวะที่เปิดออกมาน้ำเพื่อศึกษาพัฒนาการของรังสามารถประเมินการพัฒนาการของรุ่นลูกระยะต่างๆ ได้ดังนี้ มอดรุ่นลูกที่บินออกจากรัง ใช้เวลาในการกินอาหารเพื่อให้ได้เต็มที่พร้อมที่จะผสมพันธุ์ 1-2 สัปดาห์ มอดตัวเต็มวัยที่พร้อมจะวางไข่แล้ว จะเจาะเข้าไปในเนื้อไม้ประมาณ 1-2 เซนติเมตร (entrance-tunnel) ใช้เวลาประมาณ 24-48 ชั่วโมง และจะเริ่มวางไข่ภายในห้องลับเลียงน้ำ รูทางเดินเพื่อวางไข่มีความยาวแตกต่างกัน ส่วนใหญ่ยาวประมาณ 4-7 เซนติเมตร แต่อาจยาวได้ถึง 10 เซนติเมตร ใช้มีลักษณะรูปรี ลักษณะขนาดประมาณ 0.5-0.6 มิลลิเมตร ระยะไข่ของมด *S. obale* ที่เลี้ยงที่อุณหภูมิเฉลี่ย 33.36 ± 1.50 องศาเซลเซียส ใช้เวลา 1-2 วัน ตัวหนอนมี 4 ระยะ หนอนจะเข้าทำลายเนื้อไม้ในแนวตามยาวของเนื้อไม้ (ตามเส้น) มีรูปแบบไม่แน่นอนและขับขุยอกมาอุดทางเดินของตัวหนอน ระยะตัวหนอนใช้เวลา 6-7 สัปดาห์ หนอนเข้าตักแต้โดยขยายทางเดิน (larva tunnel) ให้ใหญ่ขึ้นเพื่อเข้าตักแต้ (pupa chamber)

บริเวณปลายสุดของทางเดินของตัวหนอน ภายใน buupa chamber จะไม่มีร่องรอยของมด ระยะดักแด้ใช้เวลา 1-2 สัปดาห์ หลังจากนั้นจึงพกเป็นตัวเต็มวัย มีสีน้ำตาลอ่อนและใช้เวลาประมาณ 1 สัปดาห์ เพื่อเจริญเป็นตัวเต็มวัยสีน้ำตาลเข้ม ตัวเต็มวัยจะกัดกินภายในไม้อีกระยะหนึ่งประมาณ 2-3 สัปดาห์ เพื่อให้พร้อมที่จะผสมพันธุ์ วางไข่ต่อไป ยอดตัวเต็มวัยส่วนใหญ่จะขาดไม่เพื่อบินออกหากว่าจะออกมากทาง egg-tunnel ที่แมลงรุนพ่อแม่สร้างขึ้น ยอดใช้เวลาเฉลี่ยในการเจริญเติบโตจนเป็นตัวเต็มวัย ประมาณ 9-10 สัปดาห์ โดยมีรังที่ใช้เวลาอยู่ที่สุดในการเจริญเติบโตจนเป็นตัวเต็มวัย 56 วัน หรือ 8 สัปดาห์ ระยะเวลาที่มอด S. analis ใช้ในการเจริญเติบโตใกล้เคียงกับระยะเวลาที่มอด S. crassicornis ใช้ในการเจริญเติบโต 6-9 สัปดาห์ (Stabbing, 1914)

ลักษณะการสร้างรังของมอด S. analis ที่ระยะตัวหนอนกัดกินไม่มีรูบแบบที่ไม่แน่นอน ทางเดินส่วนใหญ่ จะข้อนทับกันจนไม่สามารถแยกได้ว่าเป็นของตัวหนอนตัวใด ทำให้ไม่สามารถประเมินอัตราการตายในระยะก่อนเป็นตัวเต็มวัยได้ นอกจากนี้เมื่อนับจำนวนร่องรอยที่มีความชัดเจนไว้บนร่างกายใน egg-tunnel พบว่า มีร่องรอยเฉลี่ย 60-90 รอย ซึ่งมีค่าเกินกว่าจำนวนตัวหนอนเฉลี่ยมาก และเมื่อตัดผ่ากล้ามร่องรอยการวางไข่เพื่อดูไว้ภายในพบว่าส่วนใหญ่ไม่มีไข่ ทำให้ไม่สามารถประเมินอัตราการพังของไข่ได้ แต่โดยทั่วไปอัตราการตายในระยะก่อนเป็นตัวเต็มวัยมีค่อนข้างต่ำ จากการแกะรังมาศึกษาพัฒนาการของรังส่วนใหญ่พบซากของตัวอ่อนน้อยมาก อย่างไรก็ตาม ในสภาพธรรมชาติอัตราการตายน่าจะมีสูงกว่า เนื่องจากมอดเขี้ยวymีศักดิ์รุกรานหาดใหญ่ชนิด



ภาพที่ 26 ลักษณะภายในและพัฒนาการของรังของมด *S. analis* (a) รังอายุ 7 วัน ที่มีทางเดินสำหรับวางไข่ (egg-tunnel) ความยาวประมาณ 5 เซนติเมตร และยังไม่พบระยะตัวหนอน (b) รังอายุ 14 วันทางเดินสำหรับวางไข่ยาว 7-8 เซนติเมตร และพบตัวหนอนระยะที่ 1-2 บ้างบริเวณส่วนต้นของรัง (c) รังอายุ 35 วัน เริ่มพับตัวหนอนระยะที่ 3-4 (d) ขยายส่วนกรอบสี่เหลี่ยมของภาพ (d) และ (e) รังอายุ 45 วันส่วนใหญ่พับตัวหนอนระยะที่ 3-4 ในบางรังพับดักแด้ด้วย f.ขยายส่วนกรอบสี่เหลี่ยมของภาพ (e) (g) รังอายุ 64 วัน มดส่วนใหญ่เป็นตัวเต็มวัยและตัวหนอนระยะสุดท้ายและดักแด้ในส่วนปลายของรัง ภายในรังมดกัดกินไม่นุ่มนิ่ว ส่วนใหญ่เป็นผงคล้ายแป้ง (h) ขยายส่วนกรอบสี่เหลี่ยมของภาพ (g)

5.3.9 ระยะเวลาการพัฒนาของมอด *S. analis* จากการปล่อยแมลงรุ่นพ่อแม่ให้วางไข่จนถึงตัวเต็มวัยบินออกจากรัง

การทดลองในส่วนนี้มอดที่เลี้ยงทดสอบด้วยไม้ย่างพาราพันธุ์ PARA มีเพียง 1 รังจาก 20 รังที่ประสบความสำเร็จในการสร้างรัง การเปรียบเทียบที่ได้เพียงเฉพาะระหว่างเวลาที่มอดใช้ในการพัฒนาจนเป็นตัวเต็มวัยจากมอดที่เจริญเติบโตในไม้ย่างพาราพันธุ์ RRIM600 และ PB235 เท่านั้น ระยะเวลาที่มอด *S. analis* ใช้ในการพัฒนาตั้งแต่เริ่มปล่อยแมลงรุ่นพ่อแม่ให้เข้าทำรังในไม้ย่างพาราภายในกล่องจนกระทั่งตัวเต็มวัยบินออกจากรังในสภาพแวดล้อมในห้องทดลอง อุณหภูมิ และความชื้นสัมพัทธ์ตลอดการทดลองดังแสดงในตารางที่ 10 พบว่า ระยะเวลาที่น้อยที่สุดที่มอดขึ้นอยู่ *S. analis* ใช้ในการเจริญเติบโตในไม้ย่างพาราพันธุ์ RRIM600 PB235 และ PARA ไม่แตกต่างกัน โดยมอดรุ่นลูกตัวแรกที่บินออกจากรังใช้เวลา 74 วันในพันธุ์ RRIM600 74 วันในพันธุ์ PB235 และ 77 วันในพันธุ์ PARA ตามลำดับ ระยะเวลา平均ที่สุดที่มอดตัวแรกบินออกจากรังมีค่า 107 วัน 118 วัน และ 153 วันในพันธุ์ RRIM600 PB235 และ PARA ตามลำดับ ระยะเวลาที่มอดที่บินออกจากรังเป็นตัวแรกให้ในการเจริญเติบโตเฉลี่ย 88.13 ± 11.38 วัน และ 86.31 ± 12.56 วันในไม้ย่างพาราพันธุ์ RRIM600 และ PB235 ตามลำดับ เมื่อนำค่าเฉลี่ยระหว่างพันธุ์มุ่งวิเคราะห์ความแตกต่างทางสถิติด้วย independent t-test ไม่พบความแตกต่างอย่างมีนัยสำคัญทางสถิติระหว่างไม้ย่างพาราทั้งสองพันธุ์แต่อย่างใด (ตารางที่ 12)

ระยะเวลาที่มอดรุ่นลูกตัวสุดท้ายบินออกจากรังใช้ระยะเวลาห่างจากมอดรุ่นลูกตัวแรกบินออกจากรังเฉลี่ย 37.88 ± 21.56 วัน และ 37.31 ± 14.66 วัน ในไม้ย่างพาราพันธุ์ RRIM600 และ PB235 ตามลำดับ มอดรุ่นลูกตัวสุดท้ายใช้ระยะเวลาในการพัฒนาเฉลี่ยในพันธุ์ RRIM600 126.00 ± 18.06 วัน น้อยที่สุด 97 วัน สูงสุด 156 วัน และในพันธุ์ PB235 เฉลี่ย 123.62 ± 15.70 วัน น้อยที่สุด 102 วัน สูงสุด 147 วัน ตามลำดับ

ระยะเวลาที่มอด *S. analis* ใช้ในการเจริญเติบโตในไม้ย่างพาราทั้งสามพันธุ์มีค่าน้อยกว่ารายงานของนิรนาม (มปป.) ที่ศึกษาการเจริญเติบโตของมอดชนิดนี้ในไม้กระถินแรงค์ (*Acacia auriculiformis Cunn.*) ที่ใช้ระยะเวลาในการเจริญเติบโตจนกระทั่งเป็นตัวเต็มวัย 162 วัน การศึกษาดังกล่าวไม่ได้ระบุสภาพแวดล้อมในการทดลองซึ่งเป็นไปได้ว่าการศึกษาดังกล่าวนำจะทำการทดลองในสภาพอุณหภูมิห้อง

เมื่อนำระยะเวลาที่มอดตัวแรกและตัวสุดท้ายใช้ในการพัฒนาจนเป็นตัวเต็มวัยและบินออกจากรังไปวิเคราะห์ความสัมพันธ์กับปริมาณแป้ง ลิกนิน และสารแทรกด้วย Pearson correlation พบว่าระยะเวลาที่มอดใช้ในการพัฒนาจนถึงลูกตัวแรกบินออกจากรังมีความสัมพันธ์เชิงลบกับปริมาณแป้งแต่มีความสัมพันธ์เชิงบวกกับปริมาณลิกนินในไม้ ในขณะที่ระยะเวลาที่มอดรุ่นลูกตัวสุดท้ายใช้ มีความสัมพันธ์เชิงบวกกับทุกปัจจัย อย่างไรก็ตามความสัมพันธ์ดังกล่าวไม่มีความแตกต่างอย่างมีนัยสำคัญทางสถิติ ($p > 0.05$)

ตารางที่ 12 ระยะเวลาเฉลี่ยในการเจริญเติบโตของมอด *S. analis* ตั้งแต่ปล่อยแมลงรุนพ่อแม่ให้เข้าท่ารังในไม้ที่ใช้เลี้ยงทดลองบึงรุนลูกบินออกจากรัง

ระยะเวลาในการเจริญเติบโตเฉลี่ย (วัน)

ลำดับ (ก)	มอดตัวแรก		มอดตัวสุดท้าย	
	RRIM600	PB235	RRIM600	PB235
1	107	73	127	135
2	101	76	116	138
3	80	82	97	135
4	74	88	129	108
5	82	73	116	102
6	80	118	156	147
7	89	89	123	109
8	92	81	144	110
9	-	82	-	102
10	-	81	-	123
11	-	98	-	136
12	-	86	-	136
13	-	95	-	126
เฉลี่ย	88.13 ± 11.38^a	86.31 ± 12.56^a	126.00 ± 18.06^a	123.62 ± 15.70^a

ตัวอักษรแสดงความแตกต่างอย่างมีนัยสำคัญทางสถิติที่ระดับความเชื่อมั่น 95%

5.3.10 อัตราส่วนระหว่างเพศผู้และเพศเมีย

อัตราส่วนระหว่างเพศผู้ต่อเพศเมียของมอด *S. analis* มีค่าเฉลี่ย $1:1.07 \pm 0.36$ ($n=13$) หรือมีค่าประมาณ 1:1 โดยในบางรังที่มีอัตราส่วนระหว่างเพศแตกต่างไปจากนี้ แต่ไม่มีแนวโน้มว่าจะมีเพศใดเพศหนึ่งมากกว่าอีกเพศหนึ่งเป็นพิเศษ และไม่มีความแตกต่างระหว่างอัตราส่วนระหว่างเพศผู้ต่อเพศเมียในไม้ยางพาราแต่ละพันธุ์ หรือในรังที่มีความหนาแน่นสูงมากหรือต่ำมาก

5.3.11 ความยืนยาวของอายุขัย (adult longevity) ของมอด *S. analis* ตัวเต็มวัย

ในสภาพแวดล้อมในห้องทดลองของมอด *S. analis* เพศเมียมีอายุขัยเฉลี่ย 50.70 ± 22.68 วัน มอดที่มีอายุขัยน้อยที่สุดมีอายุ 13 วัน และยืนยาวที่สุด 89 วัน เพศผู้มีอายุขัยเฉลี่ยน้อยกว่าเพศเมียเล็กน้อยโดยมีอายุขัยเฉลี่ย 45.80 ± 23.61 วัน มีช่วงของอายุขัยน้อยที่สุด 9 วัน และยืนยาวที่สุด 76 วัน เมื่อนำค่าเฉลี่ยอายุขัยของมอด เพศผู้และเพศเมียไปวิเคราะห์ความแตกต่างทางสถิติด้วย independent samples t-test พบร่วมกันมีความแตกต่างอย่างมีนัยสำคัญทางสถิติ ($p>0.05$)

จากการทดลองอายุขัยของมด *S. analis* ที่ให้ไม้ย่างพาราพันธุ์ PB235 แตกต่างจากรายงานของ นิรนาม (มป.) ที่รายงานช่วงอายุขัยของมดชนิดนี้ที่เข้าทำลายไม้กระถินลงคง ว่ามีอายุขัยสูงสุด 19 วัน

5.3.12 อิทธิพลของพันธุ์ไม้ย่างพาราต่ออัตราการสืบพันธุ์ของมด *Sinoxylon analis* Lesne

จำนวนประชากรรุ่นลูกของมด *S. analis* ที่เลี้ยงทดสอบด้วยไม้ย่างพารา 3 พันธุ์ มีความแตกต่าง อย่างชัดเจนระหว่างไม้ย่างพาราพันธุ์ PB235 และพันธุ์อื่นๆ อีกสองพันธุ์ จำนวนประชากรรุ่นลูกของมด ชนิดนี้ในไม้ย่างพาราพันธุ์ PB235 มีค่าเฉลี่ยสูงสุด 39.07 ± 17.30 ตัว มากกว่าจำนวนประชากรรุ่นลูกจากไม้ย่างพาราพันธุ์ RRIM600 และ PARA ที่มีค่าเฉลี่ย 25.73 ± 8.41 ตัว และ 22.47 ± 7.23 ตัว ตามลำดับ (ตารางที่ 13) ค่าเฉลี่ยจำนวนประชากรรุ่นลูกจากไม้ย่างพาราพันธุ์ PB235 มีค่ามากกว่าจากพันธุ์ PARA และ พันธุ์ RRIM600 อย่างมีนัยสำคัญยิ่งทางสถิติที่ระดับความเชื่อมั่น 99 เปอร์เซ็นต์ จำนวนมดครุ่นลูกในไม้ย่างพาราพันธุ์ PB 235 ซึ่งมีอัตราการสืบต่อพันธุ์สูงสุด มีความแตกต่างระหว่างรังที่มีจำนวนประชากรรุ่นลูกต่ำสุดและ สูงสุดค่อนข้างมาก กล่าวคือ 19 ตัว และ 78 ตัว ตามลำดับ โดยในรังที่มีจำนวนมดครุ่นลูกค่อนข้างสูงไม่ได้ เกิดจากการเข้าไปสร้างรังวางแผนใช้ของรุ่นลูก หรือที่เรียกว่า re-infestation เนื่องจากแมลงเป็นตัวเต็มวัยและบิน ออกจากรังในระยะเวลาใกล้เคียงกัน

เมื่อนำจำนวนประชากรรุ่นลูกของมด *S. analis* ไปวิเคราะห์ความสัมพันธ์กับปริมาณแป้ง ลิกนิน และ สารแทรกในไม้ย่างพาราด้วย Pearson correlation พบว่าจำนวนประชากรรุ่นลูกของมดมีความสัมพันธ์เชิง บวกกับปริมาณแป้ง และลิกนิน แต่มีความสัมพันธ์เชิงลบกับปริมาณสารแทรกในเนื้อไม้ แต่ไม่แตกต่างอย่าง มีนัยสำคัญทางสถิติแต่อย่างใด ($p>0.05$)

ระยะเวลาที่ประชากรรุ่นลูกของมด *S. analis* ใช้ในการเจริญเติบโตเป็นตัวเต็มวัยและมดครุ่นลูกบิน ออกจากรัง และจำนวนประชากรรุ่นลูกมีแนวโน้มไปในทิศทางเดียวกันกับปริมาณแป้งในไม้ย่างพารา กล่าวคือ ไม่ที่มีปริมาณแป้งที่สูงกว่าทำให้มดได้เวลาในการเจริญเติบโตและบินออกจากรังเร็วกว่าในไม้ที่มี แป้งน้อยกว่า เช่นเดียวกับจำนวนประชากรรุ่นลูกมีมากกว่าในไม้ย่างพาราที่มีปริมาณแป้งสูงซึ่งแสดงถึงสอดคล้องกับ จำนวนประชากรรุ่นลูกในไม้พันธุ์ PB235 ที่มีปริมาณแป้งสูงกว่าพันธุ์อื่นๆ อย่างมีนัยสำคัญทางสถิติ และ จำนวนประชากรรุ่นลูกที่เลี้ยงด้วยไม้ย่างพาราพันธุ์เดียวกันมากกว่าในไม้บางพาราพันธุ์อื่นอีกสองพันธุ์อย่าง มีนัยสำคัญทางสถิติเช่นเดียวกัน ผลการทดลองครั้งนี้สอดคล้องกับรายงานของ โพวรรณ (2524) Creffield (1991) และ Akhter (2005) ที่ระบุว่าไม้ที่มีปริมาณแป้งสูงมีความเหมือนสมต่อการเจริญเติบโตของมดเช่นกัน

นอกจากปริมาณแป้งที่มีผลต่อการเจริญเติบโตและอัตราการสืบต่อพันธุ์หรือจำนวนประชากรรุ่นลูกของ มดแล้ว ลิกนินและสารแทรกก็มีผลเช่นเดียวกัน ในการทดลองครั้งนี้ผลของลิกนินต่อลักษณะเชื้อวิทยา ดังกล่าวของมดไม่ชัดเจนนักว่ามีผลทางใดต่อเชื้อวิทยาการสืบพันธุ์มด แต่ในส่วนของสารแทรกให้ผล

ในทางตรงกันข้ามกับปริมาณแป้งในเนื้อไม้ มอดรุ่นพ่อแม่ที่เลี้ยงด้วยไม้ที่มีปริมาณสารแทรกสูงกว่าจะมีจำนวนประชากรรุ่นลูกน้อยกว่า

ผลการวิเคราะห์ของประกอนทางเคมีในเนื้อไม้ ไม้ที่มีปริมาณแป้งสูงสุดและสารแทรกสูงสุดเป็นไม้พันธุ์เดียวกันได้แก่ พันธุ์ PB235 เมื่อพิจารณาปัจจัยทางเคมีของไม้ทั้งสองปัจจัยดังกล่าวต่อชีววิทยาการสืบพันธุ์ของมอด *S. anale* ดูเหมือนว่าอิทธิพลด้านbaughของแป้งจะมีมากกว่าปัจจัยด้านลบทองสารแทรกในเนื้อไม้

ตารางที่ 13 จำนวนประชากรรุ่นลูกของมอด *Sinoxylon anale* ที่เลี้ยงทดสอบในไม้ย่างพาราพันธุ์ต่างๆ

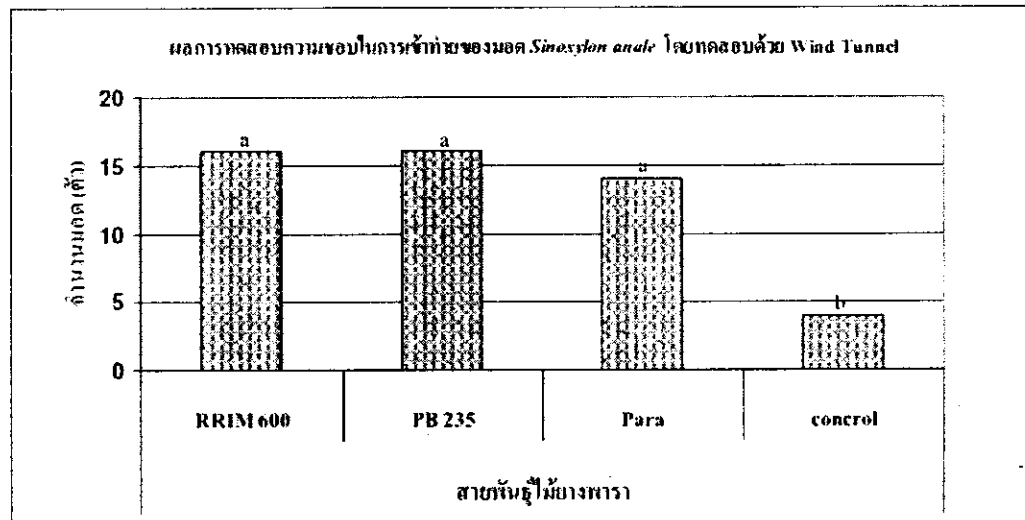
ลำดับ	จำนวนประชากรรุ่นลูก (ตัว)		
	RRIM600	PB235	PARA
1	19	40	24
2	39	21	43
3	38	49	18
4	21	46	25
5	17	78	28
6	32	62	13
7	24	45	14
8	24	21	20
9	20	36	22
10	20	57	26
11	21	27	21
12	28	24	23
13	17	25	15
14	43	36	25
15	23	19	20
เฉลี่ย	25.73 ± 8.41^a	39.07 ± 17.30^b	22.47 ± 7.23^a

ตัวอักษรแสดงค่าความแตกต่างอย่างมีนัยสำคัญทางสถิติ $p < 0.01$ วิเคราะห์ด้วย LSD-test

5.4 ศึกษาอิทธิพลของพันธุ์ไม้ย่างพาราต่อความชอบในการเข้าทำลายของมด *Sinoxylon anale* Lesne

5.4.1 ทดสอบอิทธิพลของพันธุ์ต่อการเลือกเข้าทำลายของมดใน Olfactometer (Wind tunnel)

การทดสอบความชอบในการเข้าทำลายไม้ย่างพารา 3 พันธุ์ใน 4 Arms-Olfactometer สองแบบปรากฏว่า Olfactometer แบบที่ 1 (ขนาดเล็ก) เท่านั้นที่มดตอบสนองและเคลื่อนที่เข้าหาไม้ที่ใช้ทดสอบส่วน Olfactometer แบบที่ 2 มดตอบสนองไม่ดี มดใช้เวลานานในการเคลื่อนที่ และส่วนใหญ่เป็นแบบสุ่มไม่มีทิศทาง



ภาพที่ 27 จำนวนมด *Sinoxylon anale* ที่เข้าทำลายไม้ย่างพาราแต่ละพันธุ์ในการทดสอบความชอบใน Wind tunnel

ตัวอักษรที่แตกต่างกันแสดงความแตกต่างอย่างมีนัยสำคัญยิ่งทางสถิติ ($p<0.01$)

ผลการทดลองใน Olfactometer แบบที่ 1 พบว่าจำนวนมดที่เลือกไม้ย่างพาราพันธุ์ใดสายพันธุ์นึงใน 3 พันธุ์ที่ใช้ทดสอบมีจำนวนรวม 46 ตัว คิดเป็น 92% ของแมลงทั้งหมด และมีเพียง 4 ตัว หรือคิดเป็น 8% ที่เลือกกล่องควบคุมที่วางเปล่า (ชุดควบคุม) จำนวนมดที่เคลื่อนที่เข้าหาไม้พันธุ์ RRIM600 และพันธุ์ PB235 มีจำนวนสูงสุดเท่ากัน 16 ตัว (32%) และสายพันธุ์ PARA น้อยกว่าสองพันธุ์แรกเล็กน้อย 14 ตัว (28%) ภาพที่ 27 ค่าเฉลี่ยของจำนวนมดที่เลือกไม้ตัวอย่างแต่ละพันธุ์มีค่าเท่ากับ 3.20 ± 0.84 ตัว 3.20 ± 0.45 ตัว 2.80 ± 0.84 ตัว และ 0.80 ± 0.45 ตัว ในไม้ย่างพาราพันธุ์ RRIM600 PB235, PARA และชุดควบคุมตามลำดับ เมื่อนำจำนวนมดที่เข้าทำลายไม้ย่างพาราแต่ละพันธุ์และชุดควบคุมมาทดสอบความแตกต่างทางสถิติด้วย

scheffe test พบว่าจำนวนมอดที่เลือกไม้ย่างพาราแต่ละพันธุ์มีค่ามากกว่าจำนวนแมลงที่เลือกกล่องควบคุมอย่างมีนัยสำคัญทางสถิติ ($p < 0.01$)

จากการสังเกตพฤติกรรมในการตอบสนองต่อกลิ่น ของมอดชนิดนี้ใน Olfactometer พบว่าแมลงมีความเร็วต่อการตอบสนองต่อกลิ่นของไม้ย่างพาราแตกต่างกันสองรูปแบบ คือ

รูปแบบที่ 1 มอดตอบสนองอย่างรวดเร็ว ได้แก่มอดส่วนใหญ่ที่ใช้ทดสอบ เมื่อนำมาวางบริเวณกึ่งกลางของ wind tunnel แมลงจะตอบสนองต่อกลิ่นจากไม้ย่างพาราและจะเริ่มเคลื่อนที่โดยการเดิน หรือบินเข้าหา choice chamber ที่มีไม้ย่างพาราพันธุ์ใดพันธุ์หนึ่งที่ใช้ทดสอบในทันที มอดในกลุ่มนี้ส่วนใหญ่จะใช้เวลาในการเคลื่อนที่น้อยกว่า 20 วินาที

รูปแบบที่ 2 มอดตอบสนองต่อกลิ่นไม้ย่างพาราช้า โดยมอดเริ่มการเคลื่อนที่ค่อนข้างช้า หรือใช้เวลาในการเคลื่อนที่นาน บางครั้งเดินวนเวียนใน central chamber กลาง และมีการเดินกลับเมื่อมอดเคลื่อนเข้าไปในทางเดินสู่ choice chamber ที่ไม้มีย่างพาราหรือ choice chamber ที่ว่าง (ควบคุม) โดยมอดกลุ่มนี้ใช้เวลาในการเคลื่อนที่นานกว่า 30 วินาที มอด 4 ตัวที่เลือกกล่องควบคุมมีพฤติกรรมลังเลในการเคลื่อนที่เข้าหากกล่อง และจะถอยหลังกลับเข้าสู่ central chamber เมื่อไม่พบไม้ย่างพารา

เมื่อทดสอบพันธุ์ไม้ย่างพารา และลักษณะของผิวไม้ต่อความชอบในการวางไข่และทำลายของมอดชี้ชัย มอด *Sinoxylon anale* พบว่า มอดมีพฤติกรรมการวางไข่โดยการเลือกไม้ที่เหมาะสมและเจาะรูทางเดินเข้าไปในเนื้อไม้เพื่อสร้างรังวางไข่ ไม่สามารถมองเห็นและนับจำนวนໄภที่แมลงวางไข่แต่ละช่วงเวลาได้ จึงทำให้การทดสอบความชอบในการวางไข่ของแมลงที่ใช้ในการศึกษามีข้อจำกัด แต่อย่างไรก็ตาม การวัดความชอบในการเลือกไม้สำหรับการทำรังและวางไข่ สามารถทดสอบได้ทางอ้อมโดยการวัดความชอบในการเข้าทำลายจากตัวเต็มวัย ซึ่งวางแผนการทดลองเช่นเดียวกับความชอบในการวางไข่โดยใช้วิธีการทดสอบแบบไม่มีตัวเลือก (no choice test) และการทดสอบแบบหลายตัวเลือก (multiple choices test) ในห้องทดลองและในสภาพแวดล้อมในโรงเรือน

5.4.2 การทดสอบอิทธิพลของพื้นผิวของไม้ย่างพาราต่อความชอบในการเข้าทำลายของมอด *Sinoxylon anale* Lesne โดยวิธีทดลองแบบสองตัวเลือก (Dual choices test)

ผลการทดสอบพบว่าแมลง 24 ตัว จาก 25 ตัว หรือ 96% ของแมลงที่ใช้ในการทดสอบ เลือกเจาะเข้าทำลายไม้ที่มีผิวขรุขระ โดยแมลงที่เลือกทำลายไม้ที่มีผิวเรียบเข้าทำลายบิเวนนุ่มของไม้ที่ขัดไม้เรียบ ไม่ได้เข้าทำลายบิเวนนุ่มผิวไม้ที่ขัดเรียบแต่อย่างใด

จากการทดลองแสดงให้เห็นได้อย่างชัดเจนว่ามอดชี้ชัยไม่ชอบเข้าทำลายไม้ที่มีผิวเรียบ เป็นไปได้ร่วมกับไม้ที่มีผิวขรุขระนั้น มอดสามารถกัดทำลายได้ง่ายกว่า ซึ่งสอดคล้องกับการสังเกตการเข้าทำลายไม้ย่างพาราเปรูปของมอดในโรงงานผลิตเฟอร์นิเจอร์ในจังหวัดสุราษฎร์ธานี พบว่าในกรณีที่ไม้ผิวเรียบที่ผ่าน

การใส่และไม้ผิวชุราชที่เลือยแต่ไม่ผ่านการใสกองรวมกัน มอดจะเข้าทำลายเฉพาะไม้ผิวชุราชเท่านั้น อย่างไรก็ตาม การทดสอบไม่ได้ทดสอบว่าในกรณีที่มีเฉพาะไม้ผิวเรียบมอดชนิดนี้จะเข้าทำลายไม้ดังกล่าว หรือไม่ แต่จากการสังเกตการเข้าทำลายไม้ยางพาราแปรรูปที่มีเฉพาะไม้ผิวเรียบเรียงซ้อนกันในโรงงานผลิต ผลิตภัณฑ์จากไม้ยางพาราในจังหวัดรังสบว่า มอดจะเข้าทำลายโดยเริ่มจากบริเวณมุมของไม้แปรรูปซึ่งง่าย ต่อการกัดเข้าทำลาย ลักษณะการทำลายในลักษณะดังกล่าวเป็นยืนยันว่ามอดมีความยากลำบากและไม่ชอบในการเข้าทำลายไม้แปรรูปที่ผ่านการใสเรียบร้อยแล้ว

5.4.3 การทดสอบอิทธิพลของพันธุ์ไม้ยางพาราต่อความชอบในการเข้าทำลายของมอด *Sinoxylon anale* Lesne

5.4.3.1 การทดลองแบบไม่มีตัวเลือก (no choice test)

อัตราการทำลายหรืออัตราการกินของมอด *S. anale* ในไม้ยางพาราที่ใช้ทดสอบน้ำหนักเฉลี่ย 12.73 ± 1.14 กรัม ระยะเวลา 3 สัปดาห์ มีอัตราการทำลายโดยวัดน้ำหนักชุ่ยแห้งเฉลี่ยทั้งสามพันธุ์มีค่าเท่ากับ 0.2743 ± 0.0411 กรัม พันธุ์ที่มอดมีอัตราการกินมากที่สุดได้แก่ พันธุ์ PB235 มีอัตราการกินโดยมีน้ำหนักชุ่ยแห้งเฉลี่ย 0.2954 ± 0.041 กรัม หรือ คิดเป็นน้ำหนักไม้ที่ลดลง 2.22% รองลงมาได้แก่พันธุ์ PARA ที่มีค่าดังกล่าวเท่ากับ 0.2748 ± 0.037 กรัม คิดเป็นน้ำหนักไม้ที่ลดลง 2.21% และ พันธุ์ที่มีอัตราการกินน้อยที่สุดได้แก่ RRIM600 มีค่าดังกล่าวเท่ากับ 0.2528 ± 0.035 กรัม หรือ คิดเป็นน้ำหนักไม้ที่ลดลง 2.14% เมื่อนำน้ำหนักชุ่ยแห้งในแต่ละพันธุ์มาวิเคราะห์ความแตกต่างทางสถิติตัวอย่างวิเคราะห์ความแปรปรวนทางเดียว ด้วย LSD-test พบว่าน้ำหนักชุ่ยจากไม้ยางพาราพันธุ์ PB235 มีน้ำหนักมากกว่าพันธุ์ RRIM600 อย่างมีนัยสำคัญยังทางสถิติ ($p < 0.01$) แต่ไม่มีความแตกต่างจากพันธุ์ PARA แต่อย่างใด (ตารางที่ 14)

เมื่อนำน้ำหนักชุ่ยที่เกิดจากการกินของมอดไปวิเคราะห์ความสัมพันธ์กับปริมาณแป้ง ลิกนิน และสารแทรกในเนื้อไม้ พบว่าน้ำหนักชุ่ยที่มอดขันออกมามีความสัมพันธ์ทางบวกกับปริมาณแป้งในเนื้อไม้ แต่ไม่มีนัยสำคัญทางสถิติ ($p < 0.05$) และมีความสัมพันธ์ในทิศทางเดียวกันกับปริมาณลิกนินในเนื้อไม้ แต่ไม่มีนัยสำคัญทางสถิติ และมีความสัมพันธ์เชิงลบกับปริมาณสารแทรกในเนื้อไม้ แต่ไม่มีนัยสำคัญทางสถิติ ($p = 0.066$)

ตารางที่ 14 น้ำหนักแห้งเฉลี่ยและเปอร์เซ็นต์ของขี้นุยที่เกิดจากการกัดกินของมดชนิด *S. analis* ในไม้ยางพารา 3 พันธุ์ (5 sample 25 sub-samples ในแต่ละพันธุ์)

ตัวอย่าง	พันธุ์					
	RRIM600		PB253		PARA	
	น้ำหนัก (กรัม)	%	น้ำหนัก (กรัม)	%	น้ำหนัก (กรัม)	%
1	0.2914±0.022	2.49	0.3012±0.015	2.11	0.2772±0.015	2.02
2	0.2176±0.036	2.09	0.2632±0.005	1.99	0.2496±0.009	2.04
3	0.2580±0.013	1.97	0.2864±0.050	2.08	0.2750±0.017	2.05
4	0.2310±0.016	2.07	0.2864 ±0.017	2.28	0.3068±0.076	2.14
5	0.2660±0.032	2.07	0.3396±0.056	2.66	0.2652±0.017	2.31
เฉลี่ย	0.2528 ±0.029 ^a	2.14	0.2954±0.028 ^b	2.22	0.2748±0.021 ^{a,b}	2.21

หมายเหตุ น้ำหนักไม้ก่อนมดเข้าทำลาย เฉลี่ย 12.73 ± 1.14 กรัม ความชื้น 15%

ตัวอักษรแสดงความแตกต่างอย่างมีนัยสำคัญทางสถิติ ($p<0.001$) วิเคราะห์ด้วย LSD-test

5.4.3.2 การทดลองแบบหลายตัวเลือก (multiple choices test)

การทดลองแบบที่ 1 ทดสอบพันธุ์ของไม้ยางพาราพันธุ์แรกที่มอดเคลื่อนที่เข้าหา

ผลการทดลองในสภาพแวดล้อมของการทดสอบในกล่องพลาสติกขนาดเล็ก พบว่ามอดชนิด *S. analis* เลือกเข้าทำลายไม้ยางพาราพันธุ์ PB235 มากที่สุดมีค่าเฉลี่ย 6.6 ± 1.82 ตัว รองลงมาได้แก่พันธุ์ PARA 4.4 ± 1.67 ตัว และ RRIM 600 4.0 ± 1.00 ตัว ตามลำดับ โดยค่าเฉลี่ยของจำนวนมอดที่เลือกเข้าทำลาย ไม้ยางพาราพันธุ์ PB235 มากกว่าค่าเฉลี่ยของมอดที่เข้าทำลายไม้ยางพาราพันธุ์ PARA และ RRIM 600 อย่างมีนัยสำคัญทางสถิติ ($p<0.05$) (ตารางที่ 15)

จำนวนมอด *S. analis* ที่เลือกเข้าทำลายไม้ยางพาราแต่ละพันธุ์มีความแตกต่างจากผลการทดสอบ ความชอบในการเข้าทำลายโดยใช้ wind tunnel ที่ไม่พบความแตกต่างอย่างมีนัยสำคัญทางสถิติของจำนวน แมลงที่เลือกไม้แต่ละพันธุ์ ($p>0.05$)

ตารางที่ 15 จำนวนมอดชนิด S. *anale* ที่เลือกเข้าทำลายไม้ย่างพาราพันธุ์ต่างๆ เป็นพันธุ์แรก ในการทดสอบความชอบในการเข้าทำลายโดยวิธีทดลองแบบหลายตัวเลือก

ชั้น	จำนวนแมลงที่เข้าทำลาย (ตัว)		
	RRIM 600	PB 253	PARA
1	5	6	4
2	3	7	5
3	5	7	3
4	3	9	3
5	4	5	6
รวม	20	34	21
เฉลี่ย	4.0 ± 1.00^a	6.8 ± 1.48^b	4.2 ± 1.30^a

ตัวอักษรแสดงความแตกต่างอย่างมีนัยสำคัญทางสถิติ ($p < 0.05$) วิเคราะห์ด้วย LSD-test

การทดลองที่ 2 ทดสอบพันธุ์ของไม้ย่างพาราที่มอดชอบเข้าทำลาย

ผลการทดสอบความชอบในการเข้าทำลายของมอด S. *anale* ในไม้ย่างพารา 3 พันธุ์ได้แก่ RRIM600 PB235 และ PARA พบร่วมกันว่า มอดชอบเข้าทำลายไม้ย่างพาราพันธุ์ PB235 จากจำนวนรวม 5 ชั้นมากที่สุด (15 ชั้น) มากกว่าพันธุ์ PARA (6 ชั้น) และ RRIM600 (4 ชั้น) อย่างชัดเจน จำนวนเฉลี่ย 5 ชั้นของมอดที่เลือกเข้าทำลายไม้ย่างพาราในแต่ละพันธุ์มีค่าเท่ากับ 3.00 ± 1.22 ตัว 1.20 ± 1.10 ตัว และ 0.80 ± 0.84 ตัวในไม้ย่างพาราพันธุ์ PB235 PARA และ RRIM600 ตามลำดับ เมื่อนำอัตราการเลือกไม้เฉลี่ย มาวิเคราะห์ความแตกต่างทางสถิติพบว่ามอด S. *anale* ชอบเข้าทำลายไม้ย่างพาราพันธุ์ PB235 มากกว่า พันธุ์ RRIM600 และ PARA อย่างมีนัยสำคัญทางสถิติ ($p < 0.05$) (ตารางที่ 16)

ตารางที่ 16 จำนวนมอดที่เลือกเข้าทำลายไม้ยางพาราพันธุ์ต่างๆ ในการทดสอบความชอบในการเข้าทำลายโดยวิธีทดลองแบบหลายตัวเลือก

ตัวชี้วัด	จำนวนแมลงที่เลือกเข้าทำลาย (ตัว)		
	RRIM600	PB253	PARA
1	1	3	1
2	0	5	0
3	1	3	1
4	0	2	3
5	2	2	1
รวม	4	15	6
เฉลี่ย	0.80 ± 0.84^a	3.00 ± 1.22^b	1.20 ± 1.10^a

ตัวอักษรที่แตกต่างกันแสดงความแตกต่างอย่างมีนัยสำคัญทางสถิติ ($p < 0.05$) วิเคราะห์ด้วย LSD-test

5.4.4 การทดสอบอิทธิพลของพันธุ์ไม้ยางพาราต่อความชอบในการเข้าทำลายของมอดชี้ชุข (Coleoptera: Bostrichidae) ในสภาพแวดล้อมธรรมชาติ

ผลการทดลองสอดคล้องกับผลการทดสอบความชอบอื่นๆ มอดชี้ชุขชอบทำลายไม้ยางพาราพันธุ์ PB235 มากกว่าพันธุ์ RRIM600 อย่างชัดเจน ผลการทดสอบในสภาพแวดล้อมในโรงเรือนเปรียบไม้ยางพารา พันธุ์ PB235 มีร่องรอยการเข้าทำลายรวม 255 รอยและมีค่าเฉลี่ยรวม 6.38 ± 3.75 รอย/ชิ้น มากกว่าสายพันธุ์ RRIM 600 ที่มีจำนวนรวม 60 รอยมีค่าเฉลี่ยร่องรอยการทำลายรวม 1.50 ± 1.24 รอย/ชิ้น อย่างมีนัยสำคัญทางสถิติ ($p < 0.01$) (ตารางที่ 17) ร่องรอยการเข้าทำลายไม้ที่ใช้ทดสอบในผึ้งตะวันออกน้อยกว่าในพื้นที่ภาคตะวันตกเล็กน้อยซึ่งสอดคล้องกับผลการสำรวจมอดทำลายไม้ยางพาราในพื้นที่ศึกษาในช่วงเวลาเดียวกันที่พื้นที่พบมอดเข้าทำลายไม้ยางพาราในพื้นที่ผึ้งตะวันตกมากกว่าผึ้งตะวันออก แต่ไม่มีความแตกต่างทางสถิติแต่อย่างใด และมอดทั้งสองผึ้งชอบเข้าทำลายไม้ยางพาราพันธุ์ PB 235 มากกว่า RRIM 600 เท่านั้น เดียวกับผลการทดลองรวม

ตารางที่ 17 ร่องรอยการทำลายเฉลี่ยในไม้ยางพาราพันธุ์ RRIM600 และ PB235 ที่ใช้ทดสอบความชอบในการเข้าทำลายไม้ยางพาราของมอดชี้ชุบในสภาพแวดล้อมในโรงเลื่อยแปรรูปไม้ยางพารา

พันธุ์	ผิวตะวันออก	ผิวตะวันตก	เฉลี่ยภาคใต้
RRIM 600	1.20 ± 0.89	1.80 ± 1.47	1.50 ± 1.24^a
PB 253	5.75 ± 2.57	7.00 ± 4.62	6.38 ± 3.75^b

ตัวอักษรแสดงความแตกต่างอย่างมีนัยสำคัญทางสถิติ ($p < 0.01$) วิเคราะห์ด้วย LSD-test

ผลการทดสอบความชอบในการเข้าทำลายของมอด *S. analis* ใน Olfactometer แสดงให้เห็นอย่างชัดเจนว่า มอดตอบสนองต่อกลิ่นของไม้ยางพาราในระยะใกล้ได้ไม่ดี การทดลองใน Olfactometer แบบที่ 2 มอดไม่ตอบสนองต่อกลิ่นไม้ยางพารา และมีการตอบสนองที่ดีขึ้นในการใน Olfactometer แบบแรกที่มีระยะทางสั้นกว่า (10 ซม.) อย่างไรก็ตาม ใน Olfactometer แบบที่ 1 มอดสามารถรับรู้ได้เพียงว่ามีแหล่งอาหารหรือไม้ยางพาราหรือไม่ แต่ไม่สามารถรับรู้ได้ว่าแหล่งอาหารมีคุณภาพดีเพียงใด เนื่องจากมอดไม่ได้เลือกพันธุ์ที่มอดเข้าทำลายมากที่สุด เป็นไปได้สูงว่าการหาแหล่งอาหารในระยะใกล้ของมอดชนิดนี้อาจใช้สัญญาณอย่างอื่นในการหาแหล่งอาหารหรือเคลื่อนที่แบบสุ่มซึ่งสอดคล้องกับผลการทดลองของ Hedges (1994) ในมอด *Prostephanus truncatus* (Dinoderinae) พฤติกรรมการหาอาหารของมอด *P. truncatus* แมลงศัตรูผลผลิตทางการเกษตรที่สำคัญและเป็นมอดในวงศ์ Bostrichidae ที่ถูกศึกษามากที่สุด มอดชนิดนี้มีการตอบสนองต่อกลิ่นของอาหารในระยะใกล้ได้ไม่ดี และการหาแหล่งอาหารที่เหมาะสมในระยะใกล้มอดจะใช้สัญญาณภายในของแมลงมากกว่า โดยเมื่อแมลงเพศผู้พบแหล่งอาหารที่เหมาะสม มอดจะปล่อยฟีโรโมน (pheromone) เพื่อเป็นสัญญาณแก่มอดตัวอื่นๆ (Scholz et al., 1997) แต่เมื่อทดสอบในกล่องพลาสติกที่มอดสามารถเคลื่อนที่เข้าใกล้ชินไม้ได้ มอดเลือกไม้ยางพาราพันธุ์ PB235 มากที่สุดมากกว่าพันธุ์อื่นๆ อย่างมีนัยสำคัญทางสถิติ ($p < 0.05$) การดัดสินใจเลือกไม้ในทดลองครั้งนี้สันนิษฐานว่าปัจจัยที่มีผลต่อมอดได้แก่ ปริมาณสารแทรกซองไม้ยางพาราในพันธุ์ PB235 ที่มีมากกว่าพันธุ์อื่นๆ อย่างมีนัยสำคัญทางสถิติ ($p < 0.05$) สอดคล้องกับการรายงานของ Nerg และคณะ (2003) และ Faccoli และคณะ (2004) ที่ระบุว่าสารบางกลุ่มในสารแทรกซองไม้ยางพาราในพันธุ์ PB235 ที่มีมากกว่าพันธุ์อื่นๆ อย่างมีนัยสำคัญทางสถิติ ($p < 0.05$) สอดคล้องกับรายงานของ Detmers (1990) Wright และคณะ (1993) Pike และคณะ (1994) และ Scholz และคณะ (1997) ที่ระบุว่ามอด *Prostephanus truncatus* สามารถรับรู้กลิ่นของอาหารที่ใช้ทดสอบในห้องทดลองในระยะใกล้เท่านั้น

ในการทดลองที่มอดสามารถสัมผัสชิ้นไม้ที่ใช้ทดสอบได้ มอดสามารถเลือกไม้ที่มีคุณภาพได้ดีกว่าแบบที่รับรู้กลิ่นเพียงอย่างเดียว มอดเลือกไม้ยางพาราที่มีปริมาณแป้งสูงกว่าชิ้งได้แก่พันธุ์ PB235

ที่มีเป็นมากกว่าพันธุ์อื่นๆ อย่างมีนัยสำคัญทางสถิติ ($p<0.05$) และมีขัตราส่วนของมอดที่เลือกพันธุ์ PB235 มากกว่า การเลือกไม้ย่างพาราพันธุ์โดยใช้กลินในการตัดสินใจ (45.33%: 60%) การเลือกไม้ที่เหมาะสมในการเข้าทำลายหรือวางแผนไข่มอดชนิดนี้ จะกัดไม้ทดสอบก่อนว่ามีปริมาณแป้งหรือปัจจัยอื่นเหมาะสมหรือไม่ โดยผลการทดลองพบว่า สัดส่วนเปอร์เซ็นต์ของมอดเลือกไม้ย่างพาราพันธุ์ที่มีเป็นมากที่สุดต่อพันธุ์ที่มีแป้งน้อยกว่า เท่ากับ 60% ต่อ 40% แสดงให้เห็นว่าไม้ย่างพาราพันธุ์ PB235 เหมาะสมที่สุด ถึงแม้ว่าไม้ย่างพารา อีกสองพันธุ์เหมาะสมน้อยกว่า แต่ยังเพียงพอต่อการวางแผนไข่มอดชนิดนี้ ผลการทดสอบครั้งนี้ที่มอด *S. analis* ขอบเข้าทำลายไม้ย่างพาราที่มีเป็นมากกว่าสอดคล้องกับรายงานของ Cummins และ Wilson (1935) และ Bamber และ Erskine (1965) ที่ระบุว่ามอดจะเข้าทำลายไม้ที่มีปริมาณแป้งมากกว่า และมอด *S. analis* จะทดสอบปริมาณแป้งหรือความเหมาะสมของไม้ที่มอดจะเข้าทำลายหรือวางแผนไข่โดยการกัดไม้ทดสอบ เช่นเดียวกับมอดชี้ชุยแท้หลายชนิด (*Lyctinae*) ว่าเหมาะสมต่อการวางแผนไข่หรือไม่ (Hickin, 1975; Fisher 1929; Parkin, 1936; Gay, 1953; Bletchly, 1960a; Rosel, 1969a)

การทดลองในห้องทดลองโดยใช้มอด *S. analis* สอดคล้องกับการทดสอบความชอบในการเข้าทำลายของมอดชี้ชุยในสภาพธรรมชาติที่มีมอดชี้ชุยนลายชนิดเข้าทำลายไม้ย่างพารายกตัวอย่างเช่น *S. unidentatum* H. aequalis X. *flavipes* ที่ขอบเข้าทำลายไม้ย่างพาราพันธุ์ PB235 มากกว่า RRIM600 อย่างมีนัยสำคัญทางสถิติ ($p<0.05$)

6. สรุปผลการทดลอง

ผลจากการสำรวจมอดทำลายไม้ย่างพาราในพื้นที่ 8 จังหวัดภาคใต้ ผ่านตัวอย่างในวันที่ 8 ตุลาคม ให้ได้ ผ่านตัวอย่างในวันที่ 22 ตุลาคม พื้นที่ 22 ชนิด พื้นที่ 22 ชนิด พบมอดกลุ่มมอดชี้ชูย (Coleoptera: Bostrichidae) มากที่สุดและเป็นแมลงศัตรูที่สำคัญที่สุดของไม้ย่างพาราแบบรูป กลุ่มที่พบเล็กน้อยและเข้าทำลายเฉพาะไม้ที่มีความชื้นสูง ($> 60\%$) ได้แก่ มอดเอมบอร์เรีย (รวมทั้ง wood boring bark beetles) (ambrosia beetles: Coleoptera: Curculionidae; Platypodinae, Scolytinae) มอดชนิดที่เป็นศัตรูสำคัญที่สุดของไม้ย่างพาราแบบรูปในพื้นที่มี 4 ชนิด ชนิดที่เป็นศัตรูหลักคือ *Sinoxylon anale* Lesne ชนิดที่เป็นศัตรูรองได้แก่ *S. unidentatum* *Heterobostrycus aequalis* และ *Lyctoxylon unidentatum* การสำรวจครั้งนี้พบมอดที่รายงานใหม่ในประเทศไทย (new recorded species for Thailand) 4 ชนิด ได้แก่ *Cephalotoma tonkinea* Lesne *Lyctoxylon dentatum* (Pascoe) และ *Minthea reticulata* Lesne และ *Euwallacea interjectus* (Blandford) ในพื้นที่ภาคใต้ทั้งสองผู้มีความแตกต่างของความหลากหลายทางชีวภาพ แต่ไม่มีความแตกต่างของอัตราการเข้าทำลายของมอดในไม้ย่างพารา ปัจจัยที่มีผลต่ออัตราการเข้าทำลายและการระบาดของมอดที่สำคัญที่สุดได้แก่ ปริมาณและความต่อเนื่องของไม้ย่างพาราที่มอดสามารถเข้าทำลายได้ในโรงเลื่อย (ไม้ที่ไม่อนับน้ำรักษาเนื้อไม้) โดยปัจจัยที่สำคัญที่มีผลต่อปริมาณไม้ตั้งกล่าวมี 2 ประการด้วยกันได้แก่ ปริมาณน้ำฝน (ฤดู) ทำให้การเคลื่อนไม้ออกจากแปลงมีข้อจำกัดส่งผลให้ไม้ในห้องคลадขาดแคลน และปัจจัยที่สองการรักษาความสะอาดภายในโรงเลื่อย และระดับความชื้นในไม้จะเป็นปัจจัยที่กำหนดกลุ่มของมอดที่เข้าทำลายไม้ย่างพารา

การทดลองอิทธิพลของพันธุ์ไม้ย่างพารา 3 พันธุ์ได้แก่ RRIM600 PB235 และ PARA ต่อความชื้นในการเข้าทำลายและอัตราการสืบต่อพันธุ์ของมอด *S. anale* พน.ว่า ไม้ย่างพาราพันธุ์ PB 235 มีความชื้นและอัตราการเข้าทำลายของมอดชนิดนี้รวมทั้งมอดชี้ชูยชนิดอื่นๆ มากที่สุดมากกว่า พันธุ์ RRIM600 และ PARA อย่างมีนัยสำคัญทางสถิติ และมอด *S. anale* มีอัตราการเกิดของประชากรรุ่นลูกมากที่สุดในไม้ย่างพาราพันธุ์ PB235 มากกว่าอีกสองพันธุ์อย่างมีนัยสำคัญทางสถิติ โดยปัจจัยทางเคมีของไม้ที่มีผลสำคัญต่อการเข้าทำลายและชีววิทยาการสืบพันธุ์ของมอดมากที่สุดได้แก่ ปริมาณแป้งในไม้ย่างพารา ไม้ที่มีปริมาณแป้งสูงมอดจะเข้าทำลายมากกว่าไม้ที่มีแป้งน้อยกว่า และคาดว่าปริมาณแป้งจะมีผลต่อจำนวนประชากรรุ่นลูกของมอดด้วย โดยไม่ที่มีปริมาณแป้งสูงกว่าจะส่งผลให้มอดมีอัตราการขยายพันธุ์สูงกว่า

7. เอกสารอ้างอิง

- กรมอุทยาน สัตว์ป่า และพันธุ์พืช. 2547. ข้อมูลสถิติ อุทยานแห่งชาติสัตว์ป่า และพันธุ์พืช. 112 หน้า.
- จากรูปนี้ วงศ์ช้านหลวง และไพรวรณ์ เล็กอุทัย. 2524. การใช้สารเคมีในการป้องกันมอดทำลายไม้. หนังสือประชุมการป่าไม้, กรมป่าไม้.
- จากรูปนี้ วงศ์ช้านหลวง และไพรวรณ์ เล็กอุทัย. 2525. การใช้สารเคมีในการป้องกันมอดทำลายไม้ (ตอนที่ 1 และตอนที่ 2). หนังสือประชุมการป่าไม้, กรมป่าไม้.
- ธีระ วีณิน. 2549. การรักษาคุณภาพไม้. สำนักงานพัฒนาวิทยาศาสตร์และเทคโนโลยีแห่งชาติ กระทรวงวิทยาศาสตร์และเทคโนโลยี. 38 หน้า.
- พายัพ กำเนิดรัตน์, สมนึก ผ่องอิ่วไฟ และสุวิทย์ แสงทองพรา. 2513. การศึกษาค้นคว้าเกี่ยวกับแมลงที่ทำลายไม้ชุงในประเทศไทย. เอกสารงานวิจัย, ภาควิชาชีววิทยา คณะวิทยาศาสตร์ มหาวิทยาลัยเกษตรศาสตร์, กรุงเทพฯ.
- ไพรวรณ์ เล็กอุทัย. ม.ป.ป.. สัตว์และแมลงทำลายไม้บางชนิดที่มีความสำคัญทางเศรษฐกิจ. การประชุมการป่าไม้, สาขาวนผลิตภัณฑ์, กรมป่าไม้.
- ไพรวรณ์ เล็กอุทัย. 2524. มอดชนิดต่างๆ ที่ทำลายไม้. การประชุมการป่าไม้ปี 2524 สาขาวนผลิตภัณฑ์, กรมป่าไม้.
- รัชนีวรรณ การค้า และหัตถศิริ รติวนิช. 2538. ไม้ยางพารา แนวทางการลงทุนในอุตสาหกรรมผลิตภัณฑ์ไม้ ยางพารา. วันสาร 3-4: 18-23.
- สำนักวิจัยการจัดการป่าไม้และผลิตผลป่าไม้. 2548. รายงานการพัฒนาอุตสาหกรรมไม้ยางพาราไทยในรอบปี 2545-2548. 65 หน้า.
- Akhter, K. 2005. Preservative treatment of rubber wood (*Hevea brasiliensis*) to increase its service life. The International Research Group on Wood Protection, the 36th Annual Meeting. 2005.
- Anonymous. 2005. Rubber-wood 1, 2- Introduction & Resources Properties, available from <http://www.I08wood.com/>, 24 December, 2006.
- Bamber, R.K. and Erskine, R.B. 1965. Relationship of Vessel Diameter to *Lyctus* Susceptibility in Some New South Wales Hardwoods. Research Note No. 15, Division of Forest Management, Forestry Commission of NSW. 18 pp.
- Bletchly, J.D. 1960. Studying the eggs of *Lyctus brunneus*. Timber Technology 68: 29-31.

- Cookson, L. J. 2004. Treatment Methods for the Protection of Hardwood Sapwood from Lyctine Borers. Forest & Wood Products Research and Development Corporation. Australia 2004.
- Creffield, J.W. 1991. Wood Destroying Insects, Wood Borers and Termites. CSIRO Publications, East Melbourne.
- Cummins, J.E. and Wilson, H.B. 1934. The pore size (vessel diameter) of some Australian timbers and their susceptibility to attack by the powder post beetle, *Lyctus brunneus* Stephens. Journal of Australia's Commonwealth Scientific and Industrial Research Organisation 9:37-56.
- Dall'Oglio, O. T. and Filho, O. P. 1997. Survey and populational dinamic of borers in homogeneous plantations of rubber trees in Itiquira - MT, Brazil. Scientia Forestalis, 51: 49-58.
- Darval, A., Filho, O. P. and Marques, E. N. 2004. Survey of Scolytidae (Coleoptera) in Plantation of *Eucalyptus* spp. In Cuiaba state of Mato Grosso, Brazil. Ciencia Florestal 14: 47-58.
- Detmers, H.B. 1988. Untersuchungen zur biologischen Bedeutung des Holzes für den Grossen Kornbohrer *Prostephanus truncatus* (Bostrychidae). Mitteilungen aus der Biologischen für Land und Forstwirtschaft. 94pp.
- Faccoli, M., Miroslav, B. and Schlyter, F. 2004. Feeding response to host and nonhost compound by males and females of the spruce bark beetle *Ips typographus* in a tunneling microassay. Journal of Chemical Ecology 31: 745-759
- Fisher, R.C. 1929. *Lyctus Powder-post Beetle*. Department of Scientific and Industrial Research. Forest Products Research. Bulletin No. 2. His Majesty's Stationery Office, London. 1-46.
- Gay, F.J. 1953. Observation on the biology of *Lyctus brunneus* (Steph.). Australian Journal of Zoology 1: 102-140.
- Hank, M., Paine, T. D. and Millar, J. G. 1993. Host species preference and larval performance in the wood-boring beetle *Phoracantha semipunctata* F. Oecologia 95: 22-29.
- Harmatha, J. and Nawrot, J. 2002. Insect feeding deterrent activity of lignans and related phenylpropanoids with a ethylenedioxyphenyl (piperonyl) structure moiety. Entomologia Experimentalis et Applicata 104: 51-60.
- Hickin, N.E. 1975. The Insect Factor in Wood Decay. 3rd edn, edited and revised by Robin Edwards. The Rentokil Library. Associated Business Programmes Ltd, London. 383 pp.
- Hoell, W., Frommberger, M. and Strassl, C. 2002. Soluble carbohydrates in the nutrition of house longhorn beetle larvae, *Hylotrupes bajulus* (L.) (Col., Cerambycidae): from living sapwood to faeces. Journal of Applied Entomology 126:463-469

- Hodges, R.J. 1994. Recent advances in the biology and control of *Prostephanus truncatus* (Coleoptera: Bostrichidae). In E. Highley, E. J. Wright, H. J. Banks, and B. R. Champ [eds.], Proceedings of the 6th International Working Conference on stored-product Protection, 17-23 April 1994, Canberra, Australia.
- Hong L.T., Sujan M.A., Tan A.G., and Singh, D. 1982. Preservation and protection of rubberwood against biodeteriorating organisms for more efficient utilization. The Malaysian Forester 45:299-315
- Hugh, C. 2006. Chemical and Other Safety Information. Physical and Theoretical Chemistry Laboratory, Oxford University, England. Online available from <http://ptcl.chem.ox.ac.uk/MSDS/>, 24 December, 2006.
- Hussein, N. Br. 1981. A preliminary assessment of the relative susceptibility of rubberwood to beetle infestation. The Malaysian Forester 44, 482-487.
- Hutacharern, C. and Tubtim, N. 1995. Checklist of Forest insects in Thailand. OEPP Biodiversity series volume I, Office of Environmental Policy and Planning, Thailand. 392 pp.
- Kuschel, G., R. A. B. Leschen, et al. (2000): Platypodidae under scrutiny. Invertebrate Taxonomy 14: 771-805.
- Lesne P (1932) Les formes d'adaptation au commensalisme chez les Lyctites. Livre du Centenaire, Société Entomologique de France, Paris, 619-627 pp.
- Marvaldi, A. E., Sequeira, A. S., O'Brien, W. C., Farrell, B. D. 2002. Molecular and Morphological Phylogenetics of Weevils (Coleoptera, Curculionoidea): Do Niche Shifts Accompany Diversification?. Systematic Biology 51: 761-785.
- Morewood, W. D., Neiner, P. R., McNeil, J. R., Sellmer, J. C. and Hoover, K. 2003. Oviposition Preference and larval performance of *Anoplophora glabripennis* (Coleoptera: Cerambycidae) in Four Eastern North American hardwood tree species. Environmental Entomology 32: 1028-1034.
- Nansen, C. and Meikle, W.G. 2002. The biology of the larger grain borer, *Prostephanus truncatus* (Horn) (Coleoptera: Bostrichidae). Integrated Pest Management Reviews 7: 91-104.
- Nerg, A.M., Heijari, J., NoldtT, U., Viitanen, H., Vuorinen, M., Kainulainen, P. and Holopainen, J. K. 2003. Significance of wood terpenoids in the resistance of scots pine provenance against the old house borer, *Hylotrupes bajulus*, and Brown-rot fungi, *Coniophora puteana*. Journal of Chemical Ecology 30: 125-141.

- Okahisa Y., Yoshimura, T. and Imamura, Y. 2006. Seasonal and height-dependent fluctuation of starch and free glucose contents in moso bamboo (*Phyllostachys pubescens*) and its relation to attack by termites and decay fungi. *Journal of Wood Science* 52:445-451.
- Parkin, E.A. 1936. A study of the food relations of the *Lyctus* powderpost beetles. *Annals of Applied Biology* 23: 369-402.
- Peters, B. C., Creffield, J. W., and Eldridge, R. H. 2002. Lyctine (Coleoptera: Bostrichidae) pests of timber in Australia: a literature review and susceptibility testing protocol. *Australian Forestry*. 65:107-119.
- Pike, V., J. L. Smith, R. D. White, and R. D Hall. 1994. Studies of responses of stored-products pests, *Prostephanus truncatus* (Horn) and *Sitophilus zeamais* (Motsch) to food volatiles, In E. Highley, E. J. Wright, H. J. Banks, and B. R. Champ [eds.], *Proceedings of the 6th International Working Conference on stored-product Protection, 17-23 April 1994, Canberra, Australia.*
- Poole, R. W. 1974. An introduction to quantitative ecology. McGraw-Hill, New York, N. Y. 532 pp.
- Ratnasingam, J., Reid, H.F. and Perkins, M.C. 2002. The abrasive sanding of rubberwood (*Hevea brasiliensis*): an industrial perspective. *Holz als Roh- und Werkstoff* 60: 191-19.
- Rosel, A. 1969. Oviposition, egg development and other features of the biology of five species of Lyctidae (Coleoptera). *Journal of the Australian Entomological Society* 8: 145-152.
- Scholz, D., Tchabi, A., Borgemeister, C., Markham, R.H., Poehling, H.-M. and Lawson, A. 1997. Host-finding behaviour of *Prostephanus truncatus* (Horn) (Col., Bostrichidae): Primary attraction or random attack? *Journal of Applied Entomology* 121: 261-9.
- Silpi, U., Thaler, P., Kasemsap, P., Lacointe, A., Chantuma, A., Adam, B., Gohet, E., Thanisawanyangkura, S. and Améglio, T. 2006. Effect of tapping activity on the dynamics of radial growth of *Hevea brasiliensis* trees. *Tree Physiology* 26: 1579-1587
- Simpson, L.A. and Barton, A.F.M. 1991. Time dependence of starch levels in the sapwood of *Eucalyptus diversicolor* (karri) as: standing trees, stored saw-logs, ringbarked trees and trees felled without lopping. *Holzforschung* 45:253-257.
- Sittichaya, S. and Beaver, R. 2009. Rubberwood-destroying beetles in the eastern and gulf areas of Thailand (Coleoptera: Bostrichidae, Curculionidae: Scolytinae and Platypodinae). *Songklanakarin Journal of Science and Technology* 31:381-387.

- Sittichaya, W., Beaver, R. A., Liu, L. and Ngampongsai, A. 2009. Checklist of bostrichids wood-boring beetles of rubberwood sawn timber from southern Thailand: with three newly recorded species for Thailand. (In press)
- Stebbing, E. P.. 1914. Indian forest insects of economic importance: Coleoptera. Eyre and Spottiswoode Ltd., Agents for Indian Government Publications. 804pp.
- Takahashi, M. and Kishima, T. 1973. Decay resistance of sixty-five southeast Asian timber specimens in accelerated laboratory tests. *Tonan Ajia Kenkyu (South East Asian Studies)* 10: 525-541.
- Wong, A.H.H., Grace, J.K. and Kirton, L.G. 1998. Termite resistance of Malaysian and exotic woods with plantation potential: field evaluation. The International Research Group on Wood Preservation. Document No.IRG/WP 98-10289.
- Wong, A.H.H., Kim, Y.S., Singh, A.P. and Ling, W.C. 2005. Natural Durability of Tropical Species with Emphasis on Malaysian Hardwoods - Variations and Prospects. The International Research Group on Wood Preservation. Paper prepared for the 36th Annual Meeting Bangalore, India. 24 - 28 April 2005.
- Wright, M.A.P., Akou-Edi, D. and Stabrawa, A. 1993. Infestation of dried cassava and maize by *Prostephanus truncatus*: Entomological and socioeconomic assessments for the development of loss reduction strategies. R1941. Chatham: Natural Resources Institute Report, UK.

ภาคผนวก

ตารางภาคผนวกที่ 1 จำนวนและเปอร์เซ็นของแมลงที่พบเข้าทำลายไม้ย่างพาราแปรภูปในพื้นที่ภาคใต้แบ่งตามพื้นที่ศึกษาและครั้งที่สำรวจ

Taxa	ภาคใต้ฝั่งตะวันออก						ภาคใต้ฝั่งตะวันตก						ภาคใต้			
	ครั้งที่สำรวจ			รวม	%	ครั้งที่สำรวจ			รวม	%	รวม	%				
	1	2	3			1	2	3								
Bostrichidae																
<i>Sinoxylon anale</i>	267	161	1201	1629	14.88	82	184	2436	2702	24.68	4331	39.56				
<i>Sinoxylon unidentatum</i>	148	225	1235	1608	14.69	119	132	122	373	3.41	1981	18.09				
<i>Heterobostrychus aequalis</i>	260	109	220	589	5.38	174	100	216	490	4.48	1079	9.86				
<i>Lyctoxylon dentatum</i>	52	214	142	408	3.73	232	78	244	554	5.06	962	8.79				
<i>Xylopsocus capucinus</i>	3	5	91	99	0.90	173	49	86	308	2.81	407	3.72				
<i>Xylotriips flavipes</i>	66	90	20	176	1.61	114	38	9	161	1.47	337	3.08				
<i>Dinoderus minutus</i>	38	104	0	142	1.30	12	24	0	36	0.33	178	1.63				
<i>Minthea reticulata</i>	7	37	2	46	0.42	106	10	-	116	1.06	162	1.48				
<i>Cephalotoma tonkinea</i>	2	-	-	2	0.02	5	6	-	11	0.10	13	0.12				
รวม Bostrichidae	843	945	2911	4699	42.92	1017	621	3113	4751	43.40	9450	86.32				

ตารางภาคผนวกที่ 1 จำนวนและเปอร์เซ็นของแมลงที่พบเข้าทำลายไม้ย่างพาราแปรรูปในพื้นที่ภาคใต้แบ่งตามพื้นที่ศึกษาและครั้งที่สำรวจ (ต่อ)

Taxa	ภาคใต้ฝั่งตะวันออก			ภาคใต้ฝั่งตะวันตก			ภาคใต้					
	ครั้งที่สำรวจ			รวม	%	ครั้งที่สำรวจ			รวม	%	รวม	%
	1	2	3			1	2	3				
Curculionidae												
<i>Xyleborus affinis</i>	39	46	-	85	0.78	-	348	-	348	3.18	433	3.96
<i>Hypothenemus erusidus</i>	-	70	112	182	1.66	-	183	-	183	1.67	365	3.33
<i>Euplatypus parallelus</i>	2	10	-	12	0.11	258	10	-	268	2.45	280	2.56
<i>Xyleborus perforans</i>	119	35	-	154	1.41	-	96	-	96	0.88	250	2.28
<i>Xyleborus similis</i>	-	122	-	122	1.11	-	7	-	7	0.06	129	1.18
<i>Xylosandrus crassiusculus</i>	-	12	-	12	0.11	-	-	-	0	0.00	12	0.11
<i>Dinoplatypus pseudocupulatus</i>	-	7	-	7	0.06	-	-	-	0	0.00	7	0.06
<i>Hypothenemus areccae</i>	-	5	-	5	0.05	-	1	-	1	0.01	6	0.05
<i>Crossotarsus extarndetatus</i>	-	5	-	5	0.05	-	-	-	0	0.00	5	0.05
<i>Hypothenemus birmanus</i>	-	4	-	4	0.04	-	-	-	0	0.00	4	0.04
<i>Dinoplatypus cupulatus</i>	-	-	-	0	0.00	-	3	-	3	0.03	3	0.03
<i>Dinoplatypus padilus</i>	-	-	-	0	0.00	2	-	-	2	0.02	2	0.02
<i>Euwallacea interjectus</i>	-	1	-	1	0.01	-	1	-	1	0.01	2	0.02
รวม Curculionidae	160	317	112	589	5.38	260	649	-	909	8.30	1498	13.68
รวมทั้งหมด	1003	1262	3023	5288	48.30	1277	1270	3113	5660	51.70	10948	100
%	9.16	11.53	27.61	48.30		11.66	11.60	28.43	51.70		100.00	

ตารางภาคผนวกที่ 2 ชนิดของมดขี้ขุยในวงศ์ Bostrichidae ที่มีรายงานการเข้าทำลายไม้ยางพารา
แปรรูปในพื้นที่ภาคใต้และภาคตะวันออกของไทย และในประเทศไทยเชีย

Taxa	Locations			
	Thailand ¹	Southern Thailand ²	Eastern Thailand	Malaysia ³
Bostrichinae				
<i>Apoleon edax</i>	/	-	-	-
<i>Heterobostrychus aequalis</i>	/	/	/	/
<i>Heterobostrychus pileatus</i>	/	-	-	-
<i>Heterobostrychus unicornis</i>	/	-	-	-
<i>Sinaxylo ruficorne</i>	/	-	-	-
<i>Sinoxylon anale</i>	/	/	/	/
<i>Sinoxylon unidentatum</i>	-	/	/	/
<i>Xylopsocus capucinus</i>	-	/	/	/
<i>Xylopsocus ensifer</i>	-	-	-	/
<i>Xylotriips flavipes</i>	/	/	/	/
Dinoderinae				
<i>Dinoderus bifoveolatus</i>	-	-	-	/
<i>Dinoderus minutus</i>	-	/	/	/
Lyctinae				
<i>Cephalotoma tonkinea</i>	-	/	-	-
<i>Lyctoderma coomani</i>	-	-	/	-
<i>Lyctoxylon dentatum</i>	-	/	/	-
<i>Lyctus africanus</i>	/	-	/	-
<i>Lyctus brunneus</i>	-	-	-	/
<i>Minthea reticulata</i>	-	/	/	/
<i>Minthea rugicallis</i>	/	-	-	/

¹/ Hutacharearn และ Tabtim (1995) ²/ Sittichaya และคณะ (unpublished) ³/ Ho และ Hashim (1997) และ

Hussein (1981)

ตารางภาคผนวกที่ 3 ชนิด Wood boring bark beetles และชนิดเม่นใบเรียว (Ambrosia beetles) ที่รายงานเข้าทำลายไม้ย่างพาราในพื้นที่ภาคใต้และภาคตะวันออกของไทย และในประเทศไทยและมาเลเซีย

Taxa	Locations		
	Southern Thailand ¹	Eastern Thailand ²	Malaysia ³
Platypodinae			
<i>Crossotarsus externedentatus</i> (Fairmaire)	/	-	*
<i>Crossotarsus wallacei</i>	-	-	*
<i>Dinoplatypus cupulatus</i> (Chapuis)	/	-	*
<i>Dinoplatypus pseudocupulatus</i> (Schedl)	/	-	*
<i>Euplatypus parallelus</i>	/*	/*	-
<i>Platypus insularis</i>	-	-	*
<i>Platypus lucasi</i>	-	-	*
<i>Platypus solidus</i>	-	-	*
<i>Platypus westwoodi</i>	-	-	*
Scolytinae			
<i>Arixyleborus malayensis</i> Schedl	-	/	-
<i>Dactilipalpus transversus</i>	-	-	*
<i>Eccopteropterus sexspinosus</i>	-	/	*
<i>Eccoptopterus spinosus</i> (Olivier)	-	/	-
<i>Euwallacea fornicatus</i>	/	-	*
<i>Euwallacea interjectus</i> (Blandford)	/	-	*
<i>Hypothenemus areccae</i>	/	-	-
<i>Hypothenemus birmanus</i>	/	-	-
<i>Hypothenemus eruditus</i>	/	/	-
<i>Hypothenemus parvulus</i>	-	-	*
<i>Hypothenemus setosus</i>	-	-	/
<i>Xyleborinus exiguum</i> (Walker)	-	/	-
<i>Xyleborus affinis</i>	/	/	-
<i>Xyleborus parvulus</i>	-	-	*
<i>Xyleborus perforans</i>	/	-	*
<i>Xyleborus similis</i> Ferrari	/	-	*
<i>Xylosandrus crassiusculus</i> (Motschulsky)	-	/	-
<i>Xylosandrus mancus</i> (Blandford)	-	/	-

/ แสดงชนิดของมอดเข้าทำลายไม้ย่างพาราแบบรูป * แสดงชนิดของมอดเข้าทำลายไม้ย่างพาราท่อนบนคนน้ำ

ตารางภาคผนวกที่ 6 ค่าเฉลี่ยปริมาณแป้ง (Starch) ลิกนิน (lignin) และสารแทรก (wood extractive) ในไม้ยางพาราพันธุ์ RRIM 600 PB235 และ ยางพารา (ไม้ระบุพันธุ์)

ตัวอย่าง (ราก)	แป้ง (Starch)			ลิกนิน (lignin)			สารแทรก (wood extractive)		
	RRIM600	PB235	Para	RRIM600	PB235	Para	RRIM600	PB235	Para
1	2.14	3.08	3.11	25.02	24.36	26.69	11.10	11.58	9.94
2	2.20	3.36	2.95	25.21	26.94	26.53	10.57	11.43	11.75
3	2.35	3.06	2.82	28.28	25.70	24.96	11.16	12.11	10.48
4	2.32	3.10	2.67	24.90	23.32	26.76	9.99	11.92	10.99
5	2.27	2.93	3.18	23.94	23.42	24.71	10.53	11.00	11.14
เฉลี่ย	2.26±0.09 ^a	3.11±0.16 ^b	2.95±0.21 ^b	25.47±1.65 ^a	24.75±1.55 ^a	25.93±1.01 ^a	10.67±0.48 ^a	11.61±0.4 ^b	10.86±0.69 ^{ab}

แนวทางในการจำแนกชนิดของมดขี้ชุยทำลายไม้ยางพารา ในประเทศไทย

แนวทางในการจำแนกนี้เป็นส่วนหนึ่งของเอกสาร An illustrated key to powder post beetles (Coleoptera: Bostrichidae) associated with rubberwood in Thailand, with new records and a checklist of species found in Southern Thailand (Wisut Sittichaya, Roger A. Beaver, Lan-Yu Liu, Aran Ngampongsai) ตีพิมพ์ในวารสาร ZooKeys

Key to the Species of Bostrichidae Infesting Rubberwood Sawn Timber in Thailand

The key is a part of "An illustrated key to powder post beetles (Coleoptera: Bostrichidae) associated with rubberwood in Thailand, with new records and a checklist of species found in Southern Thailand (Wisut Sittichaya, Roger A. Beaver, Lan-Yu Liu, Aran Ngampongsai)" published in Zookeys.

แนวทางในการจำแนกชนิดของมดขี้ชุยที่ทำลายไม้ยางพาราในประเทศไทย

Key to the Species of Bostrichidae Infesting Rubberwood Sawn Timber in Thailand

- 1 Head directed to the front, fully visible from above. 2
- Head covered by pronotum, not visible from above. 9
- 2 Pronotum not flattened, rounded at sides without lateral margins, disc of pronotum tuberculate (Fig.5). Antenna 10-segmented with elongate 3-segmented club. Larger species, 10 – 21 mm long. (*Dysidinae*). *Apoleon edax* Gorham
- Pronotum more or less flattened with complete lateral margins, disc not tuberculate (Figs 1-3). Antenna 11-segmented usually with 2-segmented club (Fig.12f-h), if 3-segmented, segments less elongate (Fig.12i, j). Smaller species, at most 4 mm long. (*Lyctinae*). 3
- 3 Antennal club 2-segmented. Body moderately flattened. Elytral punctures usually seriate. (Figs 1-3) (*Lyctini*). 4
- Antennal club 3-segmented. Body very strongly flattened. Elytral punctures confused. (Fig.4) (*Trogoxylini*). 8
- 4 Antennal club with terminal antennomere ovoid becoming attenuated towards apex (Fig. 12f) (*Lyctus*) 5
- Antennal club with one or both antennomeres greatly elongated (Fig.12g,h) 6
- 5 Pronotum and elytra with short, fine, yellowish hairs, elytra usually brightly shining (Fig. 1). *Lyctus africanus* Lesne
- Pronotum and elytra densely covered with long, coarse, curved hairs, not brightly shining (Fig.2). *Lyctus tomentosus* Reitter
- 6 Antennal club with both segments elongate, subequal in length, segments of funicle without semierect, scale-like setae (Fig.12h); elytra with short, thick, semierect setae, not arranged in regular rows (Fig.3c). *Lyctoxylon dentatum* (Pascoe)

- Antennal club with only terminal segment elongate, segments of funicle with semierect, scale-like setae (Fig.12g); elytra with regular rows of wide, flattened, erect, scale-like setae. (*Minthea*) 7
- 7 Thoracic fovea deeply and distinctly reticulate; lateral margin of pronotum distinctly toothed and with from 7 to 12 stiff narrow scale-like setae Fig.3a) *Minthea reticulata* Lesne
- Thoracic fovea punctate, not distinctly reticulate; lateral margin of pronotum rather smooth and with from 13 to 19 broad scale-like setae (Fig.3b) *Minthea rugicollis* (Walker)
- 8 Body strongly shining. Punctures on pronotum and elytra less dense, separated by much more than their own diameter. Pronotum with oblique, elongate rugulosities at sides near posterior angles (Fig.4a). Antenna (Fig.12i) *Lyctoderma coomani* Lesne
- Body dull or weakly shining. Pronotum and elytra very densely punctured, the punctures separated by less than their own diameter. Pronotum without oblique rugulosities near posterior angles (Fig.4b). Antenna (Fig.12j) *Cephalotoma tonkinea* Lesne
- 9 Pronotum rounded anteriorly without larger hooks or teeth at anterior angles. Protibia with 1 apical spine; first tarsomere subequal to second. (Dinoderinae). Scutellum transversely rectangular; pronotum with an obvious pair of foveae near base (Fig.6)
..... *Dinoderus minutus* (Fabricius)
- Pronotum flattened anteriorly often with hooks or teeth near the anterior angles (Figs 7-8). Protibia with 2 apical spines; first tarsomere very much shorter than the second. (Bostrichinae).
..... 10
- 10 Intercoxal process of first abdominal ventrite forming a vertical lamina (Fig.10b). Metepisternum narrowed posteriorly so that metepimeron nearly touches metasternum (Xyloperthini). 11
- Intercoxal process of first abdominal ventrite broader, and with a ventral face (Fig.7d). Metepisternum more broadly truncate behind with metepimeron widely separated from metasternum. 12

- 11 Antenna 10-segmented, all segments of antennal club longer than wide (Fig.12c). Anterolateral part of pronotum and basal part of pronotal disk smooth, shining without puncturation. Elytral declivity with three pairs of costae at the margins, coarsely punctured above, more finely below. (Fig.11). *Xylothrips flavipes* (Illiger)
- Antenna 9-segmented, first and second segments of antennal club transverse (Fig.12d). anterolateral part of pronotum and basal part of pronotal disk punctured. Elytral declivity without costae, strongly punctured throughout. (Fig.10)..... *Xylopsocus capucinus* (Fabricius)
- 12 Segments of antennal club flabellate (Fig.12e). Mandibles short, blunt, truncate at apices which meet in midline. (Sinoxylini: *Sinoxylon*). 13
- Segments of antennal club not flabellate (Fig.12b). Mandibles long, pointed at apices, almost always crossing in mid-line. (Bostrichini: *Heterobostrychus*) 15
- 13 Teeth on elytral declivity contiguous, inserted on sutural interstriae, laterally compressed, triangular, with pointed tips, a prominent costa present on the lateral margin of the declivity at the same level, and another weaker costa more apically and laterally (Fig.9c). Larger species, .7 - 9 mm long. *Sinoxylon crassum* Lesne
- Teeth on elytral declivity not contiguous, inserted lateral to sutural interstriae, lateral margin of declivity without costae. Smaller species, up to 6 mm long. 14
- 14 Elytral disc angularly separated from declivity; elytral margins carinate below, costate above, not rounded; submarginal carina along lateral margin of elytra curving dorsally at its posterior end to join carina forming lower margin of elytral declivity. Punctures of elytral disc increasing in size posteriorly, very coarse at upper margin of declivity.(Fig.9a,d)..... *Sinoxylon anale* Lesne
- Elytral disc curving gradually into declivity; declivital margins rounded; submarginal carina along lateral margin of elytra continues to run parallel to elytral margin to reach suture. Punctures of elytral disc not greatly increasing in size towards declivity. (Fig.9b,e) *Sinoxylon unidentatum* (F.)
- 15 Posterior angles of pronotum lobed and projecting. Posterior part of pronotum with large, deep punctures. Male with two tubercles on elytral declivity, the outer forming an elongate costa, the inner forming a strong, pointed tooth directed inwardly and upwardly (Fig.7c); frons without a

nearly impunctate shining area in middle. Female without strong tubercles on elytral declivity, emargination between anterior angles of pronotum broad, extending about three quarters of distance between eyes; frons without a tuft of hairs. (Fig.7)

.....*Heterobostrychus aequalis* (Waterhouse)

— Posterior angles of pronotum rounded, at most slightly projecting. Posterior part of pronotum without large, deep punctures. Male frons with a shining almost impunctate area in middle. Female frons with a tuft of hairs; emargination between anterior angles of pronotum narrower.

.....16

16 Pronotum as wide as long. Male with inner tooth on elytral declivity pointed in lateral view (Fig.8f); frons distinctly gibbous in lateral view; hooks on anterior angles of pronotum smaller than in female (Fig.8c,d). Female with hairs of frontal tuft shorter and sparser on upper part of frons, a dense tuft on the tubercle just above the epistoma; anterior angles of pronotum separated by about one-quarter of distance between eyes.....

.....*Heterobostrychus unicornis* (Waterhouse)

— Pronotum longer than wide. Male with inner tooth on elytral declivity stouter, bluntly tipped in lateral view, directed inwardly but not upwardly (Fig.8e); clypeus not gibbous in lateral view, in same plane as frons; hooks on anterior angles of pronotum larger than in female (Figs 8a,b,10). Female with hairs of frontal tuft longer and denser, lacking a pilose tubercle just above epistoma; anterior angles of pronotum separated by about one-third of distance between eyes.*Heterobostrychus pileatus* Lesne

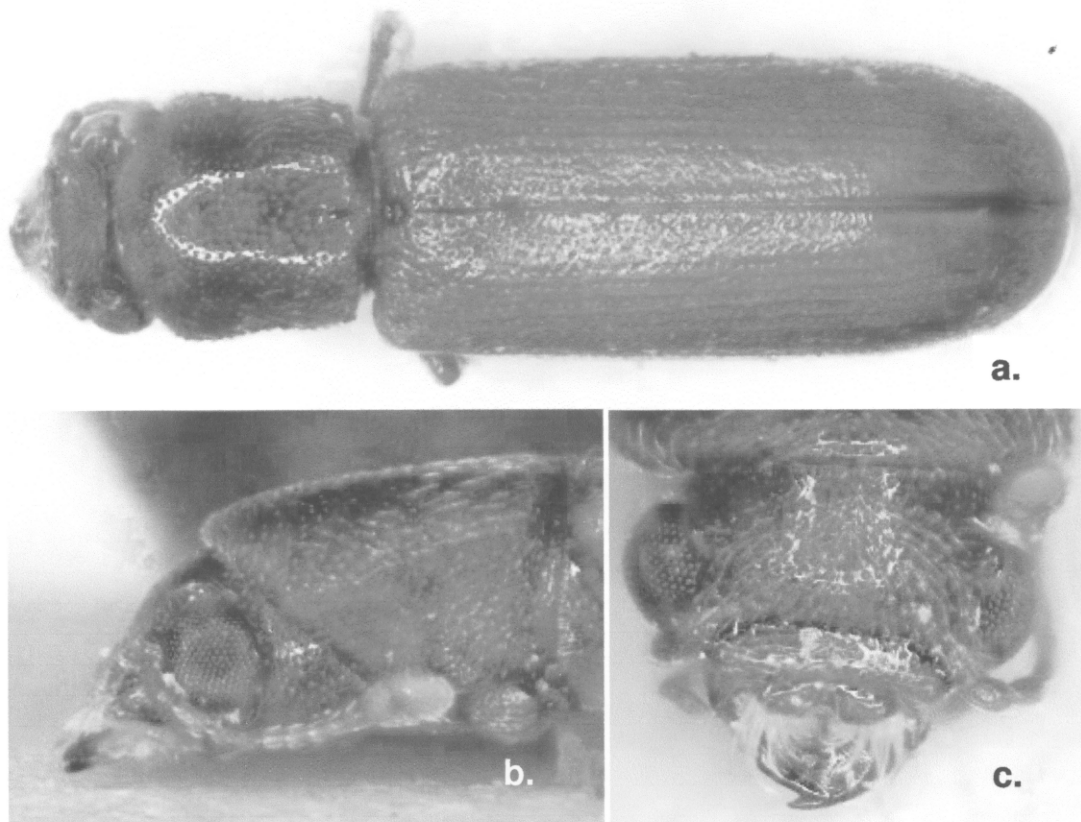


Fig.1. *Lyctus africanus* Lesne 1907. Dorsal view (a), lateral view of head (b) and frontal view of head (c).

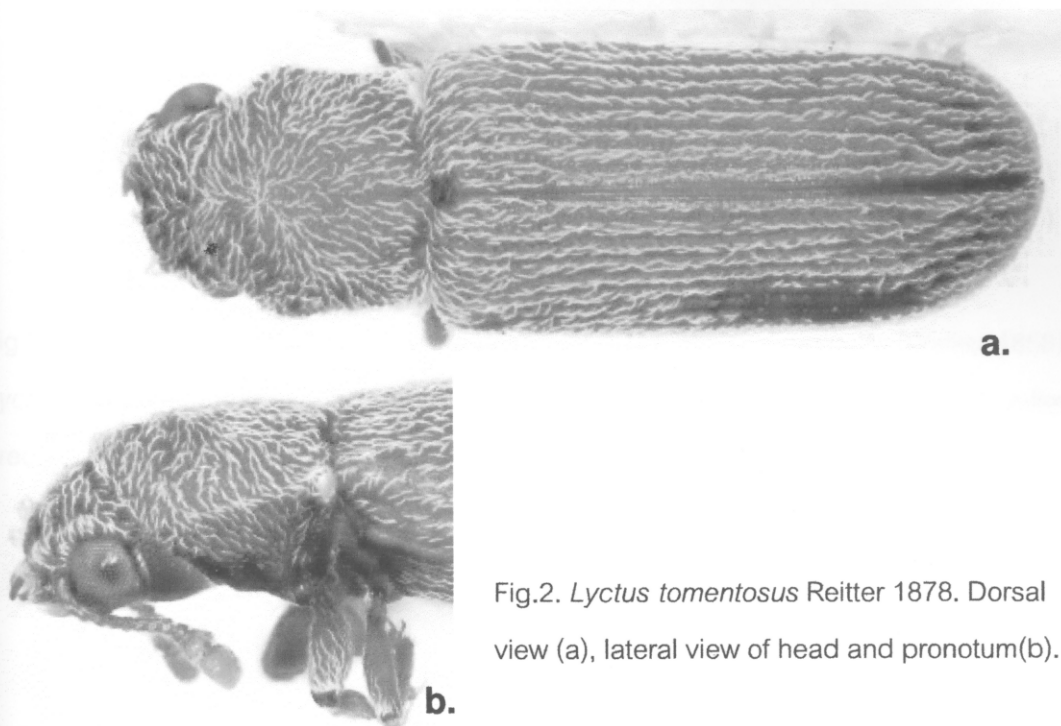


Fig.2. *Lyctus tomentosus* Reitter 1878. Dorsal view (a), lateral view of head and pronotum(b).

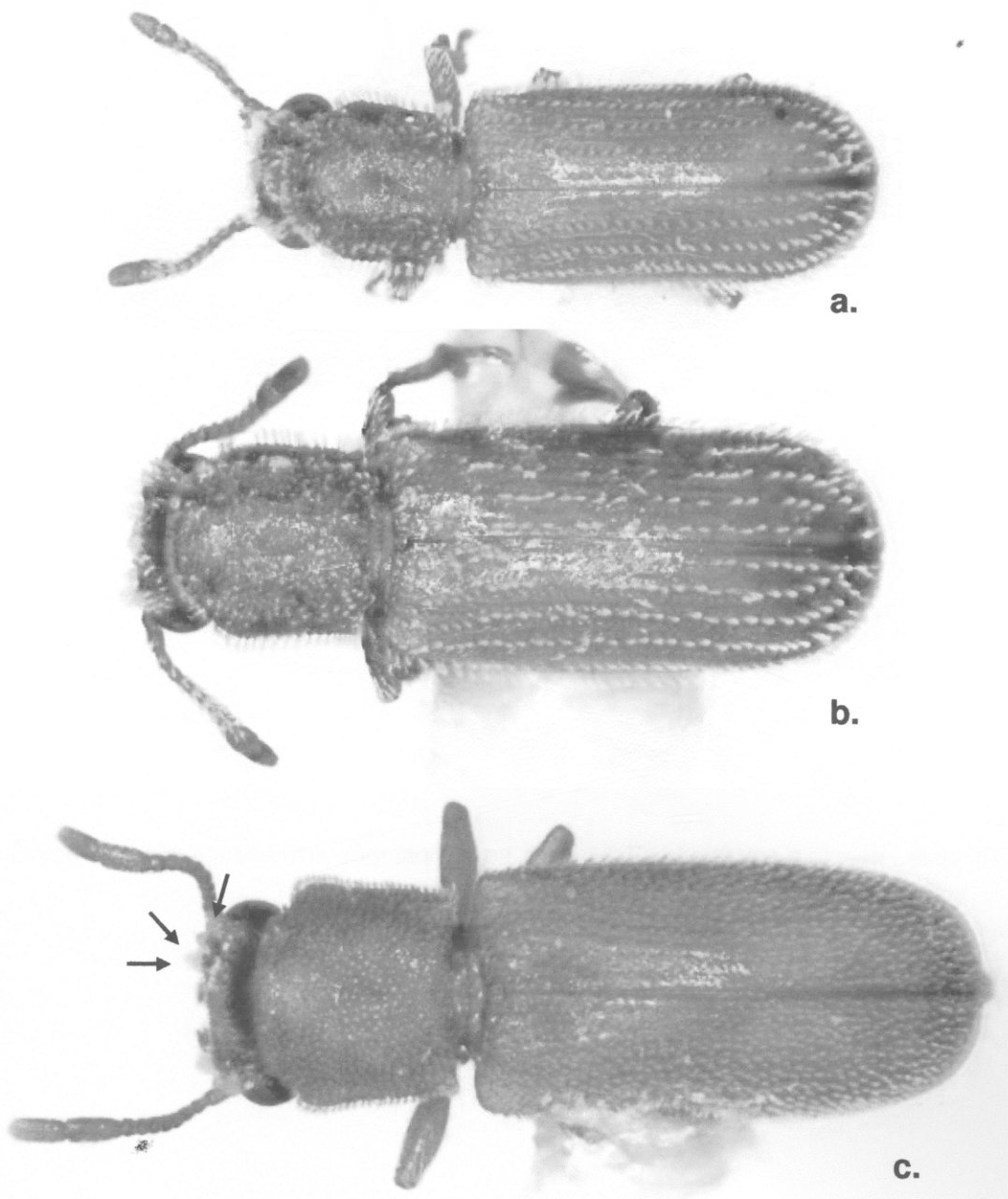


Fig.3. Dorsal views of *Minthea reticulata* Lesne 1931 (a), *Minthea rugicollis* (Walker 1858) (b), and *Lyctoxylon dentatum* (Pascoe 1866) (c). (The arrows show the groups of thickened, yellowish, erect hairs over the eyes, and on the frontal and postclypeal lobes).

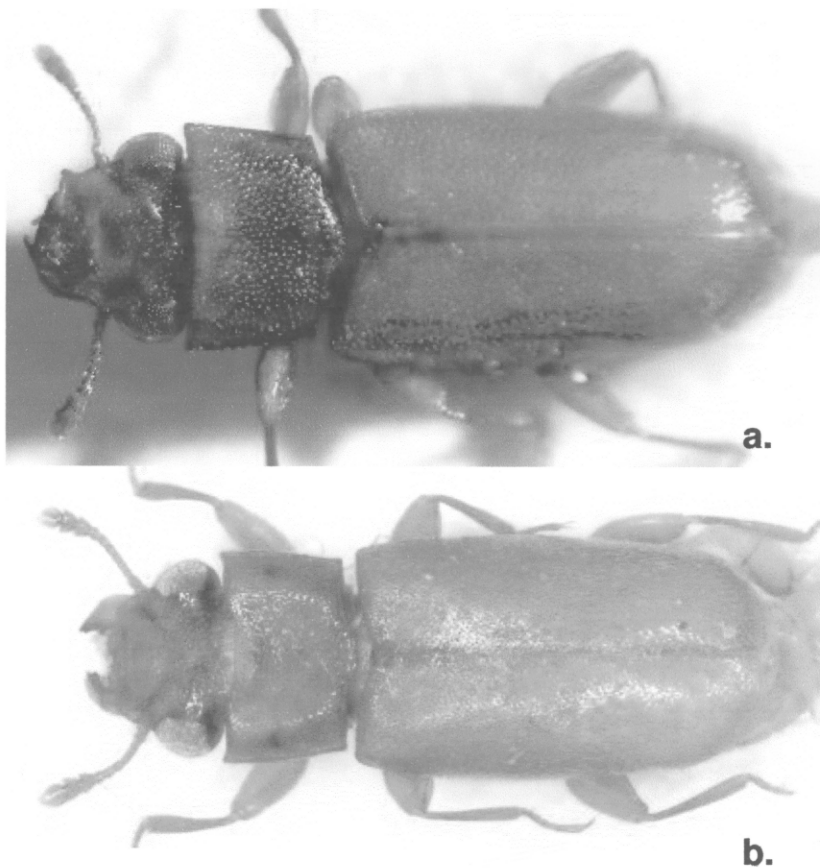


Fig.4. Dorsal views of *Lyctoderma coomani* Lesne 1932 (a), *Cephalotoma tonkinea* Lesne 1932 (b).

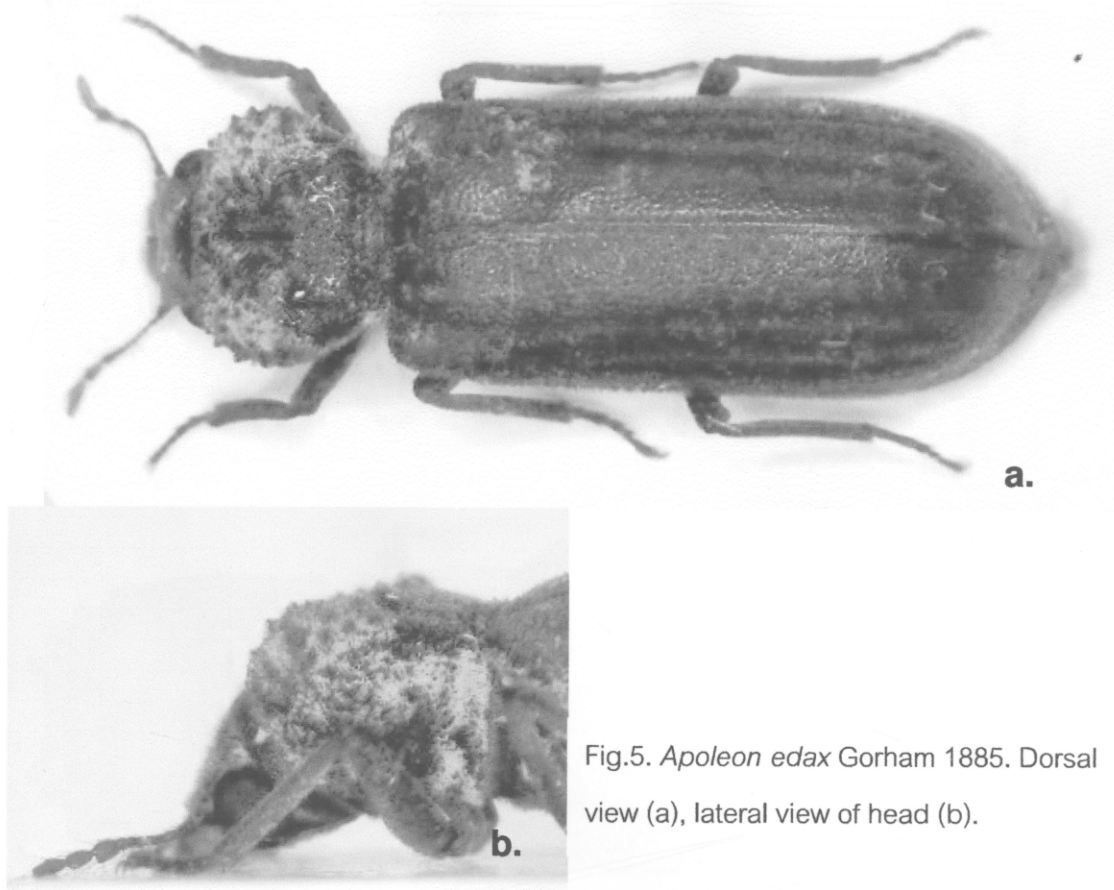


Fig.5. *Apoleon edax* Gorham 1885. Dorsal view (a), lateral view of head (b).

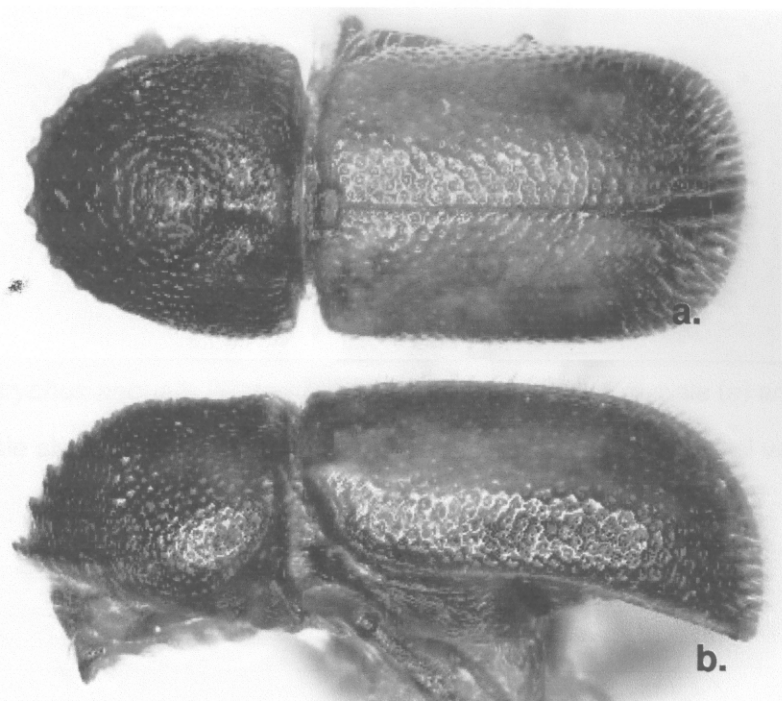


Fig.6. *Dinoderus minutus* (Fabricius 1775). Dorsal view (a) and lateral view (b).

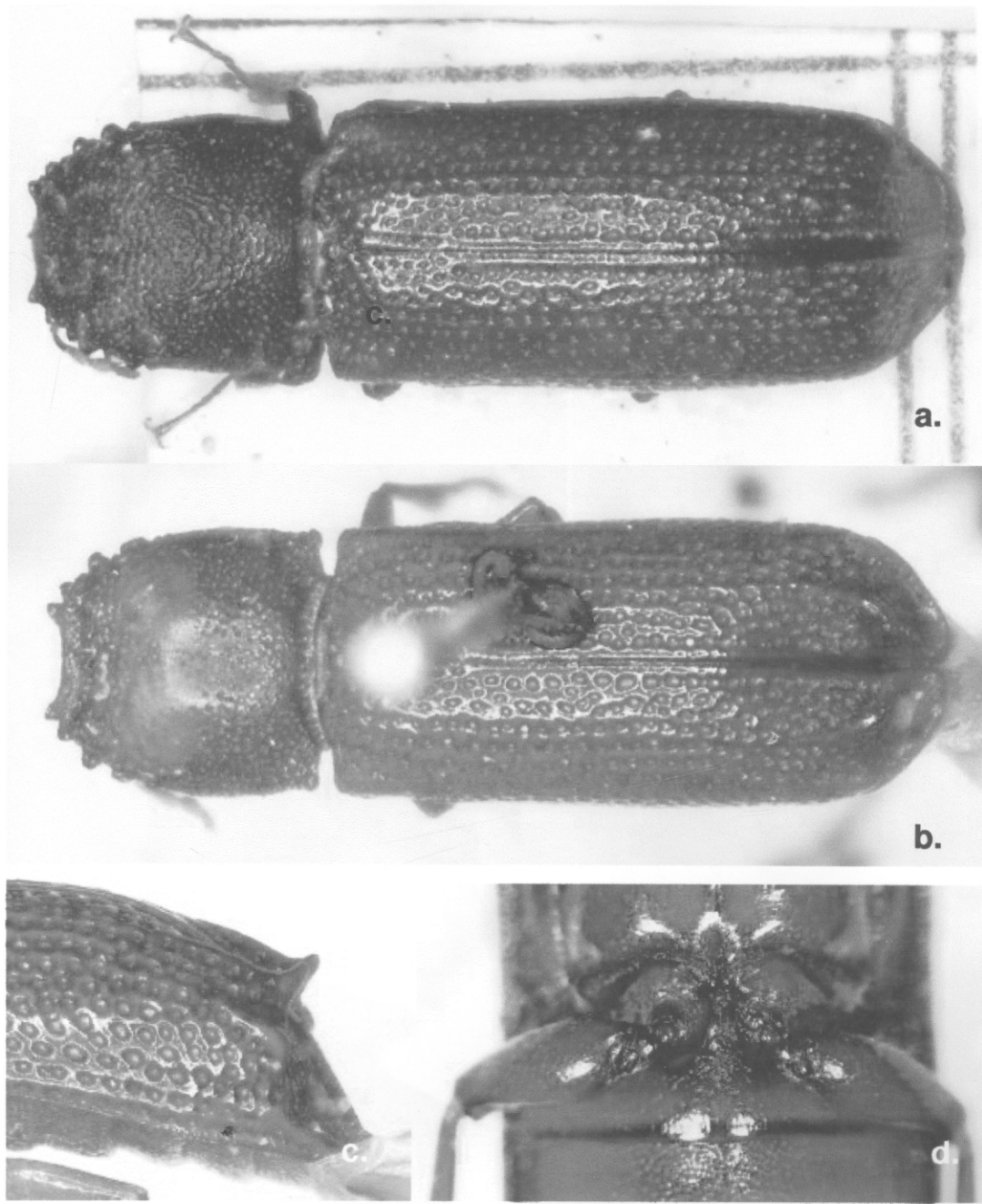


Fig.7. *Heterobostrychus aequalis* (Waterhouse 1884). Dorsal view of female (a) and male (b), lateral view of male elytral declivity (c), intercoxal process of the first abdominal ventrite (d).

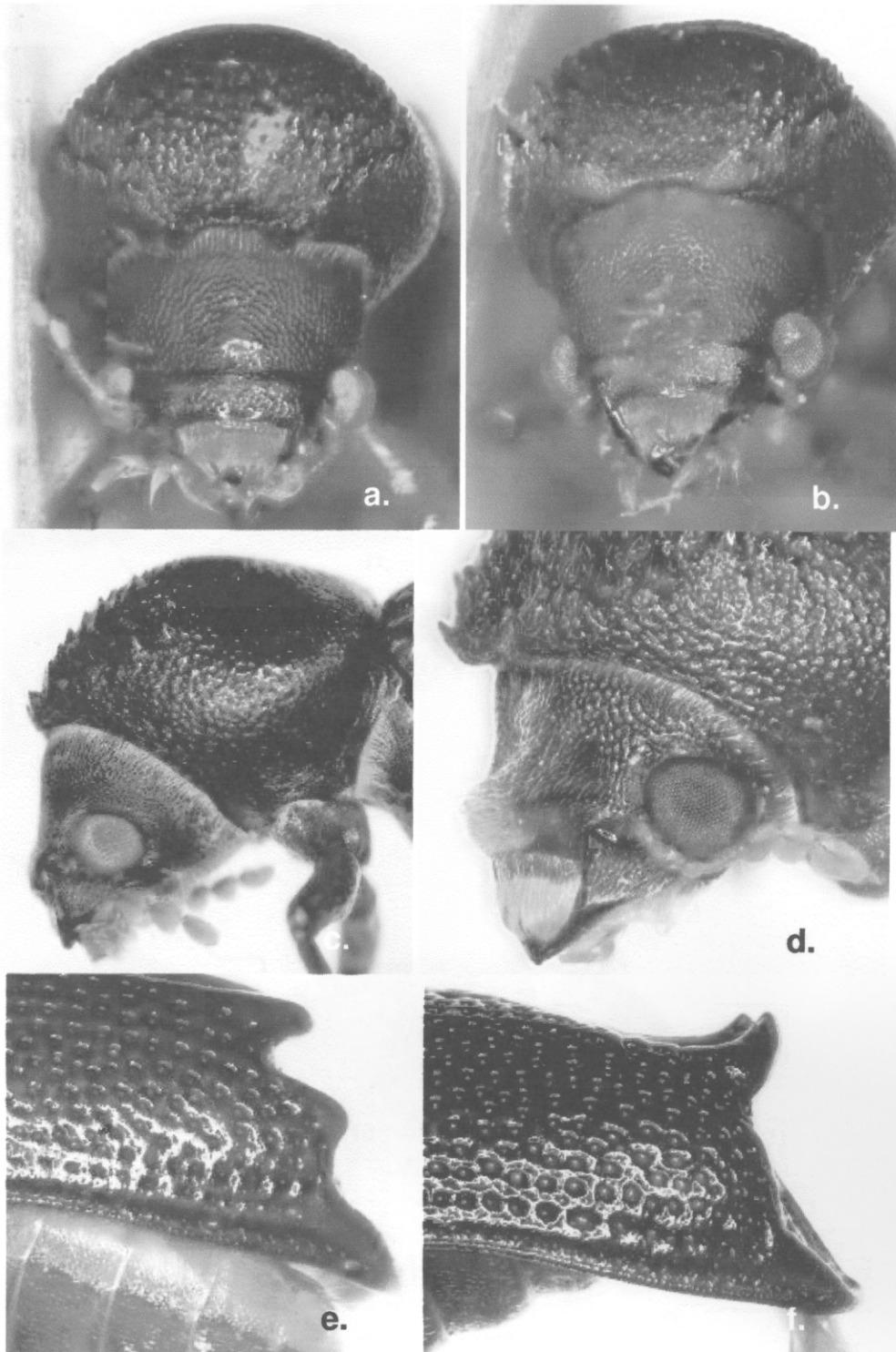


Fig.8. Head and pronotum of *Heterobostrychus pileatus* Lesne 1899 (frontal view, a-male, b-female), and *Heterobostrychus unicornis* (Waterhouse 1879) (c-male, frontal view; d-female, lateral view). Lateral view of male elytral declivity (e-*H. pileatus*, f-*H. unicornis*).

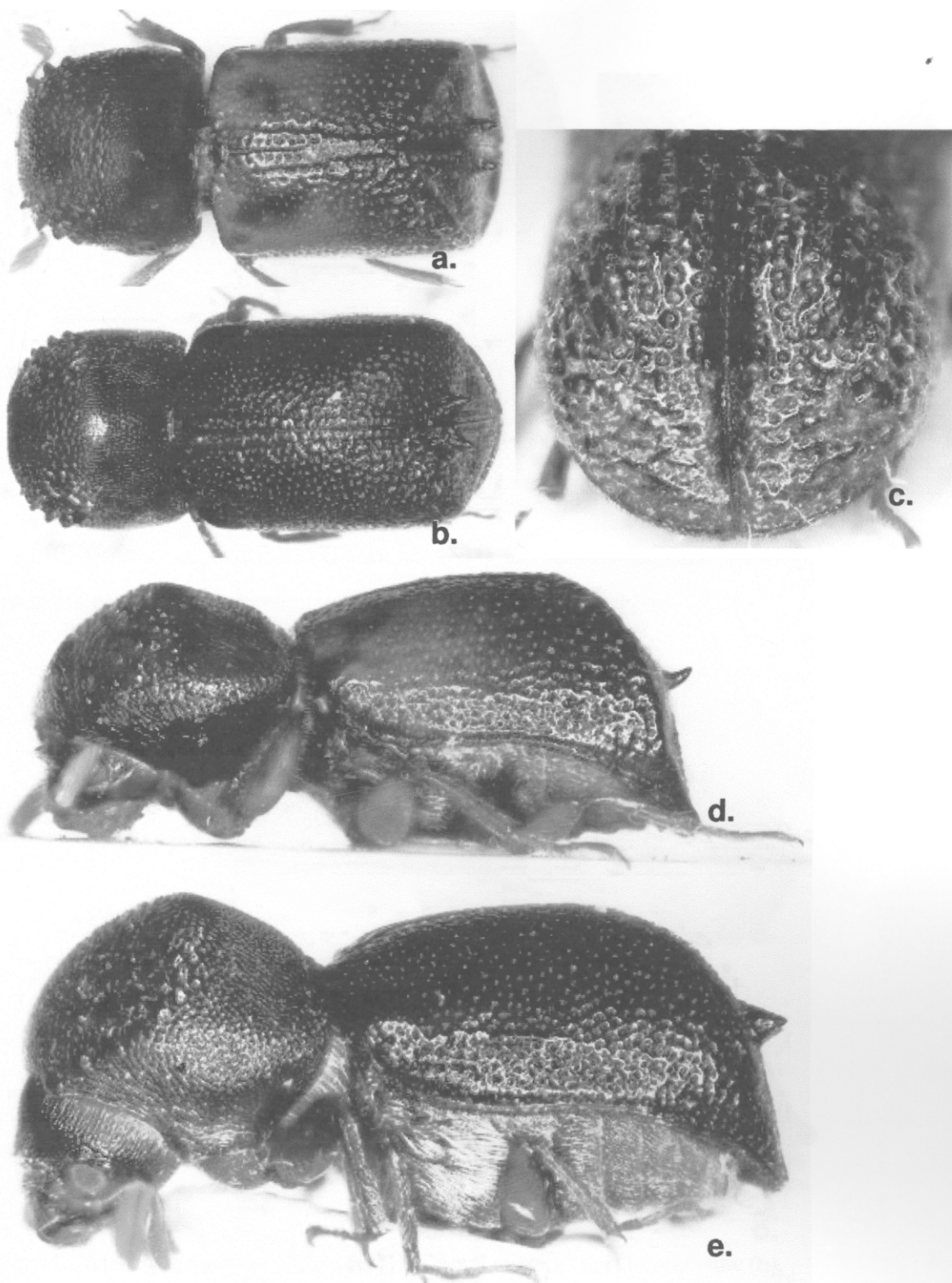


Fig.9. Dorsal view of *Sinoxylon anale* Lesne 1897 (a) and *Sinoxylon unidentatum* (Fabricius 1801) (b). Lateral view of *S. analis* (d) and *S. unidentatum* (e). Elytral declivity of *Sinoxylon crassum* Lesne 1897 (c).

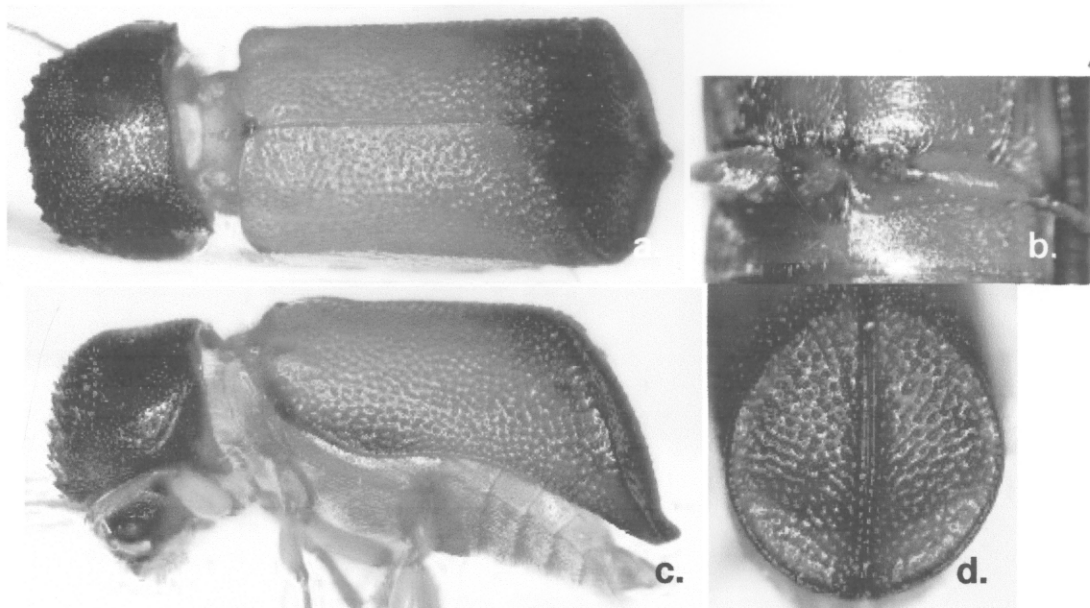


Fig.10. *Xylopsocus capucinus* (Fabricius 1781). Dorsal view (a), lateral view (c), intercoxal process of the first abdominal ventrite (b), and elytral declivity (d).



Fig.11. *Xylothrips flavipes* (Illiger 1801). Dorsal view (a) and lateral view (b).

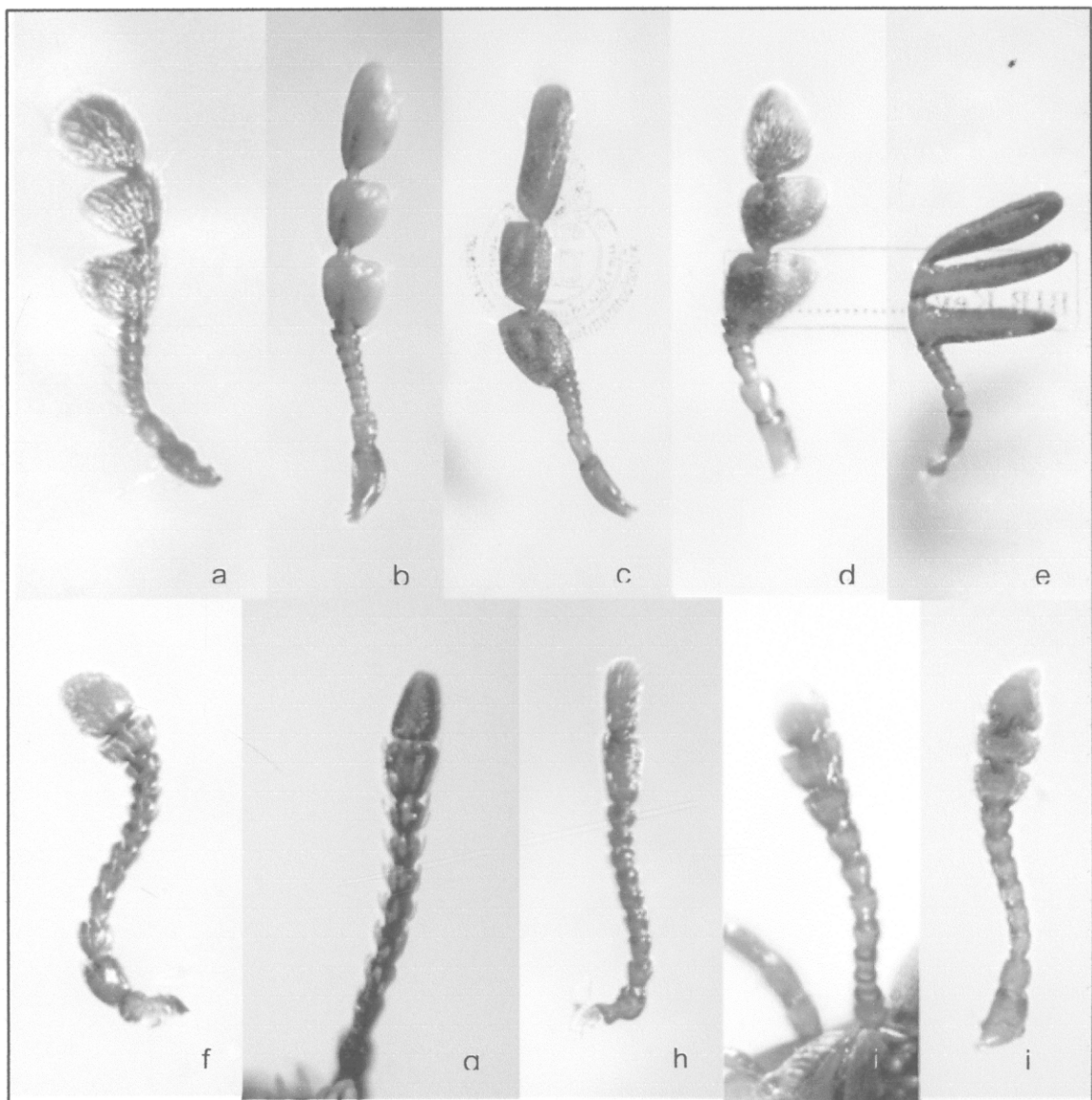


Fig.12. Bostrichid antennae. Upper row from left to right (a) *Dinoderus minutus* (Fabricius) (b) *Heterobostrycus aequalis* (Waterhouse) (c) *Xylothrips flavipes* (Illiger) (d) *Xylopsocus capucinus* (Fabricius) (e) *Sinoxylon anale* Lesne; lower row from left to right: (f) *Lyctus tomentosus* Reitter (g) *Minthea reticulata* Lesne (h) *Lyctoxylon dentatum* Pascoe (i) *Lyctoderma coomani* Lesne (j) *Cephalotoma tonkinea* Lesne.